

Technische Hogeschool Delft *J. M. M. M.*
Afd. der Weg- en Waterbouwkunde

DOMP - EN STAMPBEWEGING
VAN EEN SCHIP IN EEN NAUW
KANAAL ONDER INVLOED VAN
EEN TRANSLATIEGOLF

16 oktober 1967,

C. Kranenburg
Mariniersweg 245
Rotterdam

Inhoudsopgave.

1. Symbolen	blz.	3
2. Inleiding		4
3. Het bepalen van de coëfficiënten in de bewegingsvergelijkingen voor damp- en stampbeweging uit de op het schip werkende krachten.		8
4. Meetmethode		14
5. Lineaire theorie voor het bepalen van de coëfficiënten in damp- en stampvergelijking voor harmonische bewegingen.		16
5.1. Inleiding		
5.2. Energieverlies door uitstraling van golven		
5.3. Coëfficiënten van de dampvergelijking		
5.4. Coëfficiënten van de stampvergelijking		
6. Meetresultaten van de excitatieproeven.		67
7. Berekening van de coëfficiënten in de damp- en stampvergelijking uit metingen.		69
8. Grafieken voor gemeten en berekende grootheden.		75
9. Vergelijking tussen meting en theorie.		81

10.	Tit-harmonische scheepsbewegingen.	blz.	84
11.	Meting en berekening van het drompen en stampen van een model onder invloed van een translatiegolf.		91
12.	Conclusie		99
13.	Programma		100
14.	Literatuur overzicht.		106

1. Symbolen

- D = waterdiepte
- b_k = kanaalbreedte (het kanaal heeft een rechthoekig profiel)
- h = diepgang schip
- d = $D - h$
- b = halve breedte schip
- a = $\frac{1}{2} b_k - b$
- l = halve lengte van het (symmetrische) schip
- c = voortplantingsnelheid golf naast schip
- c_0 = " " " in kanaal
- ρ = dichtheid water
- ω = $\frac{2\pi}{T}$ = hoekfrequentie
- k = $\frac{2\pi}{\lambda} = \frac{\omega}{c}$ = golfgetal
- \hat{z} = dampamplitude
- $\hat{\theta}$ = stamp "
- \hat{w} = golf " (kanaal)
- $\eta(x,t)$ = golfhoogte naast het schip
- F = $4bl$ = oppervlak schip t.p.v. de waterlijn
- y_0 = $\frac{4}{3}bl^3$ = traagheidsmoment " " "
- m = massa van het schip
- y_m = massa traagheidsmoment van het schip
- a_d, b_d, c_d : coëfficiënten in de dampvergelijking
- a_s, b_s, c_s : " " " Stamp "
- x, y, z : coördinatenstelsel
- θ : stamphoek

De overige symbolen worden ter plaatse verklaard

2. Inleiding.

Dit verslag is een schakel in een serie onderzoekingen die tot doel hebben: het berekenen van de troskrachten van een in een schutsluis gemeerd schip onder invloed van een lange golf.

Bij het vullen of ledigen van een sluisloek wordt een translatie golf opgewekt. Op zijn weg door de loek ontmoet deze het daarin gemeerde schip; de vorm van de golf wordt beïnvloed door de aanwezigheid van het schip.

Het schip, dat in feite een lichaam met 6 vrijheidsgraden is, gaat onder invloed van de golf bewegen; de scheepsbewegingen beïnvloeden eveneens de vorm van de golf.

De bewegingen van het schip veroorzaken krachten in de trosen. Hangt een tros in een ruime kettinglijn, dan overheerst het gewicht van de tros bij de bepaling van de troskracht. Is daarentegen de tros strak gespannen dan overheersen de elastische eigenschappen ervan.

Het is duidelijk dat de drie elementen: water beweging, scheeps beweging en troskrachten elkaar voortdurend beïnvloeden. Om tot een oplossing te komen moeten gekoppelde differentiaal vergelijkingen voor water beweging en scheeps bewegingen opgesteld worden, waarbij in die voor de scheeps bewegingen de invloed van troskrachten opgenomen moet worden.

In dit verslag wordt aangesloten op [1], waarin een schip van vereenvoudigde vorm beschouwd wordt, geplaatst in het midden van een naar beide zijden oneindig lang kanaal. Voor een star bevestigd schip wordt aangetoond dat de water beweging numeriek berekend kan worden onder de volgende veronderstellingen:

1. stroomsnelheid en waterhoogte konstant in breedte richting.
2. hydrostatische drukverdeling
3. rechthoekig snelheidsprofiel
4. de viskeuze wrijving is te verwaarlozen
5. stroomsnelheid veel kleiner dan voortplantings-

snelheid.

b. de bodem heeft geen verhang.

De berekening van een geval, waarbij het schip een vrijheidsgraad had gaf al moeilijkheden omdat de coëfficiënten in de bewegingsvergelijking voor het schip lastig te bepalen zijn.

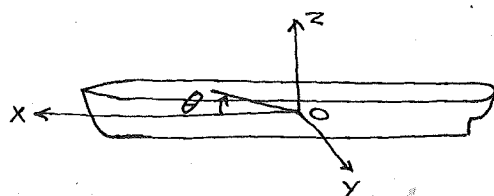
Om meer over deze coëfficiënten te weten te komen is het nu volgende onderzoek verricht. Het schip krijgt twee vrijheidsgraden, de overige omstandigheden zijn de zelfde als die in [1].

Dezelfde veronderstellingen worden aangenomen, behalve 2. omdat een niet-hydrostatische drukverdeling essentieel is bij de bepaling van de coëfficiënten in de bewegingsvergelijkingen.

De kanaalwanden zijn vertikaal.

Coördinatenstelsel, scheepsbewegingen.

Het onderstaande (vaste) coördinatenstelsel wordt aangehouden. De oorsprong bevindt zich in het zwaartepunt van het schip.



Zoals reeds gezegd heeft het vrij bewegende schip 6 vrijheidsgraden. Deze worden als volgt onderscheiden:

translatie	in	x-	richting	:	schrikken
"	"	y-	"	:	verzetten
"	"	z-	"	:	drompen
rotatie	om de	x-	as	:	rollen
"	"	y-	as	:	stampen
"	"	z-	"	:	giëren.

Van deze bewegingen zijn in dit geval de schrik-, dromp-, en stampbeweging de belangrijkste. In het hierna volgende worden beschouwd: drompen en stampen.

Het blijft dat voor deze twee bewegingen

het systeem : schip in nauw kanaal bij grote benadering lineair is, wanneer tenminste de uitwijkingen niet te groot zijn in verhouding tot o.a. de afstand scheepsbodem - kanaalbodem. Hierop wordt nader teruggekomen.

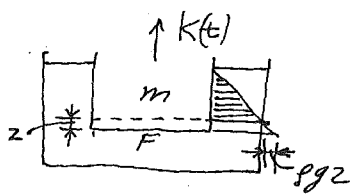
Een geheel vrij bewegend schip gedraagt zich in het algemeen niet lineair, b.v. bij het rollen kan de viskeuse wrijving (niet lineair) een relatief belangrijke rol spelen. Zie [6].

3. Het bepalen van de coëfficiënten in de bewegingsvergelijkingen uit de op het schip werkende krachten, voor damp- en stampbeweging.

Een overzichtelijke methode om de coëfficiënten te bepalen wordt verkregen door uit te gaan van harmonische (in de tijd sinusvormig verloopende) bewegingen en de coëfficiënten te bepalen, afhankelijk van de hoekfrequentie ω . Eventueel kan met het theorema van Fourier later een willekeurige beweging onderzocht worden.

In de theorie en bij de metingen wordt daarom uitgegaan van harmonische scheepsbewegingen.

Beschouwt men een bakvormig schip dat een drompbeweging uitvoert dan vindt men bij verwaarlozing van alle hydrodynamische effecten als bewegingsvergelijking:



$$m\ddot{z} = -\rho g F z + K(t)$$

$$m\ddot{z} + \rho g F z = K(t)$$

Is de beweging harmonisch, $z = \hat{z} \sin \omega t$, $\ddot{z} = -\omega^2 \hat{z} \sin \omega t$, dan vindt men hiermee als benodigde kracht om deze beweging uit te voeren:

$$K(t) = (\rho g F - m\omega^2) \hat{z} \sin \omega t$$

Als men deze kracht echter meet dan vindt men:

$$K(t) = a_1 \sin \omega t + b_1 \cos \omega t + a_2 \sin 2\omega t + b_2 \cos 2\omega t + \dots$$

waarbij blijkt dat de coëfficiënten van de hogere orde termen veel kleiner zijn dan die van de eerste orde (a_1 en b_1). Bij grote benadering is dus de differentiaalvergelijking voor de drompbeweging lineair, en kan de gemeten kracht voorgesteld worden door:

$$K(t) = a_1 \sin \omega t + b_1 \cos \omega t, \text{ waarin}$$

$$a_1 \neq (\rho g F - m\omega^2) \hat{z}$$

$$b_1 \neq 0$$

Men neemt de eerste term van $K(t)$ de in-fase component en de tweede de 90° uit-fase component van de kracht.

Een belangrijk gevolg van de gevonden lineariteit is dat bewegingen van het schip in stil water en bewegingen t.g.v. een willekeurige oppervlaktegolf mogen worden gesuperponeerd.

Beschouw de energie die in een periode door het schip wordt afgegeven:

$$dE = K dz = K \dot{z} dt = (a_1 \sin \omega t + b_1 \cos \omega t) \dot{z} \omega \cos \omega t dt$$

in een periode: $\frac{2\pi}{\omega}$

$$E = \hat{z} \omega \int_0^{\frac{2\pi}{\omega}} (a_1 \sin \omega t \cos \omega t + b_1 \cos^2 \omega t) dt$$

$$= \hat{z} (0 + \pi b_1)$$

$$E = \pi \hat{z} b_1, \quad \text{alleen de uit-fase component van}$$

de kracht geeft een bijdrage; deze wijst dus op een demping in het systeem. De differentiaalvergelijking voor de dompbeweging bleek lineair te zijn, dus ook deze term is lineair en voor te stellen door: $b_1 \hat{z}$. Later zal worden aangetoond dat deze demping geheel verklaard kan worden als energieverlies door uitstraling van golven.

De differentiaalvergelijking voor het dompen

wordt nu:

$$a_d \ddot{z} + b_d \dot{z} + c_d z = K(t) \quad (1)$$

waarin:

a_d = virtuele massa = massa schip + toegevoegde massa

b_d = dempingscoëfficiënt

c_d = hydrostatische coëfficiënt $\neq \rho g F$

Op het dorpemde schip werken de volgende krachten:

K_u = uitwendige kracht veroorzaakt door de opgelegde beweging.

K_s = hydrostatische kracht. De in-fase componenten van de waterstandverandering zijn in het lineaire geval evenredig met de scheepsverplaatsing, dus $(K_s)_{\text{in-fase comp.}} \propto z$.

De uit-fase componenten van de kracht levert, zoals we zagen de demping en is dus evenredig met \dot{z} .

K_v = versnellingskracht. De in-fase componenten van de versnelling van de waterdeeltjes zijn \propto versnelling schip, dus ook

$(K_v)_{\text{in-fase comp.}} \propto \ddot{z}$. Evenals bij K_s geldt:

$(K_v)_{\text{uit-fase comp.}} \propto \dot{z}$.

Met behulp van deze krachten kunnen we eveneens de bewegingsvergelijking voor het

clompen opschrijven (harmonische beweging):

$$m\ddot{z} = K_u + K_s \left\{ \begin{array}{l} \text{in-fase comp.} \\ \text{uit-fase comp.} \end{array} \right\} + K_v \left\{ \begin{array}{l} \text{in-fase comp.} \\ \text{uit-fase comp.} \end{array} \right\} \quad (2)$$

Voor berekeningen bij een bepaalde ω komen K_s en K_v steeds voor in de berekening. Het is nu de gewoonte deze krachten in het linker lid van de d.v. onder te brengen, zodanig dat de coëfficiënten van \ddot{z} , \dot{z} en z konstant in de tijd zijn; zie bovenstaande evenredigheden:

$$\left[m\ddot{z} - (K_v)_{\text{in-fase comp.}} \right] + \left[-(K_v + K_s)_{\text{uit-fase comp.}} \right] + \left[-(K_s)_{\text{in-fase comp.}} \right] = K_u \quad (3)$$

Vergelijken we (1) met (3) dan geldt dus:

$a_d = m - \frac{(K_v)_{\text{in-fase comp.}}}{\dot{z}}$	virtuele massa
$b_d = - \frac{(K_v + K_s)_{\text{uit-fase comp.}}}{\dot{z}}$	dempingscoëfficiënt
$c_d = - \frac{(K_s)_{\text{in-fase comp.}}}{z}$	hydrostatische wiff.

(4)

De krachten K_v en K_s zijn zowel gemeten als berekend, zodat de coëfficiënten a_d, b_d en c_d empirisch en theoretisch bepaald kunnen worden.

Bij de metingen aan een scheepsmodel zijn bepaald: K_u m.b.v. de rekstrooktechniek K_s uit gemeten golfhoogten en -fasen.

Omdat de waarde voor $m\ddot{z}$ volgt uit de ingeselde frequentie kan met (2) K_v bepaald worden en daarmee met (4) de gezochte coëfficiënten. In het algemeen zullen de coëfficiënten afhankelijk zijn van de ingeselde hoekfrequentie.

Tot nu toe is steeds gesproken over de dompbeweging; een analoge redenering geldt voor de stampbeweging waarbij echter in plaats van krachten en dompuitwijking z nu momenten en stamphoek θ gelezen moeten worden.

Formules:

bewegingverg.: $a_s \ddot{\theta} + b_s \dot{\theta} + c_s \theta = M(t), (1')$

$$M \ddot{\theta} = M_u + M_s \left\{ \begin{array}{l} \text{in-fase comp.} \\ \text{uit-fase comp.} \end{array} \right\} + M_v \left\{ \begin{array}{l} \text{in-fase comp.} \\ \text{uit-fase comp.} \end{array} \right\}, (2')$$

$a_s = \gamma_{Im} - \frac{(M_v)_{in-fase comp.}}{\ddot{\theta}}$	virtueel massa traagheidsmoment
$b_s = - \frac{(M_v + M_s)_{uit-fase comp.}}{\dot{\theta}}$	dempings coëfficiënt
$c_s = - \frac{(M_s)_{in-fase comp.}}{\theta}$	hydrostatische coëfficiënt

(4')

4. Meetmethode

Er zijn twee in wezen verschillende methoden om de coëfficiënten in de bewegingsvergelijkingen, afhankelijk van de hoekfrequentie, te bepalen:

1. Impulsmethode. Op het model wordt een in de tijd willekeurig variërende kracht uitgeoefend. Deze kracht en de erdoor veroorzaakte bewegingen van het schip worden geregistreerd. Met een Fourier-analyse worden de coëfficiënten, afhankelijk van de hoekfrequentie, in één proef bepaald. Deze methode is alleen te gebruiken als het systeem lineair is. Zie [5].

2. Excitatie methode. Aan het schip wordt een harmonische beweging met een bepaalde hoekfrequentie opgelegd. Het schip bevindt

zich in stil water. Eventuele golfkrachten kunnen later gesuperponeerd worden.

De meetapparatuur is zodanig ingericht dat een aantal (n) termen van de Fourierreeksen voor de uitwendige kracht K_u (dompen) of moment M_u (stampen) gemeten kunnen worden:

$$K_u = \sum_{k=1}^n (a_k \sin k\omega t + b_k \cos k\omega t)$$

Zie [2] en [3].

Van deze tweede methode is hier gebruik gemaakt. Omdat voor de twee beschouwde bewegingen het systeem lineair bleek te zijn is in dit geval alleen de eerste harmonische van belang:

$$K_u = a_1 \sin \omega t + b_1 \cos \omega t.$$

De metingen werden verricht aan een TODD-60 model, schaal 1:54, dat niet symmetrisch is ten opzichte van het 402-vlak. Zij vonden plaats in het Scheepsbouwkundig Laboratorium te Delft.

Voor stamp- en dompbeweging werden bij verschillende amplituden, hoeknelheden en kanaal breedten de optredende momenten resp. krachten bepaald. Ook werden naast het schip en in het kanaal de golfhoogten en -fases gemeten. Zie hoofdstuk Meetresultaten (blz 67).

5. Lineaire theorie voor het bepalen van de coëfficiënten in damp- en stampvergelijking voor harmonische bewegingen.

5.1. Inleiding.

Evenals dat voor de berekening van scheepsbewegingen in open zee het geval is, zou men kunnen trachten met de potentiaaltheorie het probleem van de water- en scheepsbewegingen op te lossen. Zie [6], [8], [9]

De differentiaalvergelijking voor de snelheidspotentiaal $\phi(x, y, z, t)$ is:

$$\Delta^2 \phi = 0, \text{ met als gelineari-}$$

seerde randvoorwaarden:

$$\phi_{tt}(x, 0, z, t) + g \phi_y = 0$$

$$(\phi_n)_{\text{natte scheepsoopp.}} = v_n(x, y, z, t) = \text{normaal-}$$

snelheid scheepshuid

$$(\phi_n)_{\text{wanden}} = 0$$

Voor berekeningen in open zee levert deze theorie echter al moeilijkheden op. Deze zullen voor het geval van een kanaal met verticale wanden nog groter zijn, zo een oplossing al mogelijk is.

Daarom is hier een eenvoudiger weg behandeld, waarvoor de aanname van blz. 5

gedaan zijn. (punt 2. uitgezonderd).

De berekening verloopt nu als volgt:

Schrijf de lange golfvergelijking in x -richting op (naast en onder het schip) met als randvoorwaarden:

- a. bij steven aansluiten aan golf in kanaal
- b. bij drompen symmetrie-, bij stampen antisymmetrievoorwaarden.

Zoek een oplossing, die harmonisch in de tijd is.

Beschouw bij de berekening het energieverlies dat ontstaat door het uitstralen van golven.

De viskeuze wrijving wordt verwaarloosd.

Hiermee kunnen berekend worden: de golfhoogten en fasen langs het schip en in het kanaal. De hydrostatische kracht K_s (of moment M_s) is nu te berekenen.

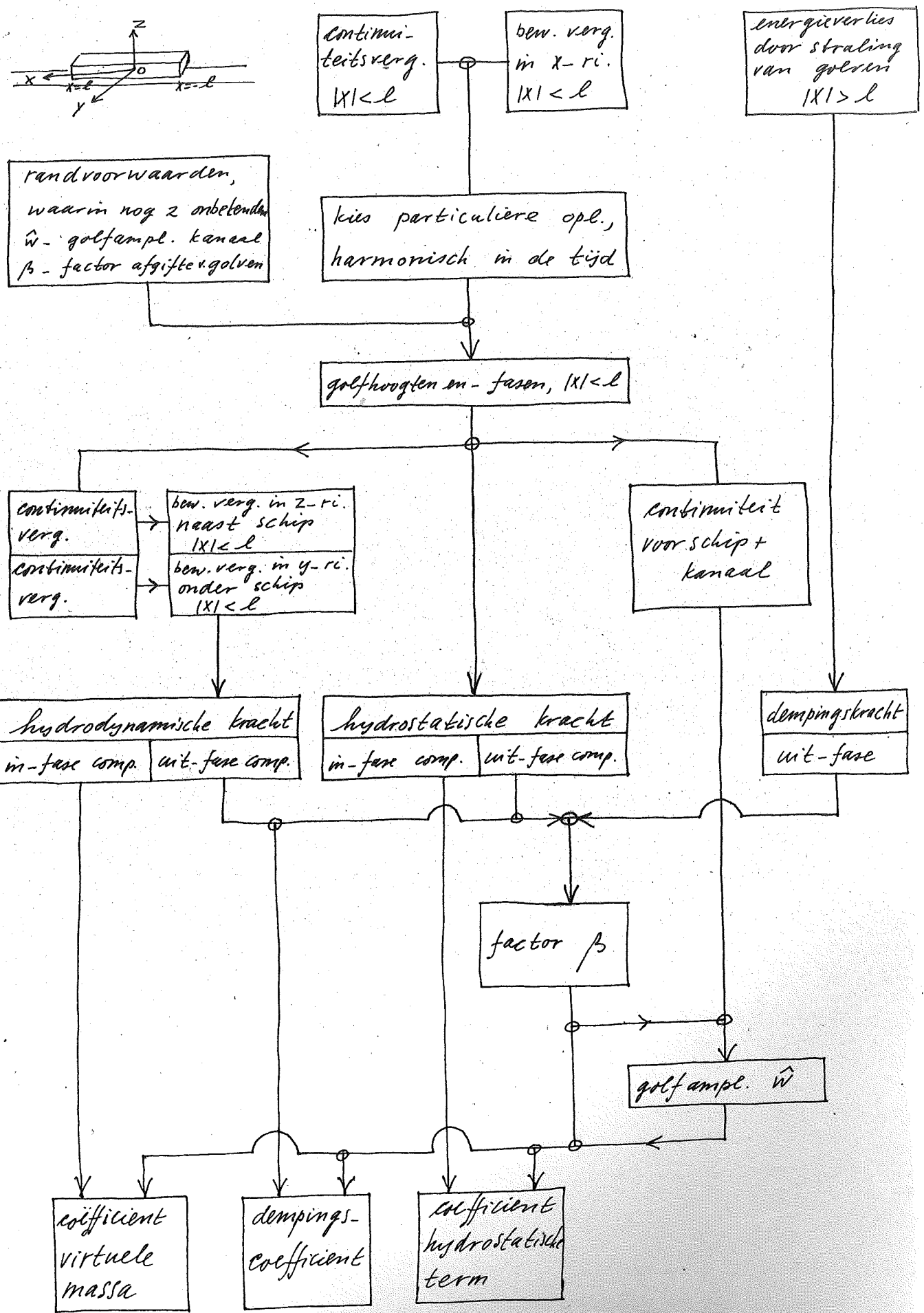
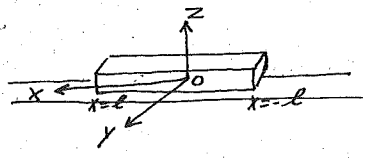
Bereken met continuïteits- en bewegingsvergelijking de dynamische drakken uit de versnellingen van de waterdeeltjes naast en onder het schip.

Integratie over de scheepsbodem levert K_v (M_v). Met (4) zijn de coëfficiënten te berekenen.

De berekening is uitgevoerd voor een bakvormig schip, symmetrisch om het YOZ -vlak.

Eerst wordt nu het energieverlies beschouwd, daarna worden dromp- en stampbeweging behandeld.

Schema theorie dampen - harmonische beweging



stampen analoog aan dampen

5.2. Energieverlies door uitstraling van golven

In de inleiding (blz 10) werd aangetoond dat het energieverlies van het bewegende systeem veroorzaakt wordt door een 90° -uit fase kracht.

Wanneer we, omgekeerd, het energieverlies door de uitstraling van golven kunnen berekenen, dan kan daaruit een dempingskracht voor het dempende schip of een dempend moment voor het stampend schip worden afgeleid.

Uit de veronderstelde lineariteit volgt weer dat voor wat de golven betreft gerekend kan worden met de 1^oorde theorie, dus met sinusvormige golven.

a. verband tussen het energieverlies per tijds eenheid (de energie flux) $\frac{dE}{dt}$ en de dempingskracht K . (dampen)

afgelegde weg van het voorwerp = $s = s(t)$
snelheid " " " " = $v = v(t)$

energieverlies in een tijdje Δt :

$$\Delta E = \int_s^{s+\Delta s} k \cdot ds = k(t+\theta, \Delta t) \cdot \Delta s. \quad 0 \leq \theta \leq 1$$

volgens definitie is: $\Delta s = v(t+\theta, \Delta t) \cdot \Delta t$

dus
$$\Delta E = k(t+\theta, \Delta t) v(t+\theta, \Delta t) \Delta t$$

$$\frac{\Delta E}{\Delta t} = k(t+\theta, \Delta t) v(t+\theta, \Delta t)$$

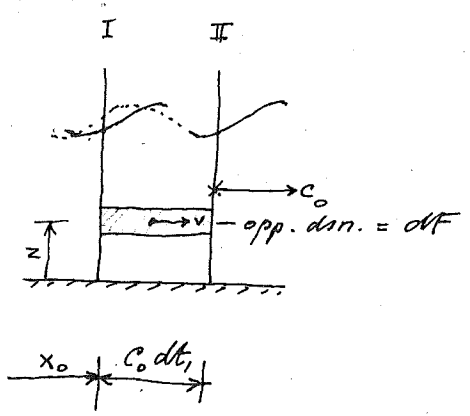
in limiet: $\frac{dE}{dt} = k v$

$$k = \frac{1}{v} \frac{dE}{dt} \quad (5)$$

Voor het stampende schip wordt op analoge wijze voor het dempend moment M gevonden:

$$M = \frac{1}{\frac{d\theta}{dt}} \frac{dE}{dt} \quad (5')$$

b. verband tussen energieflux $\frac{dE}{dt}$ en de golfhoogte \tilde{w} in het kanaal



c_0 = voortplantingsnelh. golf
 $v = v(x_0, z, t)$ = snelheid in x-richting waterdeeltjes

Beschouw 2 doorsneden I en II, dm. I is vast, dm. II beweegt met snelheid c_0 met de golven mee. Ten tijde $t=0$ vallen I en II samen.

In dm. II zijn de snelheden en golfhoogte konstant in de tijd, dus $\left[\frac{dE}{dt}\right]_{dm. II} = 0$

De verandering van de energie van het geselecteerde elementje moet dus door doorsnede I getransporteerd zijn.

Pas formule (5) toe op dit elementje

$$\frac{dE}{dt} = kv = \frac{d(mv)}{dt} v = \left(\frac{\partial(mv)}{\partial t} + \frac{\partial(mv)}{\partial x} \frac{dx}{dt} \right) v$$

$$m = \rho c_0 dt, dF$$

$$\frac{\partial(mv)}{\partial t} = \rho c_0 dF v + \rho c_0 dt, dF \frac{\partial v}{\partial t}$$

$$\frac{\partial(mv)}{\partial x} = \rho c_0 dt, dF \frac{\partial v}{\partial x}$$

dus $\frac{dE}{dt} = \rho_0 \frac{dF}{dt} v^2 + \rho_0 \frac{dF}{dt} v \frac{\partial v}{\partial t} + \rho_0 \frac{dF}{dt} \frac{\partial v}{\partial x} v^2$.
 de 2^o en 3^o term zijn een orde kleiner dan
 de eerste, dus

$$\frac{dE}{dt} = \rho_0 v^2 \frac{dF}{dt}$$

geïntegreerd over het gehele oppervlak:

$$\boxed{\frac{dE}{dt} = - \iint_F \rho_0 v^2 \frac{dF}{dt}} \quad (6)$$

Het - teken dient om aan te geven dat het een verlies voor het schip betreft.

In het gebruik van formule (5) zit de aanname dat de stroming rotatievrij is.

Een algemenere afleiding op basis van de potentiaaltheorie van (6) is te vinden in: Stoker - Waterwaves. [8]

Uitwerking van (6) voor sinusvormige golven:

$$\eta = \hat{w} \sin(kx - \omega t)$$

$$\phi = \frac{\hat{w}g}{\omega} \frac{\cosh kz}{\sinh kD} \cos(kx - \omega t)$$

$$-\phi_x = v = - \frac{\hat{w} g k}{\omega} \frac{\cosh kz}{\cosh kD} \sin(kx - \omega t)$$

dit in (6):

$$\frac{dE}{dt} = - \rho c_0 \frac{\hat{w}^2 g^2 k^2}{\cosh^2 kD \cdot \omega^2} \sin^2(kx - \omega t) \cdot b_k \int_0^D \cosh^2 kz \, dz$$

$$\int_0^D \cosh^2 kz \, dz = \frac{D}{2} + \frac{1}{4k} \sinh 2kD$$

$$\frac{dE}{dt} = - \frac{\rho g^2 \hat{w}^2 b_k}{c_0} \left(\frac{D}{\cosh^2 kD} + \frac{c_0^2}{2g} \right) \sin^2(kx - \omega t)$$

$$c_0^2 = \frac{g}{k} \tanh kD, \quad k = \frac{2\pi}{L} = \frac{\omega}{c_0}$$

$$\frac{dE}{dt} = - \frac{1}{2} \frac{\rho g^2 \hat{w}^2}{c_0} b_k D \left[1 + \left(1 - \frac{D\omega^2}{g} \right) \frac{c_0^2}{gD} \right] \sin^2(kx - \omega t)$$

In het gemeten gebied is bij voldoende benadering: $c_0^2 = gD$

$$\frac{dE}{dt} = - \rho g c_0 b_k \hat{w}^2 \left(1 - \frac{1}{2} \frac{D}{g} \omega^2 \right) \sin^2(kx - \omega t) \quad (7)$$

c. dempende kracht k voor het dempende schip.

De trillingstijden van schip en afgegeven golf.

Zijn gelijk: $\omega_{\text{schip}} = \omega_{\text{golf}} = \omega$.

De afgegeven golf heeft een nog onbekende fasehoek φ met de scheepsbeweging:

$$\text{schip: } z = \hat{z} \sin \omega t, \quad \dot{z} = \hat{z} \omega \cos \omega t$$

$$(7): \quad \frac{dE}{dt} = -2 \rho g c_0 b_k \bar{w}^2 \left(1 - \frac{1}{2} \frac{D}{g} \omega^2\right) \sin^2(\omega t - \varphi)$$

Nu formule (5):

$$K = - \frac{2 \rho g c_0 b_k \bar{w}^2 \left(1 - \frac{1}{2} \frac{D}{g} \omega^2\right) \sin^2(\omega t - \varphi)}{\hat{z} \omega \omega \omega t}$$

Er treedt straling op naar 2 zijden, vandaar de 2 in de formule voor $\frac{dE}{dt}$.

In de inleiding werd aangetoond dat de dempingkracht een uit-fase kracht moet zijn, dus $\varphi = \frac{\pi}{2}$; bovendien is slechts dan de gevonden k harmonisch.

$$K = - \frac{2 \rho g c_0 b_k \bar{w}^2 \left(1 - \frac{1}{2} \frac{D}{g} \omega^2\right) \cos \omega t}{\hat{z} \omega} \quad (8)$$

\bar{w} is hierin nog onbekend.

d. dempend moment voor het stampende schip.

De berekening verloopt op dezelfde wijze als in c.

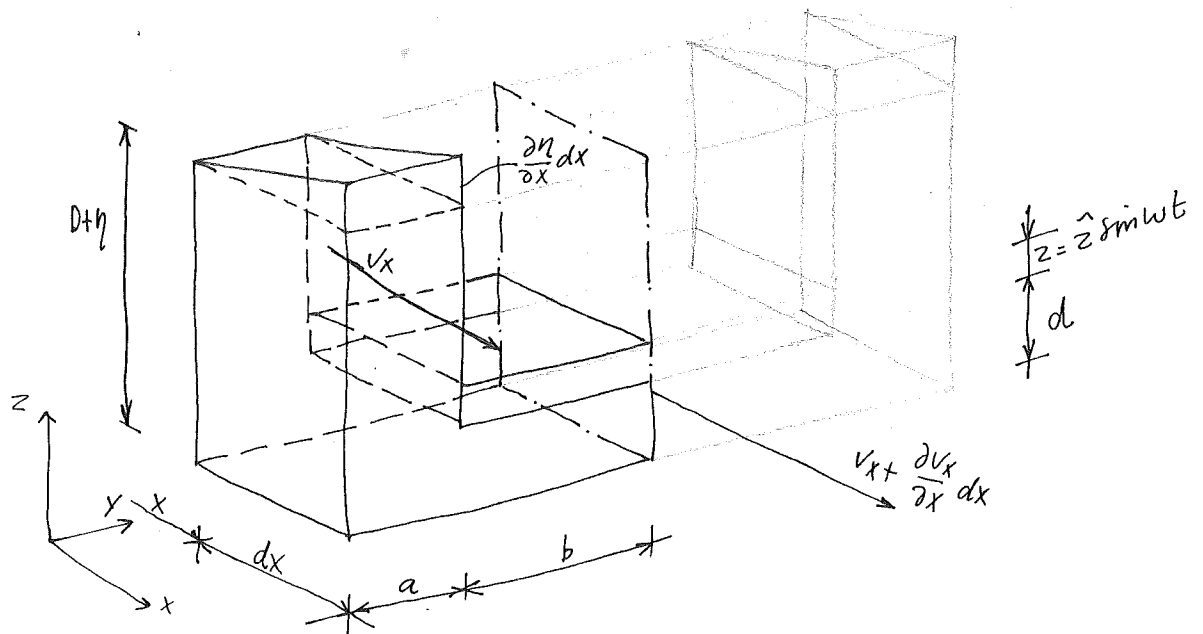
$$\theta = \hat{\theta} \sin \omega t, \quad \dot{\theta} = \hat{\theta} \omega \cos \omega t$$

$$M = - \frac{2 \rho g c_0 b_k \hat{w}^2}{\hat{\theta} \omega} \left(1 - \frac{1}{2} \frac{D}{g} \omega^2 \right) \cos \omega t \quad (8')$$

5.3. Coëfficiënten van de drompvergelijking.
 Harmonische beweging: $z = \hat{z} \sin \omega t$.

1. Continuïteitsvergelijking.

Beschouw een moot van het kanaal, in de as waarvan het schip ligt.



$$\left(v_x + \frac{\partial v_x}{\partial x} dx \right) \left[(D + \eta + \frac{\partial \eta}{\partial x} dx) a + (d + z) b \right] dt - v_x \left[(D + \eta) a + (d + z) b \right] dt + \frac{\partial \eta}{\partial t} dt a dx + \dot{z} \cdot b dx dt = 0$$

Voor kleine uitwijkingen mogen de volgende lineariseringen uitgewaerd worden:

$$d + z \approx d \quad z \ll d$$

$$D + \eta \approx D \quad \eta \ll D$$

De continuïteitsvergelijking wordt hiermee:

$$v_x \frac{\partial \eta}{\partial x} + \left(D + d \frac{b}{a}\right) \frac{\partial v_x}{\partial x} + \frac{\partial \eta}{\partial t} + \frac{b}{a} \dot{z} = 0 \quad (9)$$

2. Bewegingsvergelijking.

Omdat het hier de slompbeweging betreft worden niet-hydrostatische drrukken konstant verondersteld in x-richting. Zij kunnen dus in de bewegingsvergelijking buiten beschouwing blijven.

$$X \quad k dt = \frac{\partial(mv_x)}{\partial t} dt + \frac{\partial(mv_x)}{\partial x} v_x dt, \text{ in } x\text{-richting.}$$

$$k = -fg \left[(D+\eta)a + (d+z)b \right] \frac{\partial \eta}{\partial x} dx$$

$$mv_x = f \left[(D+\eta)a + (d+z)b \right] dx \cdot v_x$$

$$\frac{\partial(mv_x)}{\partial t} = f \left[\left(a \frac{\partial \eta}{\partial t} + bz \right) dx v_x + \left\{ (D+\eta)a + (d+z)b \right\} dx \frac{\partial v_x}{\partial t} \right]$$

$$\frac{\partial(mv_x)}{\partial x} = f \left[a \frac{\partial \eta}{\partial x} dx v_x + \left\{ (D+\eta)a + (d+z)b \right\} dx \frac{\partial v_x}{\partial x} \right]$$

Weer linearizeren: $D+\eta \approx D$, $d+z \approx d$

$$fg \left(D + d \frac{b}{a} \right) \frac{\partial \eta}{\partial x} + \left(D + d \frac{b}{a} \right) \frac{\partial v_x}{\partial t} + \left[v_x \frac{\partial \eta}{\partial x} + \left(D + d \frac{b}{a} \right) \frac{\partial v_x}{\partial x} + \frac{\partial \eta}{\partial t} + \frac{b}{a} \dot{z} \right] v_x = 0$$

uit (9) volgt dat de vorm tussen [] gelijk nul is.

bewegingsvergelijking:

$$\boxed{g \frac{\partial \eta}{\partial x} + \frac{\partial v_x}{\partial t} = 0} \quad (10)$$

$$(9): v_x \frac{\partial \eta}{\partial x} + (D + d \frac{b}{a}) \frac{\partial v_x}{\partial x} + \frac{\partial \eta}{\partial t} + \frac{b}{a} \dot{z} = 0$$

$$(10): c \frac{\partial \eta}{\partial x} + \frac{D + d \frac{b}{a}}{c} \frac{\partial v_x}{\partial t} = 0, \quad c^2 = g(D + d \frac{b}{a})$$

Voor die gevallen, waarin $v_x \ll c$ is de term $v_x \frac{\partial \eta}{\partial x}$ in (9) te verwaarlozen t.o.v. term $c \frac{\partial \eta}{\partial x}$ in (10). c is de voortplantingsnelheid van een golf naast het schip.

De twee vergelijkingen worden dus:

$$\boxed{D_1 \frac{\partial v_x}{\partial x} + \frac{\partial \eta}{\partial t} + \frac{b}{a} \dot{z} = 0} \quad (9)$$

$$\frac{\partial \eta}{\partial x} + \frac{1}{g} \frac{\partial v_x}{\partial t} = 0 \quad (10)$$

$$D_1 = D + d \frac{b}{a}$$

$$c^2 = g D_1$$

In het lineaire systeem zijn de krachten harmonisch dus ook de waterbewegingen zullen harmonisch zijn. Zoek daarom een oplossing van de vorm:

$$v_x = -v(x) \cos(\omega t - \varphi(x))$$

$$\eta = -\eta(x) \sin(\omega t - \kappa(x))$$

Hierin zijn $v(x)$, $\eta_1(x)$, $\varphi(x)$ en $k(x)$ nog onbekend.

De beweging is voorgeschreven:

$$z = \hat{z} \sin \omega t, \quad \dot{z} = \hat{z} \omega \cos \omega t.$$

Deze oplossingen invullen in (9) en (10) levert:

$$\begin{aligned} & -D_1 \frac{d}{dx}(v \cos \varphi) \cos \omega t - D_1 \frac{d}{dx}(v \sin \varphi) \sin \omega t - \\ & - \eta_1 \cos k \omega \cos \omega t - \eta_1 \sin k \omega \sin \omega t + \frac{b}{a} \hat{z} \omega \cos \omega t = 0 \\ & - \frac{d}{dx}(\eta_1 \cos k) \sin \omega t + \frac{d}{dx}(\eta_1 \sin k) \cos \omega t + \\ & + \frac{1}{g} v \cos \varphi \omega \sin \omega t - \frac{1}{g} v \sin \varphi \omega \cos \omega t = 0 \end{aligned}$$

Deze gelijkheden moeten op elk tijdstip gelden dus de coëfficiënten van $\sin \omega t$ en $\cos \omega t$ moeten gelijk nul zijn:

$$\left\{ \begin{aligned} & -D_1 \frac{d}{dx}(v \cos \varphi) - \omega \eta_1 \cos k + \frac{b}{a} \hat{z} \omega = 0 \\ & -D_1 \frac{d}{dx}(v \sin \varphi) - \omega \eta_1 \sin k = 0 \\ & \frac{d}{dx}(\eta_1 \sin k) - \frac{\omega}{g} v \sin \varphi = 0 \\ & - \frac{d}{dx}(\eta_1 \cos k) + \frac{\omega}{g} v \cos \varphi = 0 \end{aligned} \right. \quad (11)$$

Dit zijn vier gekoppelde vergelijkingen met 4 veranderlijken, n.l.: $v \cos \varphi$, $v \sin \varphi$, $\eta_1 \sin k$ en $\eta_1 \cos k$.

Er zijn dus ook vier randvoorwaarden nodig.

3. Randvoorwaarden

Er volgen 2 randvoorwaarden uit symmetrie:

$$1^{\circ} \text{ en } 2^{\circ}. \quad \eta(0) = 0$$

$$\eta_1'(0) = 0$$

$$\kappa'(0) = 0$$

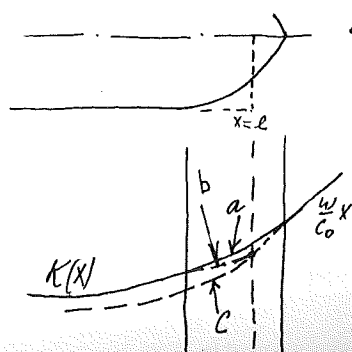
$$\varphi'(0) = 0$$

} Uit de differentiaalvergelijkingen blijkt dat twee van deze voorwaarden de andere twee insluiten

3°. Omdat we het systeem lineair verondersteld hebben kunnen we de amplitude van de afgegeven golf in het kanaal (\bar{w}) evenredig stellen met de golfhoogte naast het schip t.p.v. de steven:

$$\eta_1(l) = \beta \bar{w}.$$

4°. Bij het schip met scherpe stevens zal de golf fase $\kappa(x)$ zonder knikken overgaan in de golf fase $\frac{\omega}{c_0} x$ van de lopende golf in het kanaal (lijn a). Bij het bakprofiel, dat een schematisatie hiervan is zal deze overgang in het algemeen met een knik verlopen (lijn b). Als nu de kromming van $\kappa(x)$ t.p.v. de steven niet te sterk is kunnen we deze knik verwaarlozen (lijn c)



De kromming is klein voor kleine w , zoals uit de formules blijkt. Het hierna volgende geldt dus voor kleine w 's.

We krijgen dus als vierde randvoorwaarde:

$$K'(l) = \frac{\omega}{c_0}$$

Energieverliezen door zogstroming zijn buiten beschouwing gelaten, zodat hoewel gerekend wordt aan een bakprofiel, toch aan een schip met scherpe stevens wordt gedacht.

4. Oplossing van de vergelijkingen en aanpassing aan de randvoorwaarden.

de tweede en derde vergelijking van (11) leveren:

$$\frac{d^2}{dx^2} (V \sin \varphi) + \frac{\omega^2}{g D_1} (V \sin \varphi) = 0 \quad g D_1 = c^2$$

$$V \sin \varphi = A_1 \sin \frac{\omega}{c} x + A_2 \cos \frac{\omega}{c} x$$

$$V(0) = 0 \Rightarrow A_2 = 0$$

$$V \sin \varphi = A_1 \sin \frac{\omega}{c} x \quad (12)$$

de eerste en vierde vergelijking leveren:

$$\frac{d^2}{dx^2} (V \cos \varphi) + \frac{\omega^2}{g D_1} (V \cos \varphi) = 0$$

$$V \cos \varphi = B_1 \sin \frac{\omega}{c} x + B_2 \cos \frac{\omega}{c} x$$

$$V(0) = 0 \Rightarrow B_2 = 0$$

$$V \cos \varphi = B_1 \sin \frac{\omega}{c} x \quad (13)$$

uit (12) en (13) blijkt:

$$\operatorname{tg} \varphi = \frac{A_1}{B_1} = \text{konstant}$$

$$v(x) = A' \sin \frac{\omega}{c} x$$

(12) en (13) in eerste twee vergelijkingen van (11):

$$-D_1 A_1 \frac{\omega}{c} \cos \frac{\omega}{c} x = \omega \eta_1 \sin k$$

$$-D_1 B_1 \frac{\omega}{c} \cos \frac{\omega}{c} x = \omega \eta_1 \cos k - \frac{b}{a} \omega \hat{z}$$

$$\eta_1 \sin k = -\frac{D_1 A_1}{c} \cos \frac{\omega}{c} x$$

$$\eta_1 \cos k = \frac{b}{a} \hat{z} - \frac{D_1 B_1}{c} \cos \frac{\omega}{c} x$$

Met deze twee formules:

$$\eta_1^2 = \left(\frac{b}{a} \hat{z}\right)^2 \left(1 + 2B \cos \frac{\omega}{c} x + (A^2 + B^2) \cos^2 \frac{\omega}{c} x\right) \quad (14)$$

$$\operatorname{tg} k = \frac{A \cos \frac{\omega}{c} x}{1 + B \cos \frac{\omega}{c} x} \quad (15)$$

$$A = -\frac{D_1 A_1}{c \frac{b}{a} \hat{z}}$$

$$B = -\frac{D_1 B_1}{c \frac{b}{a} \hat{z}}$$

randvoorwaarde 4:

$$(15): \quad K(x) = \operatorname{arctg} \frac{A \cos \frac{\omega}{c} x}{1 + B \cos \frac{\omega}{c} x}$$

$$\frac{dK}{dx} = \frac{-A \frac{\omega}{c} \sin \frac{\omega}{c} x (1 + B \cos \frac{\omega}{c} x) + AB \frac{\omega}{c} \cos \frac{\omega}{c} x \sin \frac{\omega}{c} x}{(1 + B \cos \frac{\omega}{c} x)^2}$$

$$1 + \frac{A^2 \cos^2 \frac{\omega}{c} x}{(1 + B \cos \frac{\omega}{c} x)^2}$$

$$\frac{dk}{dx} = \frac{-A \frac{\omega}{c} \sin \frac{\omega}{c} x}{1 + 2B \cos \frac{\omega}{c} x + (A^2 + B^2) \cos^2 \frac{\omega}{c} x}$$

$$\left[\frac{dk}{dx} \right]_{x=l} = \frac{\omega}{c_0} = \frac{-A \frac{\omega}{c} \sin \frac{\omega}{c} l}{1 + 2B \cos \frac{\omega}{c} l + (A^2 + B^2) \cos^2 \frac{\omega}{c} l}$$

of:

$$1 + 2B \cos \frac{\omega}{c} l + (A^2 + B^2) \cos^2 \frac{\omega}{c} l + A \frac{c_0}{c} \sin \frac{\omega}{c} l = 0 \quad (16)$$

randvoorwaarde 3:

$$(14): 1 + 2B \cos \frac{\omega}{c} l + (A^2 + B^2) \cos^2 \frac{\omega}{c} l = \left(\beta \frac{\hat{w}}{\frac{b}{a} \hat{z}} \right)^2$$

Uit deze vergelijking en (16) zijn A en B op te lossen

beide vergelijkingen aftrekken:

$$A = - \frac{c}{c_0} \frac{1}{\sin \frac{\omega}{c} l} \beta \left(\frac{\hat{w}}{\frac{b}{a} \hat{z}} \right)^2$$

$$(16): B = - \frac{1}{\cos \frac{\omega}{c} l} \pm \sqrt{-A^2 - A \frac{c_0}{c} \frac{\sin \frac{\omega}{c} l}{\cos^2 \frac{\omega}{c} l}}$$

A invullen:

$$B = \frac{1}{\cos \frac{\omega}{c} l} \left[-1 \pm \beta \frac{\hat{w}}{\frac{b}{a} \hat{z}} \sqrt{1 - \left(\frac{c}{c_0} \frac{\hat{w}}{\frac{b}{a} \hat{z}} \frac{\beta}{\cos \frac{\omega}{c} l} \right)^2} \right]$$

Voor + of - teken zie formule (13):

$$v(l) \cos \varphi(l) = - \frac{c \frac{b}{a} \hat{z}}{D_1} \operatorname{tg} \frac{\omega}{c} l \left[-1 \pm \beta \frac{\hat{w}}{\frac{b}{a} \hat{z}} \sqrt{1 - \left(\frac{c}{c_0} \frac{\hat{w}}{\frac{b}{a} \hat{z}} \frac{\beta}{\cos \frac{\omega}{c} l} \right)^2} \right]$$

Voor $\frac{\omega}{c}l = \frac{\pi}{2}$ is $\text{tg} \frac{\omega}{c}l = \pm \infty$. Het linkerlid van voorgaande vergelijking is eindsig dus ook het rechter lid is dit, de wortelvorm is gelijk aan 1, dus het + teken geldt en bovendien:

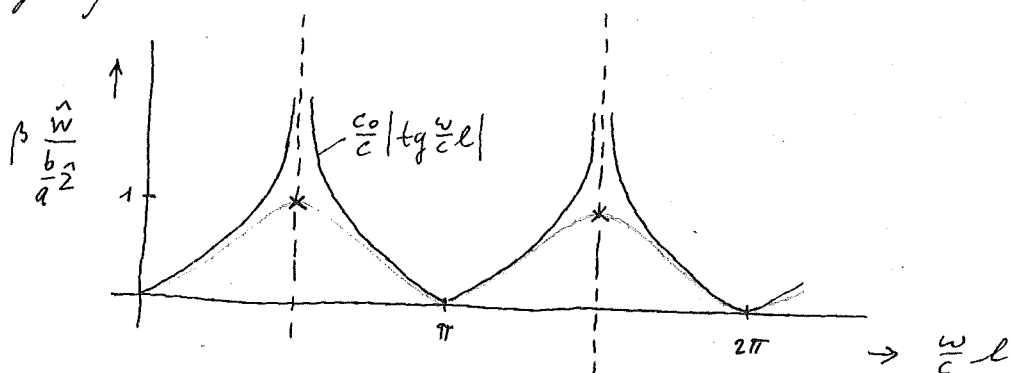
$$\beta \frac{\hat{w}}{\frac{b}{a} \hat{z}} = 1 \quad \text{voor} \quad \frac{\omega}{c}l = \frac{\pi}{2}$$

Dit zal later blijken te kloppen.

Uit de wortel vorm blijkt dat moet gelden:

$$\beta \frac{\hat{w}}{\frac{b}{a} \hat{z}} \leq \frac{c_0}{c} \left| \text{tg} \frac{\omega}{c}l \right|.$$

grafisch:



Ook dit verloop van \hat{w} met ω zal bevestigd worden.

Aan B invullen in (15):

$$\text{tg} K(x) = - \frac{\frac{c}{c_0} \left(\beta \frac{\hat{w}}{\frac{b}{a} \hat{z}} \right)^2 \cos \frac{\omega}{c} x}{\sin \frac{\omega}{c} l - \text{tg} \frac{\omega}{c} l \left[1 - \beta \frac{\hat{w}}{\frac{b}{a} \hat{z}} \sqrt{1 - \left(\frac{c}{c_0} \frac{\hat{w}}{\frac{b}{a} \hat{z}} \text{tg} \frac{\omega}{c} l \right)^2} \right] \cos \frac{\omega}{c} x}$$

(17)

A en B invullen in (14):

$$\left(\frac{\eta_1(x)}{\frac{b}{a}\hat{z}}\right)^2 = 1 - 2 \frac{\cos \frac{\omega}{c}x}{\cos \frac{\omega}{c}l} \left[1 - \beta \frac{\hat{w}}{\frac{b}{a}\hat{z}} \sqrt{1 - \left(\frac{c}{c_0} \frac{\hat{w}}{\frac{b}{a}\hat{z}} \frac{\beta}{\operatorname{tg} \frac{\omega}{c}l}\right)^2} \right] +$$

$$+ \left[1 + \left(\beta \frac{\hat{w}}{\frac{b}{a}\hat{z}}\right)^2 - 2\beta \frac{\hat{w}}{\frac{b}{a}\hat{z}} \sqrt{1 - \left(\frac{c}{c_0} \frac{\hat{w}}{\frac{b}{a}\hat{z}} \frac{\beta}{\operatorname{tg} \frac{\omega}{c}l}\right)^2} \right] \left(\frac{\cos \frac{\omega}{c}x}{\cos \frac{\omega}{c}l}\right)^2$$

(18)

In (17) en (18) zijn β en \hat{w} nog onbekend. Zij worden later bepaald.

5. Golfamplitude \hat{w} in het kanaal.

$$(12) \text{ en } (13): \quad v(l) = \sqrt{A_1^2 + B_1^2} \sin \frac{\omega}{c}l$$

$$= \frac{c}{D_1} \frac{b}{a} \hat{z} \sin \frac{\omega}{c}l \sqrt{A^2 + B^2}$$

de snelheidsamplitude in het kanaal is

dus:

$$\hat{v} = \frac{aD + bd}{(a+b)d} \frac{c}{D_1} \frac{b}{a} \hat{z} \sin \frac{\omega}{c}l \sqrt{A^2 + B^2}$$

dit zegt ik over de fase

(Het opschrijven van de massa balans voor schip en kanaal geeft dezelfde uitkomst)

$$\hat{v} = \frac{c}{1 + \frac{b}{a}} \frac{b}{a} \frac{\hat{z}}{D} \sin \frac{\omega}{c}l \sqrt{A^2 + B^2}$$

bij benadering geldt in korte golven theorie voor ondiepwater golven:

$$\hat{V} = \frac{g}{c_0} \hat{w}$$

dus:

$$\frac{\hat{w}}{\frac{b}{a} \hat{z}} = \frac{c}{c_0} \frac{\sin \frac{\omega}{c} l}{1 + \frac{b}{a}} \sqrt{A^2 + B^2}$$

A en B invullen:

$$\left(\frac{\hat{w}}{\frac{b}{a} \hat{z}} \right)^2 = \left(\frac{c}{c_0} \right)^2 \left(\frac{\sin \frac{\omega}{c} l}{1 + \frac{b}{a}} \right)^2 \frac{1 + \left(\beta \frac{\hat{w}}{\frac{b}{a} \hat{z}} \right)^2 - 2\beta \frac{\hat{w}}{\frac{b}{a} \hat{z}} \sqrt{1 - \left(\frac{c}{c_0} \beta \frac{\hat{w}}{\frac{b}{a} \hat{z}} \frac{1}{\operatorname{tg} \frac{\omega}{c} l} \right)^2}}{\cos^2 \frac{\omega}{c} l}$$

$$\left[\left\{ \left(\frac{c_0}{c} \left(1 + \frac{b}{a} \right) \right)^2 \right. \right. \left. \left. \operatorname{tg} \frac{\omega}{c} l \right) - \beta^2 \right\} \left(\frac{\hat{w}}{\frac{b}{a} \hat{z}} \right)^2 - 1 \right]^2 = 4\beta^2 \left(\frac{\hat{w}}{\frac{b}{a} \hat{z}} \right)^2 - 4\beta^4 \left(\frac{c}{c_0} \frac{1}{\operatorname{tg} \frac{\omega}{c} l} \right)^2 \left(\frac{\hat{w}}{\frac{b}{a} \hat{z}} \right)^4$$

$$\left[\left\{ \left(\frac{c_0}{c} \left(1 + \frac{b}{a} \right) \right)^2 \right. \right. \left. \left. \operatorname{tg} \frac{\omega}{c} l \right) - \beta^2 \right\}^2 + 4\beta^4 \left(\frac{c}{c_0} \frac{1}{\operatorname{tg} \frac{\omega}{c} l} \right)^2 \right] \left(\frac{\hat{w}}{\frac{b}{a} \hat{z}} \right)^4 -$$

$$- \left[2 \left\{ \left(\frac{c_0}{c} \left(1 + \frac{b}{a} \right) \right)^2 \right. \right. \left. \left. \operatorname{tg} \frac{\omega}{c} l \right) - \beta^2 \right\} + 4\beta^2 \right] \left(\frac{\hat{w}}{\frac{b}{a} \hat{z}} \right)^2 + 1 = 0$$

$$\left[\left(\frac{c_0}{c} \left(1 + \frac{b}{a} \right) \right)^4 + \beta^4 + 2\beta^2 \left(\frac{c_0}{c} \left(1 + \frac{b}{a} \right) \right)^2 \left(\frac{2\beta^2}{\left(1 + \frac{b}{a} \right)^2 \left(\frac{c}{c_0} \right)^4} - 1 \right) \right] \left(\frac{\hat{w}}{\frac{b}{a} \hat{z}} \right)^4 -$$

$$- 2 \left[\left(\frac{c_0}{c} \left(1 + \frac{b}{a} \right) \right)^2 + \beta^2 \right] \left(\frac{\hat{w}}{\frac{b}{a} \hat{z}} \right)^2 + 1 = 0 \quad (19)$$

waarmee \hat{w} te bepalen.

6. Hydrostatische kracht op het schip. K_s .
 Deze kracht kan berekend worden uit de
 golfhoogten.

$$\begin{aligned} \text{blz 28: } \eta(x,t) &= -\eta_1(x) \sin(\omega t - k(x)) \\ &= -\eta_1 \cos k \sin \omega t + \eta_1 \sin k \cos \omega t \end{aligned}$$

$\eta_1 \cos k$ en $\eta_1 \sin k$ invullen:

$$\eta(x,t) = \frac{b}{a} \hat{z} \left[-\left(1 + B \cos \frac{\omega}{c} x\right) \sin \omega t + A \cos \frac{\omega}{c} x \cos \omega t \right].$$

$$K_s = \int_{-l}^l 2 \rho g b \left[\eta(x,t) - \hat{z} \sin \omega t \right] dx$$

$$= \rho g F \hat{z} \left[\left(-1 - \frac{b}{a} - \frac{b}{a} B \frac{\sin \frac{\omega}{c} l}{\frac{\omega}{c} l}\right) \sin \omega t + \frac{b}{a} A \frac{\sin \frac{\omega}{c} l}{\frac{\omega}{c} l} \cos \omega t \right]$$

$$\text{neem } 1 + B \frac{\sin \frac{\omega}{c} l}{\frac{\omega}{c} l} = \alpha_d, \quad 4bl = F$$

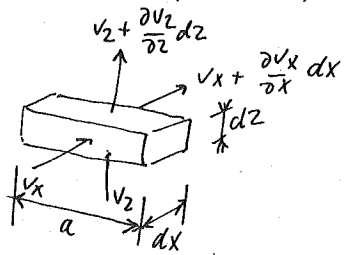
$$\alpha_d = 1 - \frac{\text{tg} \frac{\omega}{c} l}{\frac{\omega}{c} l} \left[1 - \beta \frac{\hat{w}}{\frac{b}{a} \hat{z}} \sqrt{1 - \left(\frac{c}{c_0} \frac{\hat{w}}{\frac{b}{a} \hat{z}} \frac{\beta}{\text{tg} \frac{\omega}{c} l} \right)^2} \right] \quad (20)$$

$$K_s = - \rho g F \hat{z} \left[\left(1 + \alpha_d \frac{b}{a}\right) \sin \omega t + \frac{b}{a} \frac{c}{c_0} \frac{\left(\beta \frac{\hat{w}}{\frac{b}{a} \hat{z}}\right)^2}{\frac{\omega}{c} l} \cos \omega t \right] \quad (21)$$

7. Vermellingskracht K_v .

Met continuïteits- en bewegingsvergelijking worden de dynamische drukken naast het schip bepaald. Ter plaatse van de onderzijde van het schip dienen deze als randvoorwaarde voor het berekenen van de dynamische drukken onder het schip. Integratie van deze laatste drukken over de scheepsbodem levert K_v

Drukverloop $p(x, z, t)$ naast het schip.



$$\text{continuïteit: } \frac{\partial v_x}{\partial x} + \frac{\partial v_z}{\partial z} = 0$$

$$\text{bewegingsverg.: } \frac{1}{\rho} \frac{\partial p}{\partial z} = - \frac{\partial v_z}{\partial t}$$

de overige termen zijn kwadratisch en worden verwaarloosd. Hydrostatische krachten zijn buiten beschouwing gebleven.

$$v_x = + \frac{C}{D_1} \frac{b}{a} \hat{z} \sqrt{A^2 + B^2} \sin \frac{\omega}{c} x \cos(\omega t - \varphi)$$

$$\frac{\partial v_x}{\partial x} = + \frac{C}{D_1} \frac{b}{a} \hat{z} \sqrt{A^2 + B^2} \frac{\omega}{c} \cos \frac{\omega}{c} x (\cos \omega t \cos \varphi + \sin \omega t \sin \varphi)$$

$$= + \frac{\omega}{D_1} \frac{b}{a} \hat{z} \cos \frac{\omega}{c} x (B \cos \omega t + A \sin \omega t)$$

$$v_z = - \frac{\omega}{D_1} \frac{b}{a} \hat{z} \cos \frac{\omega}{c} x (B \cos \omega t + A \sin \omega t) z + C(x, t)$$

Aan de oppervlakte geldt: $v_z = \eta$.

Nemen we in dit geval de oorsprong van het coördinaten stelsel in de bodem van het schip dan geldt voor de oppervlakte:

$$z = h + \eta \approx h \quad (\text{kleine uitwijkingen})$$

$$-\frac{\omega}{D_1} \frac{b}{a} \hat{z} \cos \frac{\omega}{c} x (B \cos \omega t + A \sin \omega t) / h + C(x, t) =$$

$$-\omega \frac{b}{a} \hat{z} \left(1 + B \cos \frac{\omega}{c} x\right) \cos \omega t - \omega \frac{b}{a} \hat{z} A \cos \frac{\omega}{c} x \sin \omega t,$$

waaruit $C(x, t)$.

$$v_z = -\frac{\omega}{D_1} \frac{b}{a} \hat{z} \cos \frac{\omega}{c} x (A \sin \omega t + B \cos \omega t) (-h + z) -$$

$$-\omega \frac{b}{a} \hat{z} \left(1 + B \cos \frac{\omega}{c} x\right) \cos \omega t - \omega \frac{b}{a} \hat{z} A \cos \frac{\omega}{c} x \sin \omega t$$

$$-\frac{\partial v_z}{\partial t} = \frac{1}{f} \frac{\partial p}{\partial z} = \omega^2 \frac{b}{a} \hat{z} \left[-\left\{1 + \left(1 - \frac{h-z}{D_1}\right) B \cos \frac{\omega}{c} x\right\} \sin \omega t + \right.$$

$$\left. + \left\{\left(1 - \frac{h-z}{D_1}\right) A \cos \frac{\omega}{c} x\right\} \cos \omega t \right]$$

$$p = f \omega^2 \frac{b}{a} \hat{z} \left[-\left\{z + \left(z + \frac{(h-z)^2}{2D_1}\right) B \cos \frac{\omega}{c} x\right\} \sin \omega t + \right.$$

$$\left. + \left\{z + \frac{(h-z)^2}{2D_1} A \cos \frac{\omega}{c} x\right\} \cos \omega t + C_1(x, t) \right]$$

Aan de oppervlakte ($z \approx h$) geldt: $p = 0$

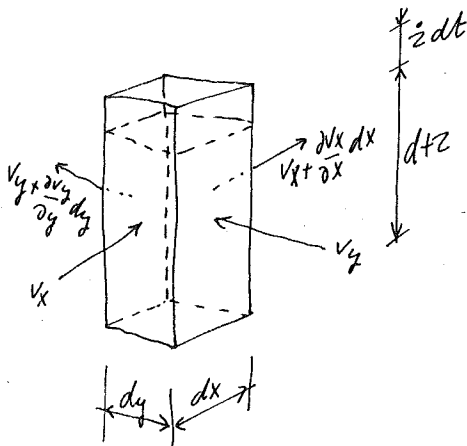
$$0 = f \omega^2 \frac{b}{a} \hat{z} \left[-h \left(1 + B \cos \frac{\omega}{c} x\right) \sin \omega t + h A \cos \frac{\omega}{c} x \cos \omega t + C_1(x, t) \right]$$

waaruit $C_1(x, t)$.

$$p = -\rho \omega^2 \frac{b}{a} \hat{z} \left[- \left\{ h-z + \left(h-z - \frac{(h-z)^2}{2D_1} \right) B \cos \frac{\omega}{c} x \right\} \sin \omega t + \left(h-z - \frac{(h-z)^2}{2D_1} \right) A \cos \frac{\omega}{c} x \cos \omega t \right]$$

$$\left[p \right]_{z=0} = \rho \omega^2 \frac{b}{a} \hat{z} \cdot \left[\left\{ h + \left(h - \frac{h^2}{2D_1} \right) B \cos \frac{\omega}{c} x \right\} \sin \omega t - \left(h - \frac{h^2}{2D_1} \right) A \cos \frac{\omega}{c} x \cos \omega t \right] \quad (22)$$

Drukverloop onder het schip $p(x, y, t)$.



continuïteit:

$$\frac{\partial v_x}{\partial x} dx (dz) dy dt + \frac{\partial v_y}{\partial y} dy (dz) dx dt + \frac{\partial v_z}{\partial z} dz dx dy dt = 0$$

lineariseren: $dz \approx d$
($z \ll d$)

$$\frac{\partial v_x}{\partial x} + \frac{\partial v_y}{\partial y} + \frac{\omega \hat{z}}{d} \cos \omega t = 0$$

de bewegingsvergelijking is weer:

$$\frac{1}{\rho} \frac{\partial p}{\partial y} = - \frac{\partial v_y}{\partial t}$$

Zie blz. 38 : $\frac{\partial v_x}{\partial x} = + \frac{\omega}{D_1} \frac{b}{a} \hat{z} \cos \frac{\omega}{c} x (B \cos \omega t + A \sin \omega t)$

$$\frac{\partial v_y}{\partial y} = - \left[\left(\frac{\omega \hat{z}}{d} + \frac{\omega}{D_1} \frac{b}{a} \hat{z} B \cos \frac{\omega}{c} x \right) \cos \omega t + \frac{\omega}{D_1} \frac{b}{a} \hat{z} \cos \frac{\omega}{c} x A \sin \omega t \right]$$

Wegens symmetrie is in de as van het kanaal ($y=0$) de snelheid in y -richting gelijk nul:

$$[v_y]_{y=0} = 0, \quad \text{waaruit volgt:}$$

$$v_y = - \left[\left(\frac{\omega \hat{z}}{d} + \frac{\omega}{D_1} \frac{b}{a} \hat{z} B \cos \frac{\omega}{c} x \right) \cos \omega t + \frac{\omega}{D_1} \frac{b}{a} \hat{z} \cos \frac{\omega}{c} x A \sin \omega t \right] y$$

$$-\frac{\partial v_y}{\partial t} = \frac{1}{\rho} \frac{\partial p}{\partial y} = \omega^2 \hat{z} \left[- \left(\frac{1}{d} + \frac{b}{a} \frac{1}{D_1} B \cos \frac{\omega}{c} x \right) \sin \omega t + \frac{b}{a} \frac{1}{D_1} A \cos \frac{\omega}{c} x \cos \omega t \right] y$$

$$p = \rho \omega^2 \hat{z} \left[\frac{y^2}{2} + C_2(x, t) \right]$$

Voor $y=b$ wordt de druk gegeven door (22).

In en uit-fase deel zijn gesplitst om $C_2(x, t)$ te bepalen: $C_2(x, t) = C_3(x) \sin \omega t + C_4(x) \cos \omega t$.

in fase deel:

$$\rho \omega^2 \frac{b}{a} \hat{z} h \left\{ 1 + \left(1 - \frac{h}{2D_1} \right) B \cos \frac{\omega}{c} x \right\} = - \rho \omega^2 \hat{z} \frac{b}{a} \frac{b^2}{2} \left[\left(\frac{1}{b d} + \frac{B}{D_1} \cos \frac{\omega}{c} x \right) \right] + C_3(x)$$

$$C_3(x) = \rho \omega^2 \frac{b}{a} \hat{z} \left[h + \frac{a}{b} \frac{b^2}{2d} + \left\{ h \left(1 - \frac{h}{2D_1} \right) + \frac{b^2}{2D_1} \right\} B \cos \frac{\omega}{c} x \right]$$

uit fase deel:

$$- \rho \omega^2 \frac{b}{a} \hat{z} \left(h - \frac{h^2}{2D_1} \right) A \cos \frac{\omega}{c} x = + \rho \omega^2 \hat{z} \frac{b^2}{2} \frac{b}{a} \frac{A}{D_1} \cos \frac{\omega}{c} x + C_4(x)$$

$$C_4(x) = \rho \omega^2 \frac{b}{a} \hat{z} \left[- \frac{b^2}{2D_1} - h + \frac{h^2}{2D_1} \right] A \cos \frac{\omega}{c} x$$

$$p = \rho \omega^2 \frac{b}{a} \hat{z} \left[\left\{ \left(\frac{b^2}{2} - \frac{y^2}{2} \right) \left(\frac{1}{b d} + \frac{B}{D_1} \cos \frac{\omega}{c} x \right) + h + h \left(1 - \frac{h}{2D_1} \right) B \cos \frac{\omega}{c} x \right\} \sin \omega t + \left\{ \left(\frac{b^2}{2} - \frac{y^2}{2} \right) \frac{A}{D_1} \cos \frac{\omega}{c} x - h \left(1 - \frac{h}{2D_1} \right) A \cos \frac{\omega}{c} x \right\} \cos \omega t \right]$$

De kracht K per lengte eenheid op de scheepsbodem bedraagt:

$$K = 2bg\omega^2 \frac{b}{a} \hat{z} \left[\left\{ \frac{b^2}{3} \left(\frac{a}{b} \frac{1}{d} + \frac{1}{D} \right) B \cos \frac{\omega}{c} x \right\} + h + h \left(1 - \frac{h}{2D} \right) B \cos \frac{\omega}{c} x \right] \sin \omega t +$$

$$+ \left[- \frac{b^2}{3} \frac{1}{D} A \cos \frac{\omega}{c} x - h \left(1 - \frac{h}{2D} \right) A \cos \frac{\omega}{c} x \right] \cos \omega t$$

$$K = 2bg\omega^2 \frac{b}{a} \hat{z} \left[\left\{ \frac{ab}{3d} + h + \left(h - \frac{h^2}{2D} + \frac{b^2}{3D} \right) B \cos \frac{\omega}{c} x \right\} \sin \omega t - \right.$$

$$\left. - \left(+ \frac{b^2}{3D} + h - \frac{h^2}{2D} \right) A \cos \frac{\omega}{c} x \cos \omega t \right]$$

Zoals ook uit de symmetrie voorwaarden moet volgen zijn hydrostatische en hydrodynamische druk symmetrisch verdeeld t.o.v. YOZ-vlak (symmetrisch schip). Er is dus bij het dompen geen resulterend moment om de y -as, zodat er geen hydrodynamische koppeling bestaat tussen dompen en stampen.

Uit de berekening van de kracht per lengteeenheid K blijkt dat de oorspronkelijke aanname dat de hydrodynamische drukken konstant zijn in x -richting niet opgaat. De fout daardoor in de bewegingsvergelijking is echter klein omdat voor hulkfrequenties kleiner dan de eigenfrequentie de dynamische drukken veel kleiner zijn dan de hydrostatische.

Totale versnellingskracht K_v op de scheepsbodem:

$$K_v = gF\omega^2 \frac{b}{a} \hat{z} \left[\left\{ h + \frac{ab}{3d} + \left(h - \frac{h^2}{2D_1} + \frac{b^2}{3D_1} \right) B \frac{\sin \frac{\omega}{c} l}{\frac{\omega}{c} l} \right\} \sin \omega t - \left(h - \frac{h^2}{2D_1} + \frac{b^2}{3D_1} \right) A \frac{\sin \frac{\omega}{c} l}{\frac{\omega}{c} l} \cos \omega t \right].$$

Deze kracht is verkregen uit: $K_v = \int_{-l}^l K dx$
 $F = 4bl$

Aan B invullen, met (20):

$$K_v = gF\omega^2 \frac{b}{a} \hat{z} \left[\left\{ \left(h + \frac{ab}{3d} \right) - \left(h - \frac{h^2}{2D_1} + \frac{b^2}{3D_1} \right) (1 - \alpha_d) \right\} \sin \omega t + \left(h - \frac{h^2}{2D_1} + \frac{b^2}{3D_1} \right) \frac{c}{c_0} \left(\beta \frac{\frac{\omega}{a} \hat{z}}{\frac{\omega}{c} l} \right)^2 \cos \omega t \right]. \quad (23)$$

d. Formule voor de coëfficiënt β .

Deze coëfficiënt wordt bepaald door op twee manieren de uit-fase componenten van de krachten te beschouwen en deze met elkaar te vergelijken.

Uit-fase kracht volgens berekening van K_s en K_v :
 (21) en (23)

$$K_{u.f.} = gF \frac{b}{a} \hat{z} \left[-g \frac{c}{c_0} \frac{\left(\beta \frac{\frac{\omega}{a} \hat{z}}{\frac{\omega}{c} l} \right)^2}{\frac{\omega}{c} l} + \omega^2 \left(h - \frac{h^2}{2D_1} + \frac{b^2}{3D_1} \right) \frac{c}{c_0} \frac{\left(\beta \frac{\frac{\omega}{a} \hat{z}}{\frac{\omega}{c} l} \right)^2}{\frac{\omega}{c} l} \right] \cos \omega t.$$

$$K_{u.f.} = -fF \frac{b}{a} \hat{z} \frac{c}{c_0} \frac{\left(\beta \frac{\hat{w}}{b_2}\right)^2}{\frac{\omega}{c} l} g \left[1 - \frac{\omega^2}{g} \left(h - \frac{h^2}{2D_1} + \frac{b^2}{3D_1} \right) \right] \cos \omega t$$

Mit het energieverlies t.g.v. straling van golven werd gevonden (8):

$$K_{u.f.} = - \frac{2fgc_0 b_k \hat{w}^2}{\hat{z} \omega} \left(1 - \frac{1}{2} \frac{D}{g} \omega^2 \right) \cos \omega t.$$

Gelijkstelling van deze twee krachten geeft:

$$4bl \frac{a}{b} \frac{c^2}{c_0} \frac{1}{l} \beta^2 \left[1 - \frac{\omega^2}{g} \left(h - \frac{h^2}{2D_1} + \frac{b^2}{3D_1} \right) \right] = 4c_0 (a+b) \left(1 - \frac{1}{2} \frac{D}{g} \omega^2 \right)$$

$$\beta^2 = \left(\frac{c_0}{c} \right)^2 \left(1 + \frac{b}{a} \right) \frac{1 - \frac{1}{2} \frac{D}{g} \omega^2}{1 - \frac{h - \frac{h^2}{2D_1} + \frac{b^2}{3D_1}}{g} \omega^2}$$

$$\beta = \frac{c_0}{c} \sqrt{\left(1 + \frac{b}{a} \right) \frac{1 - \frac{1}{2} \frac{D}{g} \omega^2}{1 - \frac{h - \frac{h^2}{2D_1} + \frac{b^2}{3D_1}}{g} \omega^2}}$$

(24)

9. De coëfficiënten a_d , b_d , c_d van de rompnvergelijking.

De coëfficiënten worden met de drie formules (4) bepaald.

Viruele massa a_d

Voor a_d geldt:

$$a_d = m - \frac{(k_v)_{\text{uit-fase comp.}}}{\ddot{z}}$$

$\ddot{z} = -\omega^2 \hat{z} \sin \omega t$, met (23):

$$a_d = m + fF \frac{b}{a} \left[\left(h + \frac{ab}{3d} \right) - \left(h - \frac{h^2}{2D_1} + \frac{b^2}{3D_1} \right) (1 - \alpha_d) \right]$$

definieer massa coefficient μ_d : $\mu_d = \frac{a_d}{m}$

$$m = fFh$$

$$\mu_d = 1 + \frac{b}{h} \left[\left(\frac{h}{a} + \frac{b}{3d} \right) - \left(\frac{h}{a} - \frac{\frac{h^2}{2} - \frac{b^2}{3}}{aD_1} \right) (1 - \alpha_d) \right]$$

(25)

Damping coefficient b_d

Voor b_d geldt:

$$b_d = - \frac{(k_v + k_s)_{\text{uit-fase comp.}}}{\dot{z}}$$

$$b_d = \frac{f g F}{\omega} \left[\frac{b}{a} \frac{c}{c_0} \frac{\left(\beta \frac{\hat{\omega}}{a \hat{z}} \right)^2}{\frac{\omega l}{c}} - \frac{\omega^2 b}{g a} \left(h - \frac{h^2}{2D_1} + \frac{b^2}{3D_1} \right) \frac{c}{c_0} \frac{\left(\beta \frac{\hat{\omega}}{a \hat{z}} \right)^2}{\frac{\omega l}{c}} \right]$$

$$b_d = \frac{f g F}{l} \frac{b}{a} \frac{c^2}{c_0} \left[\frac{1}{\omega^2} - \frac{h - \frac{h^2}{2D_1} + \frac{b^2}{3D_1}}{g} \right] \left(\beta \frac{\hat{\omega}}{a \hat{z}} \right)^2$$

(26)

Hydrostatische coëfficiënt C_d .

Voor C_d geldt:

$$C_d = - \frac{(K_s)_{in-fase comp.}}{2}$$

$$C_d = \frac{1}{2} g F \left(1 + \frac{b}{a} d_d \right) \quad (27)$$

Om de coëfficiënten te kunnen berekenen moet eerst de golfamplitude in het kanaal \bar{w} berekend worden, afhankelijk van de hoekfrequentie ω . Formule (19) voor \bar{w} geeft echter veel rekenwerk; de berekeningen zijn daarom uitgedoofd met een vereenvoudigde formule:

Vervang in (19) de vorm tussen accolades door 1. Dit gaat in het algemeen niet op, maar de gemaakte fout in \bar{w} blijft voor de hier gegeven afmetingen van kanaal en schip beneden 1 mm en is van de zelfde orde van grootte als die van de golfhoogtemeters.

Door de vereenvoudiging wordt (19) een volledig kwadraat:

$$\left[\left(\frac{c_0 \left(1 + \frac{b}{a}\right)}{\operatorname{tg} \frac{\omega}{c} l} \right)^4 + \beta^4 + 2 \beta^2 \left(\frac{c_0 \left(1 + \frac{b}{a}\right)^2}{\operatorname{tg} \frac{\omega}{c} l} \right)^2 \right] \left(\frac{\hat{\omega}}{\frac{b}{a} \hat{z}} \right)^4 -$$

$$- 2 \left[\left(\frac{c_0 \left(1 + \frac{b}{a}\right)}{\operatorname{tg} \frac{\omega}{c} l} \right)^2 + \beta^2 \right] \left(\frac{\hat{\omega}}{\frac{b}{a} \hat{z}} \right)^2 + 1 = 0$$

met als resultaat.

$$\hat{\omega} \approx \frac{\frac{b}{a} \hat{z}}{\sqrt{\beta^2 + \left[\frac{c_0 \left(1 + \frac{b}{a}\right)}{\operatorname{tg} \frac{\omega}{c} l} \right]^2}} \quad (28)$$

De formule is exact voor: $\frac{\omega}{c} l = 0, \frac{\pi}{2}, \pi, \dots$

De gemeten golfhoogten en -fases ter plaatse van het scheepsmidden, $\eta(0)$ resp. $\kappa(0)$, zijn m.b.v. de berekening gecontroleerd. Hiertoe zijn ook de formules (17) en (18) vereenvoudigd.

Beschouw de wortelvorm: $\sqrt{1 - \left(\frac{c_0}{\frac{b}{a} \hat{z}} \frac{\hat{\omega}}{\operatorname{tg} \frac{\omega}{c} l} \right)^2}$

Met (28):

$$\sqrt{1 - \frac{\left(\frac{c_0}{\hat{z}}\right)^2}{\operatorname{tg}^2 \frac{\omega}{c} l + \beta^2 \left(\frac{c_0}{c}\right)^2 \left(1 + \frac{b}{a}\right)^2}} \gg \sqrt{1 - \left(\frac{\left(\frac{c_0}{c}\right)^2}{\beta \left(1 + \frac{b}{a}\right)} \right)^2}$$

Deze vorm is in dit geval gelijk aan:

$$\sqrt{1 - \left(\frac{(\frac{c}{c_0})^2}{\beta(1 + \frac{b}{a})} \right)^2} \approx \sqrt{1 - \left(\frac{0,754}{1,43 \cdot 2,82} \right)^2} = 0,982 \approx 1.$$

$$\text{Dus } \sqrt{1 - \left(\frac{\frac{c}{c_0} \frac{\hat{w}}{a^2} \frac{\beta}{\text{tg} \frac{\omega}{c} l}}{\frac{b}{a^2}} \right)^2} \approx 1$$

Met (17) en (18) volgt hiermee:

$$\eta(0) \approx \frac{b}{a} \hat{z} \left(1 - \frac{1 - \beta \frac{\hat{w}}{a^2}}{\cos \frac{\omega}{c} l} \right) \quad (29)$$

$$\text{tg } \kappa(0) \approx - \frac{\frac{c}{c_0}}{\sin \frac{\omega}{c} l} \left(\beta \frac{\hat{w}}{a^2} \right)^2 \frac{\eta(0)}{\frac{b}{a} \hat{z}} \quad (30)$$

5.4. Coëfficiënten van de stampvergelijking.

Harmonische beweging: $\theta = \hat{\theta} \sin \omega t$, $z(x, t) = \hat{\theta} x \sin \omega t$

De berekening verloopt analoog aan die voor de drompbeweging, zodat waar nodig daaraan verwezen wordt.

1. Continuïteitsvergelijking.

Als bij drompen, er treedt echter een extra term omdat de scheepsbodem een helling $\frac{\partial z}{\partial x}$ heeft in x -richting. $\bar{z} = \frac{\partial z}{\partial t}$

$$v_x \frac{\partial \eta}{\partial x} + \frac{b}{a} v_x \frac{\partial z}{\partial x} + \left(D + d \frac{b}{a} \right) \frac{\partial v_x}{\partial x} + \frac{\partial \eta}{\partial t} + \frac{b}{a} \frac{\partial z}{\partial t} = 0$$

(gedetailieerd geïlineariseerd). (9')

2. Bewegingsvergelijking

We kunnen in dit geval niet de niet-hydrostatische drrukken weglaten uit de bewegingsvergelijking. Als 1^o benadering zijn deze drrukken bepaald door uit te gaan van een waterbeweging in z -en y -richting. De fout die hierdoor gemaakt wordt is weer klein, omdat voor de beschouwde hoekfrequenties de niet-hydrostatische drrukken veel kleiner zijn dan de hydrostatische.

Men vindt voor de drukken naast het schip:

$$p_1 = \rho \frac{b}{a} (h-z) \frac{\partial^2 z}{\partial t^2} \quad (\text{oorsprong assen kruis in scheepsbodem})$$

en voor de drukken onder het schip:

$$p_2 = \rho \left(\frac{b}{a} h + \frac{b^2 - y^2}{2d} \right) \frac{\partial^2 z}{\partial t^2}$$

Als totale vermindering kracht K vindt men:

$$K(x,t) = \rho b^2 h \left(\frac{h}{2b} + \frac{d}{a} + \frac{b}{3h} \right) \frac{\partial^2 z}{\partial t^2}$$

De bijbehorende term in de bewegingsvergelijking

is dus:

$$\frac{\partial K}{\partial x} dx = \rho b^2 h \left(\frac{h}{2b} + \frac{d}{a} + \frac{b}{3h} \right) \frac{\partial^3 z}{\partial x \partial t^2} dx$$

Door de helling van de scheepsbodem wordt

de term $\frac{\partial(mv_x)}{\partial x}$:

$$\frac{\partial(mv_x)}{\partial x} = \rho \left[\left(a \frac{\partial \eta}{\partial x} + b \frac{\partial z}{\partial x} \right) v_x + \left\{ (D+\eta)a + (d+z)b \right\} dx \frac{\partial v_x}{\partial x} \right]$$

De overige termen zijn als die in de dampvergelijking.

De vergelijking wordt ($D+\eta \approx 0$, $d+z \approx d$):

$$\frac{b^2 h}{a} \omega^2 \hat{\theta} \left(\frac{h}{2b} + \frac{d}{a} + \frac{b}{3h} \right) \sin \omega t + \rho \left(D + d \frac{b}{a} \right) \frac{\partial \eta}{\partial x} +$$

$$+ \left(D + d \frac{b}{a} \right) \frac{\partial v_x}{\partial t} + v_x \left[v_x \frac{\partial \eta}{\partial x} + \left(D + d \frac{b}{a} \right) \frac{\partial v_x}{\partial x} + \frac{\partial \eta}{\partial t} + \frac{b}{a} \frac{\partial z}{\partial t} + v_x \frac{b}{a} \frac{\partial z}{\partial x} \right] = 0$$

Blijken de continuïteitsvergelijking in de vorm
 tussen [] gelijk aan nul.

De twee niet-lineaire termen in (9') mogen
 verwaarloosd worden, mits $v_x \ll c$.

$$D_1 \frac{\partial v_x}{\partial x} + \frac{\partial \eta}{\partial t} + \frac{b}{a} \omega \hat{\theta} x \cos \omega t = 0 \quad (9')$$

$$c^2 \frac{\partial \eta}{\partial x} + D_1 \frac{\partial v_x}{\partial t} + b_1^2 \omega^2 \hat{\theta} \sin \omega t = 0 \quad (10')$$

$$D_1 + \frac{b}{a} d = D_1, \quad \text{of } D_1 = c^2$$

$$\frac{b^2 h}{a} \left(\frac{b}{3h} + \frac{h}{2b} + \frac{d}{a} \right) = b_1^2$$

Zoek van (9') en (10') een oplossing die
 harmonisch in de tijd is:

$$v_x = -v(x) \cos(\omega t - \varphi(x))$$

$$\eta = -\eta_1(x) \sin(\omega t - \kappa(x))$$

Ingeluld geeft dit:

$$-D_1 \frac{d}{dx} (v \cos \varphi) \cos \omega t - D_1 \frac{d}{dx} (v \sin \varphi) \sin \omega t - \omega (\eta_1 \cos \kappa) \cos \omega t -$$

$$- \omega (\eta_1 \sin \kappa) \sin \omega t + \frac{b}{a} \omega \hat{\theta} x \cos \omega t = 0$$

$$-c^2 \frac{d}{dx} (\eta_1 \cos \kappa) \sin \omega t + c^2 \frac{d}{dx} (\eta_1 \sin \kappa) \cos \omega t + D_1 \omega (v \cos \varphi) \sin \omega t -$$

$$- D_1 \omega (v \sin \varphi) \cos \omega t + b_1^2 \omega^2 \hat{\theta} \sin \omega t = 0$$

Deze twee betrekkingen gelden op elk tijdstip, de coëfficiënten van $\sin \kappa$ en $\cos \kappa$ zijn dus gelijk nul:

$$\left\{ \begin{array}{l} -D_1 \frac{d}{dx} (v \sin \kappa) - \omega (\eta_1 \sin \kappa) = 0 \\ D_1 \frac{d}{dx} (v \cos \kappa) + \omega (\eta_1 \cos \kappa) - \frac{b}{a} \omega \hat{\theta} x = 0 \\ -c^2 \frac{d}{dx} (\eta_1 \cos \kappa) + D_1 \omega (v \cos \kappa) + b_1^2 \omega^2 \hat{\theta} = 0 \\ c^2 \frac{d}{dx} (\eta_1 \sin \kappa) - D_1 \omega (v \sin \kappa) = 0 \end{array} \right. \quad (11')$$

3. Randvoorwaarden.

1° $[\eta_1]_{x=0} = 0$ antisymetrie

2° $\left[\frac{dv}{dx}\right]_{x=0} = 0$ antisymetrie

3° $[\eta_1]_{x=l} = \beta \hat{w}$ als bij dampen

4° $\left[\frac{d\kappa}{dx}\right]_{x=l} = \frac{\omega}{c_0}$ als bij dampen

4. Oplossing van de vergelijkingen en aanpassing aan de randvoorwaarden.

tweede en derde verg. van (11'):

$$-\omega^2 (\eta_1 \cos \kappa) + \frac{b}{a} \omega^2 \hat{\theta} x - c^2 \frac{d^2}{dx^2} (\eta_1 \cos \kappa) = 0$$

$$\frac{d^2}{dx^2} (\eta_1 \cos \kappa) + \frac{\omega^2}{c^2} (\eta_1 \cos \kappa) = \frac{b}{a} \frac{\omega^2}{c^2} \hat{\theta} x$$

Wegens antisymetrie:

$$\eta_1 \cos \kappa = A_1 \sin \frac{\omega}{c} x + \frac{b}{a} \hat{\theta} x \quad (12')$$

eerste en vierde verg. van (11')

$$\frac{d^2}{dx^2} (\eta_1 \sin \kappa) + \frac{\omega^2}{c^2} (\eta_1 \sin \kappa) = 0$$

$$\eta_1 \sin \kappa = B_1 \sin \frac{\omega}{c} x \quad (13')$$

(12') en (13') in de derde en vierde verg. van (11'):

$$V \sin \varphi = \frac{g}{c} B_1 \cos \frac{\omega}{c} x$$

$$V \cos \varphi = \frac{g}{c} A_1 \cos \frac{\omega}{c} x + \left(\frac{g}{\omega} \frac{b}{a} - \frac{b_1^2 \omega}{D_1} \right) \hat{\theta}$$

Uit deze twee formules:

$$V(x)^2 = \left(\frac{g}{c} \right)^2 (A_1^2 + B_1^2) \cos^2 \frac{\omega}{c} x + 2 \frac{g}{c} A_1 \cos \frac{\omega}{c} x \left(\frac{g}{\omega} \frac{b}{a} - \frac{b_1^2 \omega}{D_1} \right) \hat{\theta} + \left(\frac{g}{\omega} \frac{b}{a} - \frac{b_1^2 \omega}{D_1} \right)^2 \hat{\theta}^2 \quad (14')$$

$V(x)$ is symmetrisch t.o.v. $x=0$, dus $\left. \frac{dV}{dx} \right|_{x=0} = 0$

(randvoorwaarde 2°)

Uit (12') en (13'):

$$\operatorname{tg} \kappa = \frac{B_1 \sin \frac{\omega}{c} x}{A_1 \sin \frac{\omega}{c} x + \frac{b}{a} \hat{\theta} x} = \frac{B \sin \frac{\omega}{c} x}{A \sin \frac{\omega}{c} x + x}$$

$$\frac{B_1}{\frac{b}{a} \hat{\theta}} = B$$

$$\frac{A_1}{\frac{b}{a} \hat{\theta}} = A$$

$$\kappa(x) = \operatorname{arctg} \frac{B \sin \frac{\omega}{c} x}{A \sin \frac{\omega}{c} x + x}$$

$$\frac{d\kappa}{dx} = \frac{B \frac{\omega}{c} \cos \frac{\omega}{c} x (A \sin \frac{\omega}{c} x + x) - B \sin \frac{\omega}{c} x (1 + A \frac{\omega}{c} \cos \frac{\omega}{c} x)}{(A \sin \frac{\omega}{c} x + x)^2}$$

$$= \frac{1 + \left(\frac{B \sin \frac{\omega}{c} x}{A \sin \frac{\omega}{c} x + x} \right)^2}{}$$

$$= \frac{B \frac{\omega}{c} x \cos \frac{\omega}{c} x - B \sin \frac{\omega}{c} x}{(A \sin \frac{\omega}{c} x + x)^2 + (B \sin \frac{\omega}{c} x)^2}$$

$$\left[\frac{d\kappa}{dx} \right]_{x=l} = \frac{\omega}{c_0} = \frac{B \left(\frac{\omega}{c} l \cos \frac{\omega}{c} l - \sin \frac{\omega}{c} l \right)}{(A^2 + B^2) \sin^2 \frac{\omega}{c} l + 2Al \sin \frac{\omega}{c} l + l^2}$$

$$(A^2 + B^2) \sin^2 \frac{\omega}{c} l + 2Al \sin \frac{\omega}{c} l + B \frac{c_0}{\omega} \left(\sin \frac{\omega}{c} l - \frac{\omega}{c} l \cos \frac{\omega}{c} l \right) + l^2 = 0 \quad (15')$$

uit 3° randvoorwaarde, $[D_1]_{x=l} = \beta \hat{w}$:

$$(A^2 + B^2) \sin^2 \frac{\omega}{c} l + 2Al \sin \frac{\omega}{c} l + l^2 = \left(\frac{\beta \hat{w}}{\frac{b}{a} \hat{\theta}} \right)^2 \quad (16')$$

(15') - (16') geeft:

$$B = - \frac{\frac{\omega}{c_0} \left(\frac{\beta \hat{w}}{\frac{b}{a} \hat{\theta}} \right)^2}{\sin \frac{\omega}{c} l - \frac{\omega}{c} l \cos \frac{\omega}{c} l}$$

B in (1.6.1)

$$A = - \frac{l}{\sin \frac{\omega}{c} l} \left[1 \pm \frac{\beta}{\frac{b}{a} \hat{\theta}} \frac{\hat{w}}{l} \sqrt{1 - \left(\frac{\frac{c_0}{c} l}{1 - \frac{\omega}{c} l} \frac{\beta \hat{w}}{\frac{b}{a} \hat{\theta}} \right)^2} \right]$$

formule (12'): $\eta_1 \cos \pi = \frac{b}{a} \hat{\theta} A \sin \frac{\omega}{c} x + \frac{b}{a} \hat{\theta} x$

Voor $\frac{\omega}{c} l = \pi$ is $\sin \frac{\omega}{c} l = 0$, als in de formule voor A het + teken zou gelden dan zou

$$A = \pm \infty \text{ en met (12')} \quad \eta' = \pm \infty$$

Dit treedt niet op, dus het min-teken geldt.

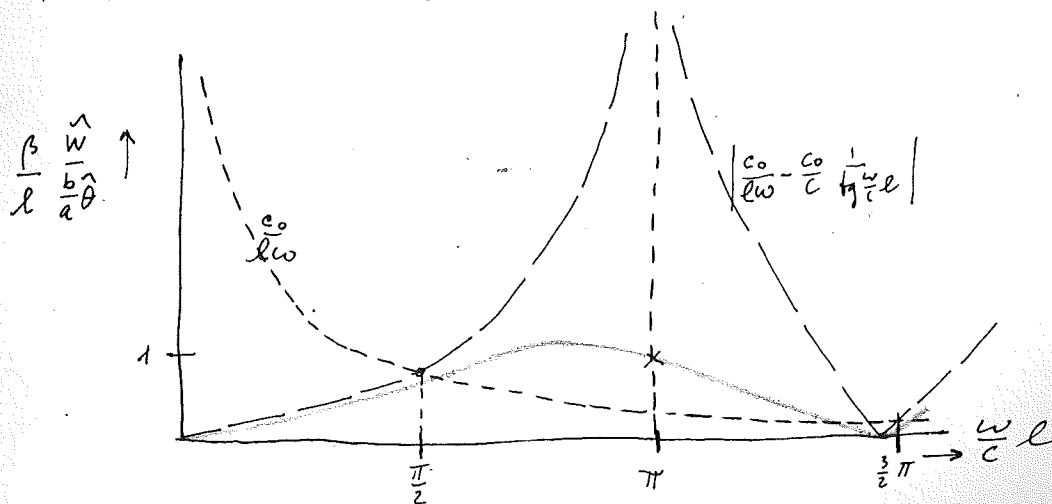
Bovendien moet dus gelden:

$$\hat{w} = \frac{1}{\beta} \frac{b}{a} \hat{\theta} l \text{ voor } \frac{\omega}{c} l = \pi$$

Uit de wortelvorm blijkt dat moet gelden:

$$\hat{w} \leq \frac{\frac{b}{a} \hat{\theta}}{\beta} \frac{\left| 1 - \frac{\frac{c_0}{c} l}{\frac{\omega}{c} l} \right|}{\frac{\omega}{c_0}}$$

grafisch weergegeven:



5. Golfamplitude \hat{w} in het kanaal.

$$(14'): v(l) = \left(\frac{b}{a} \hat{\theta} \right)^2 \left[\left(\frac{q}{c} \right)^2 (A^2 + B^2) \cos^2 \frac{\omega}{c} l + 2 \frac{q}{c} A \cos \frac{\omega}{c} l \left(\frac{q}{\omega} - \frac{a}{b} \frac{b_1^2}{D_1} \omega \right) + \left(\frac{q}{\omega} - \frac{a}{b} \frac{b_1^2}{D_1} \omega \right)^2 \right]$$

De snelheids amplitude in het kanaal \hat{v} is:

$$\hat{v}^2 = \left(\frac{a D_1}{(a+b) D_0} \right)^2 v(l)^2 = \left(\frac{D_1}{(1+\frac{b}{a}) D_0} \right)^2 v(l)^2$$

Ook geldt bij benadering:

$$\hat{v}^2 = \left(\frac{q}{c_0} \right)^2 \hat{w}^2$$

Dit geeft:

$$\left[\frac{(1+\frac{b}{a}) D_0}{D_1} \frac{q}{c_0} \frac{\hat{w}}{\frac{b}{a} \hat{\theta}} \right]^2 = \left(\frac{q}{c} \right)^2 \frac{\left(\frac{\beta \hat{w}}{\frac{b}{a} \hat{\theta}} \right)^2 l^2 - 2 A l \sin \frac{\omega}{c} l \cos^2 \frac{\omega}{c} l + 2 \frac{q}{c} \cos \frac{\omega}{c} l \left(\frac{q}{\omega} - \frac{a}{b} \frac{b_1^2}{D_1} \omega \right) A + \left(\frac{q}{\omega} - \frac{a}{b} \frac{b_1^2}{D_1} \omega \right)^2}{\sin^2 \frac{\omega}{c} l}$$

$$\left[\left(\frac{1+\frac{b}{a}}{D_1} D \frac{q}{c_0} \right)^2 - \left(\frac{q}{c} \beta \right)^2 \right] \left(\frac{\hat{w}}{\frac{b}{a} \hat{\theta}} \right)^2 = q^2 \frac{\left(\frac{q}{c} l \right)^2}{\tan^2 \frac{\omega}{c} l} +$$

$$+ \left[- \frac{2 \left(\frac{q}{c} \right)^2 l \cos^2 \frac{\omega}{c} l}{\sin \frac{\omega}{c} l} + 2 \frac{q}{c} \cos \frac{\omega}{c} l \cdot q \right]$$

$$\left(q = \frac{q}{\omega} - \frac{a}{b} \frac{b_1^2}{D_1} \omega \right)$$

Invullen van de formule voor A geeft:

$$t_1 \left(\frac{\hat{w}}{\frac{b}{a} \hat{\theta} l} \right)^4 - 2t_2 \left(\frac{\hat{w}}{\frac{b}{a} \hat{\theta} l} \right)^2 + t_3 = 0$$

waarin:

$$t_1 = \left[\frac{\left(\frac{1 + \frac{b}{a}}{\frac{c}{c_0}} \operatorname{tg} \frac{\omega}{c} l \right)^2 - \beta^2}{\frac{q \operatorname{tg} \frac{\omega}{c} l}{\frac{c}{D_1} l} - 1} \right]^2 + 4\beta^4 \left(\frac{\frac{\omega}{c_0} l}{1 - \frac{\omega}{c} l \operatorname{tg} \frac{\omega}{c} l} \right)^2$$

$$t_2 = \left(\frac{1 + \frac{b}{a}}{\frac{c}{c_0}} \operatorname{tg} \frac{\omega}{c} l \right)^2 + \beta^2$$

$$t_3 = \left(\frac{q \operatorname{tg} \frac{\omega}{c} l}{\frac{c}{D_1} l} - 1 \right)^2$$

(19')

6. Hydrostatisch moment M_s op het schip.

Dit moment wordt berekend uit de golfhoogten η_b t.o.v. de scheepsbodem

Zie blz 51 :

$$\begin{aligned}\eta_b(x,t) &= -\eta_0 \cos kx \sin \omega t + \eta_1 \sin kx \cos \omega t - \hat{\theta} x \sin \omega t \\ &= - \left[\left(1 + \frac{b}{a}\right)x + \frac{b}{a} A \sin \frac{\omega}{c} x \right] \hat{\theta} \sin \omega t + \frac{b}{a} B \hat{\theta} \sin \frac{\omega}{c} x \cos \omega t\end{aligned}$$

$$M_s = \int_{-l}^l \rho g \eta_b \cdot z b x dx.$$

$$\begin{aligned}&= -\rho g \left(1 + \frac{b}{a}\right) \hat{\theta} \int_0^l y_0 \sin \omega t + \rho g \left[-\frac{c^2}{\omega^2} 4b \frac{b}{a} A \hat{\theta} \left(\sin \frac{\omega}{c} l - \right. \right. \\ &\quad \left. \left. - \frac{\omega}{c} l \cos \frac{\omega}{c} l \right) \sin \omega t + 4b \frac{b}{a} B \hat{\theta} \frac{c^2}{\omega^2} \left(\sin \frac{\omega}{c} l - \frac{\omega}{c} l \cos \frac{\omega}{c} l \right) \cos \omega t \right]\end{aligned}$$

$$\begin{aligned}M_s &= \rho g \left[-\left\{ \left(1 + \frac{b}{a}\right) y_0 + \frac{c}{\omega} \frac{b}{a} A \left(\frac{\sin \frac{\omega}{c} l}{\frac{\omega}{c} l} - \cos \frac{\omega}{c} l \right) F \right\} \hat{\theta} \sin \omega t + \right. \\ &\quad \left. + \frac{c}{\omega} \frac{b}{a} B \left(\frac{\sin \frac{\omega}{c} l}{\frac{\omega}{c} l} - \cos \frac{\omega}{c} l \right) F \hat{\theta} \cos \omega t. \right] \quad (21')\end{aligned}$$

$$\text{In-fase deel} = -\rho g y_0 \left(1 + \alpha_s \frac{b}{a}\right) \hat{\theta} \sin \omega t$$

(definitie van α_s)

$$\alpha_s = 1 + 3 \frac{c}{\omega l} \frac{A}{l} \left(\frac{\sin \frac{\omega}{c} l}{\frac{\omega}{c} l} - \cos \frac{\omega}{c} l \right) \quad (20')$$

$$\left(\frac{y_0}{F} = 3l^2 \right)$$

7. Moment M_v t.g.v. de versnellingen van de waterdeeltjes.

De berekening verloopt op dezelfde wijze als bij dompen, zie aldaar.

Drukverloop naast het schip.

continuïteitsvergelijking: $\frac{\partial v_x}{\partial x} + \frac{\partial v_z}{\partial z} = 0$

bewegingsvergelijking: $\frac{1}{\rho} \frac{\partial p}{\partial z} = - \frac{\partial v_z}{\partial t}$

(geen hydrostatische drukken, kwadratische termen verwaarloosd)

$$v_x = - \frac{b}{a} \hat{\theta} \left[\left(\frac{g}{c} A \cos \frac{\omega}{c} x + g \right) \cos \omega t + \frac{g}{c} B \sin \frac{\omega}{c} x \sin \omega t \right]$$

$$g = \frac{g}{\omega} - \frac{a}{b} \frac{b_1^2}{D_1} \omega$$

$$\frac{\partial v_x}{\partial x} = \frac{b}{a} \hat{\theta} \frac{g \omega}{c^2} \sin \frac{\omega}{c} x (A \cos \omega t + B \sin \omega t) = - \frac{\partial v_z}{\partial z}$$

$$v_z = - \frac{\omega}{D_1} \frac{b}{a} \hat{\theta} \sin \frac{\omega}{c} x (A \cos \omega t + B \sin \omega t) + C(x, t)$$

Aan de vloeistofoppervlakte ($z \approx h$) geldt: $v_z = \dot{\eta}$

$$\dot{\eta} = - \frac{b}{a} \hat{\theta} \left[\left(x + A \sin \frac{\omega}{c} x \right) \sin \omega t - B \sin \frac{\omega}{c} x \cos \omega t \right]$$

$$\dot{\eta} = - \frac{b}{a} \hat{\theta} \omega \left[\left(x + A \sin \frac{\omega}{c} x \right) \cos \omega t + B \sin \frac{\omega}{c} x \sin \omega t \right]$$

$$= C(x, t) - \frac{\omega}{D_1} \frac{b}{a} \hat{\theta} \sin \frac{\omega}{c} x (A \cos \omega t + B \sin \omega t) h,$$

waaruit $C(x, t)$ op te lossen.

$$v_z = - \omega \frac{b}{a} \hat{\theta} \left[\left\{ \left(1 - \frac{h-z}{D_1} \right) A \sin \frac{\omega}{c} x + x \right\} \cos \omega t + \left(1 - \frac{h-z}{D_1} \right) B \sin \frac{\omega}{c} x \sin \omega t \right]$$

$$-\frac{\partial v_z}{\partial t} = \frac{1}{\rho} \frac{\partial p}{\partial z} = \omega^2 \frac{b}{a} \hat{\theta} \left[- \left\{ \left(1 - \frac{h-z}{D_1}\right) A \sin \frac{\omega}{c} x + x \right\} \sin \omega t + \right. \\ \left. + \left(1 - \frac{h-z}{D_1}\right) B \sin \frac{\omega}{c} x \cos \omega t \right]$$

$$p = \rho \omega^2 \frac{b}{a} \hat{\theta} \left[- \left\{ \left(z + \frac{(h-z)^2}{2D_1} \right) A \sin \frac{\omega}{c} x + x z \right\} \sin \omega t + \right. \\ \left. + \left(z + \frac{(h-z)^2}{2D_1} \right) B \sin \frac{\omega}{c} x \cos \omega t + C_1(x, t) \right]$$

Aan het oppervlak geldt: $p=0$ ($z=h$)

$$0 = - \left\{ h A \sin \frac{\omega}{c} x + x h \right\} \sin \omega t + h B \sin \frac{\omega}{c} x \cos \omega t + C_1(x, t),$$

waaruit $C_1(x, t)$ op te lossen.

$$p = \rho \omega^2 \frac{b}{a} \hat{\theta} \left[\left\{ \left(h-z - \frac{(h-z)^2}{2D_1} \right) A \sin \frac{\omega}{c} x + (h-z)x \right\} \sin \omega t - \right. \\ \left. - \left(h-z - \frac{(h-z)^2}{2D_1} \right) B \sin \frac{\omega}{c} x \cos \omega t \right]$$

Druk t.g.v. de versnellingen bij de bodem ($z=0$):

$$[p]_{z=0} = \rho \omega^2 \frac{b}{a} \hat{\theta} \left[\left\{ \left(h - \frac{h^2}{2D_1} \right) A \sin \frac{\omega}{c} x + h x \right\} \sin \omega t - \right. \\ \left. - \left(h - \frac{h^2}{2D_1} \right) B \sin \frac{\omega}{c} x \cos \omega t \right] \quad (22')$$

Drukverloop onder het schip.

continuïteitsvergelijking, gelineariseerd: $\frac{\partial v_x}{\partial x} + \frac{\partial v_y}{\partial y} + \frac{\omega}{a} x \hat{\theta} \cos \omega t = 0$

bewegingsvergelijking, " : $\frac{1}{\rho} \frac{\partial p}{\partial y} = - \frac{\partial v_y}{\partial t}$

$$\frac{\partial y}{\partial y} = -\frac{b}{a} \hat{\theta} \left[\left(\frac{\omega}{D_1} A \sin \frac{\omega}{c} x + \frac{a}{b} \frac{\omega}{d} x \right) \cos \omega t + \frac{\omega}{D_1} B \sin \frac{\omega}{c} x \sin \omega t \right].$$

$$[V_y]_{y=0} = 0, \text{ dus:}$$

$$v_y = -\frac{b}{a} \hat{\theta} \left[\left(\frac{\omega}{D_1} A \sin \frac{\omega}{c} x + \frac{a}{b} \frac{\omega}{d} x \right) \cos \omega t + \frac{\omega}{D_1} B \sin \frac{\omega}{c} x \sin \omega t \right] y$$

$$-\frac{\partial v_y}{\partial t} = \frac{1}{\rho} \frac{\partial p}{\partial y} = \frac{b}{a} \hat{\theta} \omega^2 \left[- \left(\frac{A}{D_1} \sin \frac{\omega}{c} x + \frac{a}{b} \frac{x}{d} \right) \sin \omega t + \frac{B}{D_1} \sin \frac{\omega}{c} x \cos \omega t \right] y$$

$$p = \rho \frac{b}{a} \hat{\theta} \omega^2 \left\{ \left[- \left(\frac{A}{D_1} \sin \frac{\omega}{c} x + \frac{a}{b} \frac{x}{d} \right) \sin \omega t + \frac{B}{D_1} \sin \frac{\omega}{c} x \cos \omega t \right] \frac{y^2}{2} + C_2(x, t) \right\}$$

Voor $y = b$ wordt de druk gegeven door (22'):

$$\left[\left(h - \frac{h^2}{2D_1} \right) A \sin \frac{\omega}{c} x + hx \right] \sin \omega t - \left(h - \frac{h^2}{2D_1} \right) B \sin \frac{\omega}{c} x \cos \omega t = -\frac{b^2}{2} \left(\frac{A}{D_1} \sin \frac{\omega}{c} x + \frac{a}{b} \frac{x}{d} \right) \sin \omega t + \frac{b^2}{2} \frac{B}{D_1} \sin \frac{\omega}{c} x \cos \omega t + C_2(x, t),$$

waaruit $C_2(x, t)$ op te lossen.

$$p = \rho \frac{b}{a} \hat{\theta} \omega^2 \left\{ \left[\left(h - \frac{h^2}{2D_1} + \frac{b^2}{2D_1} \right) A \sin \frac{\omega}{c} x + \left(h + \frac{ab}{2d} \right) x - \frac{y^2}{2} \left(\frac{A}{D_1} \sin \frac{\omega}{c} x + \frac{a}{b} \frac{x}{d} \right) \right] \sin \omega t - \left(h - \frac{h^2}{2D_1} + \frac{b^2}{2D_1} - \frac{y^2}{2D_1} \right) B \sin \frac{\omega}{c} x \cos \omega t \right\}$$

$$p = \rho \frac{b}{a} \hat{\theta} \omega^2 \left[\left\{ \frac{b^2 y^2}{2} \left(\frac{A}{D_1} \sin \frac{\omega}{c} x + \frac{a}{bd} x \right) + \left(h - \frac{h^2}{2D_1} \right) A \sin \frac{\omega}{c} x + h x \right\} \sin \omega t - \left\{ \frac{b^2 y^2}{2} \frac{B}{D_1} \sin \frac{\omega}{c} x + \left(h - \frac{h^2}{2D_1} \right) B \sin \frac{\omega}{c} x \right\} \cos \omega t \right]$$

De kracht K per lengte eenheid t.g.v. de versmellingen bedraagt:

$$K = \int_{-b}^b p dx$$

$$K = 2b\rho \frac{b}{a} \hat{\theta} \omega^2 \left[\left\{ \left(\frac{b^2}{3D_1} - \frac{h^2}{2D_1} + h \right) A \sin \frac{\omega}{c} x + \left(\frac{ab}{3d} + h \right) x \right\} \sin \omega t - \left\{ \left(\frac{b^2}{3D_1} - \frac{h^2}{2D_1} + h \right) B \sin \frac{\omega}{c} x \cos \omega t \right\} \right]$$

Uit de antisymetrie volgt dat er bij het stampen geen resulterende drompkracht is. Dit geldt ook voor de hydrostatische drakken.

Uit de theorie volgt dus dat er geen koppeling is tussen stampen en drompen.

Ook geldt de tweede opmerking op blz. 42

Het moment t.g.v. de hydrodynamische drakken M_v wordt gegeven door:

$$M_v = \int_{-l}^l Kx dx = 2 \int_0^l Kx dx$$

$$M_v = 4bf \frac{b}{a} \hat{\theta} \omega^2 \left\{ \left(\frac{b^2}{3D_1} - \frac{h^2}{2D_1} + h \right) A \frac{c^2}{\omega^2} \left(-\frac{\omega}{c} l \cos \frac{\omega}{c} l + \sin \frac{\omega}{c} l \right) + \left(\frac{ab}{3d} + h \right) \frac{l^3}{3} \right\} \sin \omega t - \left(\frac{b^2}{3D_1} - \frac{h^2}{2D_1} + h \right) B \frac{c^2}{\omega^2} \left(-\frac{\omega}{c} l \cos \frac{\omega}{c} l + \sin \frac{\omega}{c} l \right) \cos \omega t$$

met $\frac{y_0}{F} = i^2 = \frac{l^2}{3}$ en (20'):

$$M_v = f \frac{b}{a} \hat{\theta} \omega^2 y_0 \left[\left\{ \left(h + \frac{ab}{3d} \right) - \left(\frac{b^2}{3D_1} - \frac{h^2}{2D_1} + h \right) (1 - \alpha_s) \right\} \sin \omega t + 3 \left(\frac{b^2}{3D_1} - \frac{h^2}{2D_1} + h \right) \frac{c}{c_0} \left(\frac{\beta \hat{w}}{l \frac{b}{a} \hat{\theta}} \right)^2 \cos \omega t \right]$$

(23')

8. Formule voor de coëfficiënt β .

Bepaling als bij dampen.

Uit-fase component van het totale moment $M_s + M_v$, volgens (21') en (23'):

$$M_{u.f.} = f \frac{b}{a} F \hat{\theta} \frac{c}{\omega} \left[g B \left(\frac{\sin \frac{\omega}{c} l}{\frac{\omega}{c} l} - \cos \frac{\omega}{c} l \right) + \omega^2 l \frac{c}{c_0} \left(\frac{b^2}{3D_1} - \frac{h^2}{2D_1} + h \right) \left(\frac{\beta \hat{w}}{l \frac{b}{a} \hat{\theta}} \right)^2 \right] \cos \omega t$$

$$M_{u.f.} = f \frac{b}{a} F \hat{\theta} \frac{c}{\omega} \frac{c}{c_0} \left[-g + \omega^2 \left(\frac{b^2}{3D_1} - \frac{h^2}{2D_1} + h \right) \right] \left(\frac{\beta \hat{w}}{l \frac{b}{a} \hat{\theta}} \right)^2 \cos \omega t$$

Uit het energieverlies t.g.v. straling van golven werd gevonden:

$$(8') \quad M_{u.f.} = - \frac{299 c_0 b k}{\hat{\theta} \omega} \omega^2 \left(1 - \frac{1}{2} \frac{D}{g} \omega^2 \right) \cos \omega t.$$

Stelt men deze twee momenten gelijk dan vindt men:

$$\left(\frac{c_0}{c} \right)^2 \frac{a+b}{a} \left(1 - \frac{1}{2} \frac{D}{g} \omega^2 \right) = \left(1 - \frac{\omega^2}{g} \left(h + \frac{b^2}{3D_1} - \frac{h^2}{2D_1} \right) \right) \beta^2$$

$$\beta = \frac{c_0}{c} \sqrt{\left(1 + \frac{b}{a} \right) \frac{1 - \frac{1}{2} \frac{D}{g} \omega^2}{1 - \frac{h + \frac{b^2}{3D_1} - \frac{h^2}{2D_1}}{g} \omega^2}} \quad (24')$$

Zoals te verwachten was is dit dezelfde formule als bij dompen (24).

9. De coëfficiënten a_s , b_s en c_s van de stampvergelijking.

Deze coëfficiënten worden bepaald met de drie formules (4').

Virtueel massa draagheids moment a_s

Voor a_s geldt:

$$a_s \ddot{\theta} = - (M_v)_{in-fase comp.}$$

$$\ddot{\theta} = - \omega^2 \hat{\theta} \sin \omega t$$

met (23'): ..

$$a_s = \gamma_m + \rho \gamma_0 b \left[\left(\frac{h}{a} + \frac{b}{3d} \right) - \left(\frac{h}{a} + \frac{\frac{b^2}{3} - \frac{h^2}{2}}{a D_1} \right) (1 - \alpha_s) \right]$$

Definieer de dimensieloze coefficient μ_s : $\mu_s = \frac{a_s}{\gamma_m}$

$$\mu_s = 1 + \rho \frac{\gamma_0}{\gamma_m} b \left[\left(\frac{h}{a} + \frac{b}{3d} \right) - \left(\frac{h}{a} + \frac{\frac{b^2}{3} - \frac{h^2}{2}}{a D_1} \right) (1 - \alpha_s) \right]$$

(25')

Dampings coefficient b_s

$$b_s \dot{\theta} = - (M_v + M_s)_{uit-fase comp.}$$

$$\dot{\theta} = \hat{\theta} \omega \cos \omega t$$

met (21') en (23'):

$$b_s = \frac{c}{c_0} \frac{\rho g F}{\omega^2} \frac{b}{a} c l \left(1 - \frac{h + \frac{b^2}{3 D_1} - \frac{h^2}{2 D_1 \omega^2}}{g} \right) \left(\frac{\beta \hat{w}}{\frac{b}{a} \hat{\theta} l} \right)^2$$

(26')

Hydrostatische coefficient c_s

$$c_s \theta = - (M_s)_{in-fase comp.}, \quad \theta = \hat{\theta} \sin \omega t$$

$$c_s = \rho g \gamma_0 \left(1 + \alpha_s \frac{b}{a} \right) \quad (27')$$

Ook bij het berekenen van de coëfficiënten van de stampvergelijking is gebruik gemaakt van een benaderingsformule voor de golf-amplitude \hat{w} in het kanaal:

In (19') is t_1 te schrijven als:

$$t_1 = \left(\frac{\left(\frac{1 + \frac{b}{a}}{\frac{c}{c_0}} \operatorname{tg} \frac{\omega}{c} l \right)^2}{\frac{p \operatorname{tg} \frac{\omega}{c} l}{\frac{c}{D_1} l} - 1} \right)^2 + \frac{\beta^4}{\left(\frac{p \operatorname{tg} \frac{\omega}{c} l}{\frac{c}{D_1} l} - 1 \right)^2} - \frac{2\beta^2 \left(\frac{1 + \frac{b}{a}}{\frac{c}{c_0}} \operatorname{tg} \frac{\omega}{c} l \right)^2}{\left(\frac{p \operatorname{tg} \frac{\omega}{c} l}{\frac{c}{D_1} l} - 1 \right)^2} + \frac{4\beta^2 \left(\beta \frac{c}{c_0} \operatorname{tg} \frac{\omega}{c} l \right)^2}{\frac{\operatorname{tg} \frac{\omega}{c} l}{\frac{\omega}{c}} - 1}$$

Stel hierin: $\beta \frac{c}{c_0} \approx \frac{1 + \frac{b}{a}}{\frac{c}{c_0}}$, $\frac{p}{\frac{c}{D_1} l} \approx \frac{1}{\frac{\omega}{c} l}$

dan is $t_1 = \left[\frac{\left(\frac{1 + \frac{b}{a}}{\frac{c}{c_0}} \operatorname{tg} \frac{\omega}{c} l \right)^2 + \beta^2}{\frac{p \operatorname{tg} \frac{\omega}{c} l}{\frac{c}{D_1} l} - 1} \right]^2$, (19') wordt hiermee

een volledig kwadraat waaruit volgt:

$$\hat{w} \approx \frac{\left[\left[1 - bh \left(\frac{b}{3h} + \frac{h}{2b} + \frac{d}{a} \right) \frac{\omega^2}{c^2} \right] \frac{\operatorname{tg} \frac{\omega}{c} l}{\frac{\omega}{c} l} - 1 \right] \frac{b}{a} \hat{\theta} l}{\sqrt{\beta^2 + \left(\frac{1 + \frac{b}{a}}{\frac{c}{c_0}} \operatorname{tg} \frac{\omega}{c} l \right)^2}} \quad (28')$$

Voor de afwijkingen geldt hetzelfde als voor (28).

6. Meetresultaten van de excitatieproeven.

Afmetingen van kanaal en schip.

- kanaal breedte $b_k = 50 \text{ cm}$
- water diepte $D = 15,9 \text{ cm}$
- diepgang schip $h = 12,9 \text{ cm}$
- breedte schip $2b = 32,25 \text{ cm}$
- aequivalente $\frac{1}{2}$ scheepslengte $l = \frac{F}{4b} = \frac{5716}{2 \cdot 32,25} = 89 \text{ cm}$
- eigen frequentie schip $\omega_e \approx 6 \text{ sec}^{-1}$
- (zowel dopen als stampen)

Dampen, damp amplitude $\hat{z} = 0,5 \text{ cm}$

ω (sec^{-1})	K_u (N)		golf t.p.v. midden schip		golf t.p.v. 0,58 m uit midden		golf t.p.v. sterven	
	in-fase amplitude	uit-fase amplitude	$\hat{\eta}$ (cm)	κ (rad)	$\hat{\eta}$	K	$\hat{\eta} = \hat{w}$	κ
1,05	26,5	8,7	0,25	$-0,55\pi$	0,25	$-0,50\pi$	0,20	$-0,30\pi$
1,26	23,7	24,0	0,45	$-0,55\pi$	0,35	$-0,45\pi$	0,30	$-0,30\pi$
1,58	28,6	26,0	0,65	$-0,55\pi$	0,55	$-0,50\pi$	0,45	$-0,25\pi$
2,09	32,6	39,9	1,10	$-0,50\pi$	0,85	$-0,40\pi$	0,60	$-0,10\pi$
2,51	52,5	50,0	1,60	$-0,40\pi$	1,05	$-0,30\pi$	0,75	$+0,10\pi$
3,14	72,7	27,1	1,90	$-0,25\pi$	1,15	$-0,15\pi$	0,60	$+0,25\pi$
3,72	65,2	9,2	1,80	$-0,10\pi$	0,95	$-0,05\pi$	0,35	$+0,50\pi$
4,52	-	-	1,65	0	0,70	0	0,10	$+0,65\pi$
5,71	-	-	1,45	$+0,15\pi$	0,60	$-0,20\pi$	0,25	$+0,10\pi$
6,61	-	-	0,95	$+0,30\pi$	0,95	$-0,05\pi$	0,30	$+0,40\pi$
7,66	-	-	0,50	$+0,10\pi$	1,10	0	0,15	$+0,50\pi$

Stampen, stampamplitude $\hat{\theta} = 0,01$

ω (sec^{-1})	M_u (Nm)		golf t.p.v. midden schip		golf 0,50 m uit midden		golf t.p.v. sterven	
	in-fase amplitude	uit-fase amplitude	$\hat{\eta}$ (cm)	κ	$\hat{\eta}$	κ	$\hat{\eta} = \hat{w}$	κ
1,05	14,6	2,5	0	-	0,15	$-0,70\pi$	0,15	$-0,55\pi$
1,25	12,6	2,3	0	-	0,20	$-0,65\pi$	0,20	$-0,50\pi$
1,57	12,4	4,8	0	-	0,25	$-0,70\pi$	0,35	$-0,50\pi$
2,09	11,9	6,6	0,10	$-0,6\pi$	0,35	$-0,60\pi$	0,35	$-0,35\pi$
2,52	11,2	8,8	0,15	$-0,3\pi$	0,45	$-0,55\pi$	0,50	$-0,30\pi$
3,14	11,1	13,5	0,15	$-0,2\pi$	0,70	$-0,60\pi$	0,65	$-0,20\pi$
3,71	13,8	18,1	0,20	0	1,00	$-0,55\pi$	0,85	$-0,05\pi$
4,51	-	-	0,20	$+0,2\pi$	1,60	$-0,35\pi$	1,00	$+0,20\pi$
5,76	-	-	0,20	$+0,6\pi$	1,50	$-0,15\pi$	0,40	$+0,50\pi$
7,56	-	-	0,25	$+1,2\pi$	1,00	$-0,10\pi$	0,50	$+0,30\pi$

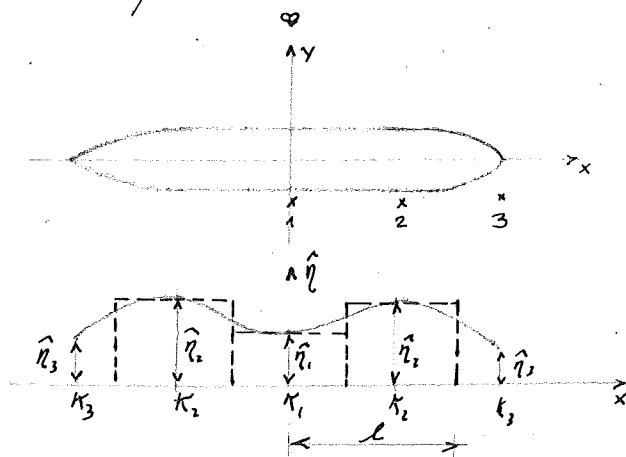
De golf ter plekke van het midden van het schip bleek meestal niet sinusvormig te zijn, zodat de aangegeven fase hoeken niet veel zin hebben.

Voor grafieken zie blz. 75 e.v.

7. Berekening van de coëfficiënten in damp- en stampvergelijking uit metingen.

De berekening vindt plaats met de formules (4) en (4'). De in-fase component van de (het) hydrostatische kracht (moment) wordt, ter bepaling van de coëfficiënten $a_d(s)$ en $c_d(s)$, berekend uit de golfamplituden en -fasen. De nauwkeurigheid van deze berekening is niet groot, er is op te weinig plaatsen de golf opgemeten. Bovendien zal blijken dat K_u en K_s van dezelfde orde van grootte zijn, zodat de, uit het verschil van beide, berekende K_v een nog grotere (relatieve) onnauwkeurigheid bezit. Hetzelfde geldt voor M_u , M_s en M_v . Omdat in de theorie uitgegaan is van een symmetrisch schip, is de asymmetrie t.o.v. het YOZ -vlak verwaarloosd.

Dampen.



In de figuur zijn de plaatsen aangegeven waar de golf gemeten is: $\hat{\eta}_1, \hat{\eta}_2, \hat{\eta}_3$
 k_1, k_2, k_3

Omdat de scheepsbreedte ter plaats van meetpunt 3

gelijk aan nul is, wordt dit punt niet in de berekening opgenomen. Als gemiddelde in-fase component van de golfhoeken wordt aangehouden:

$$(\hat{\eta} \cos k)_{\text{gem.}} = \frac{\hat{\eta}_1 \cos k_1 + 2 \hat{\eta}_2 \cos k_2}{3}$$

$$\begin{aligned} (K_s)_{\text{in-fase comp.}} &= \text{sgf} \left[(\hat{\eta} \cos k)_{\text{gem.}} + \hat{z} \right] \sin \omega t \\ &= \text{sgf} \hat{z} \left(1 + \frac{b}{a} \alpha_d \right) \sin \omega t = c_d \hat{z} \sin \omega t \end{aligned}$$

$$\text{dus: } \frac{c_d}{\text{sgf}} = 1 + \frac{b}{a} \alpha_d = 1 + \frac{(\hat{\eta} \cos k)_{\text{gem.}}}{\hat{z}}$$

$$(4): \quad a_d \ddot{z} = m \ddot{z} - (K_v)_{\text{in-fase comp.}} = (K_u + K_s)_{\text{in-fase comp.}}$$

$$\mu_d = \frac{a_d}{m} = \frac{(K_u + K_s)_{\text{in-fase comp.}}}{m \ddot{z}}$$

$$b_d = \frac{(K_u)_{\text{uit-fase comp.}}}{\dot{z}}$$

$$\text{dimensieloos: } \nu_d = \frac{b_d}{\frac{\text{sgfl}}{c_0}} = \frac{c_0 (K_u)_{\text{uit-fase comp.}}}{\text{sgfl} \dot{z}}$$

ω (sec^{-1})	$\hat{\eta}_1$ (cm)	ωk_1	$2\hat{\eta}_2$ (cm)	ωk_2	$(\hat{\eta} \omega k)_{\text{gem}}$ (cm)	$\text{sgf} / (\hat{\eta} \omega k)_{\text{gem}}^2$ (N)	μ_d	V_d	$1 + \frac{b}{a} d$
1,05	0,25	-0,22	0,50	0	-0,02	27,5	2,77	0,42	0,96
1,26	0,45	-0,22	0,70	0	-0,03	26,6	5,57	0,96	0,93
1,58	0,65	-0,22	1,10	0,06	-0,03	27,2	-1,71	0,83	0,95
2,09	1,10	-0,06	1,70	0,31	+0,15	37,2	3,21	0,96	1,30
2,51	1,60	0,37	2,10	0,59	+0,61	63,5	5,23	0,99	2,22
3,14	1,90	0,75	2,30	0,91	+1,17	96	7,20	0,43	3,36
3,72	1,80	0,94	1,90	0,98	+1,20	97	7,35	0,13	3,39

De spreiding in de waarden voor de virtuele massa-coëfficiënt μ_d blijkt groot te zijn.

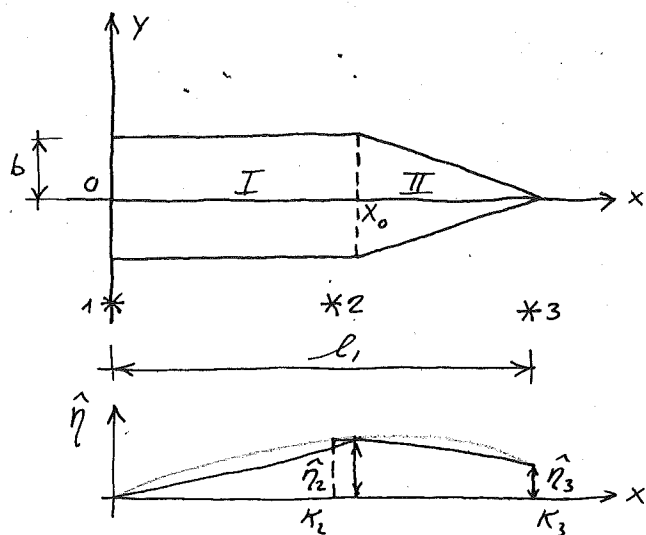
Omdat in dit geval de verandering van μ_d met de hoeknelheid ω niet sterk is, volgens de theorie, heeft het zin om een gemiddelde waarde van bovenstaande massa-coëfficiënten te berekenen en te vergelijken met de theoretisch berekende.

De nauwkeurigheid van deze gemiddelde waarde is groter dan van de afzonderlijke waarden.

$$\begin{aligned} (\mu_d)_{\text{gem.}} &= \frac{2,77 + 5,57 - 1,71 + 3,21 + 5,23 + 7,20 + 7,35}{7} \\ &= 4,22 \end{aligned}$$

Stampen.

Bij het stampen is het nog lastiger om met de enkele meetpunten het hydrostatisch moment te bepalen. De scheepsdoorsnede t.p.v. de waterlijn is vervangen gedacht door een rechthoek en twee driehoeken met hetzelfde oppervlak als de oorspronkelijke doorsnede, zie figuur.



$$x_0 + \frac{1}{2}(l_1 - x_0) = l$$

$$x_0 + \frac{1}{2}(113 - x_0) = 89$$

$$x_0 = 64 \text{ cm.}$$

De verschillen tussen meetpunt 2 en 3 zijn niet groot, daarom zijn voor de golfamplitude en -fase t.p.v. $x_0 = 64$ cm die van meetpunt 2 ($x = 58$ cm) aangehouden.

$$M_s = 2 \int_0^l \rho g \cdot 2b x \eta(x,t) dx$$

De in-fase amplitude

$$\hat{M} \text{ is: } \hat{M} = 2 \rho g \int_0^l 2b x \hat{\eta} \cos kx dx$$

$$\hat{M} = \rho g \gamma_0 \hat{\theta} + \hat{M}_I + \hat{M}_{II}$$

$$\hat{M}_I = 4 b \rho g \int_0^{x_0} x \cdot \frac{x}{x_0} \hat{\eta}_2 \omega \kappa_2 dx = \frac{4}{3} b \rho g x_0^2 \hat{\eta}_2 \omega \kappa_2$$

$$\hat{M}_{II} = 4 \rho g \int_0^{l_1 - x_0} \frac{\hat{\eta}_2 \omega \kappa_2 + \hat{\eta}_3 \omega \kappa_3}{2} (x' + x_0) b \left(1 - \frac{x'}{l_1 - x_0}\right) dx$$

uitgewerkt:

$$\hat{M}_{II} = \frac{2}{3} \rho g b (\hat{\eta}_2 \omega \kappa_2 + \hat{\eta}_3 \omega \kappa_3) (l_1 - x_0) \left(\frac{1}{2} l_1 + x_0\right)$$

Invullen van de numerieke waarden levert:

$$\hat{M} = 17,8 + 29,7 \hat{\eta}_2 \omega \kappa_2 + 12,4 \hat{\eta}_3 \omega \kappa_3$$

($\hat{\eta}_{2,3}$ in cm geeft \hat{M} in Nm)

De berekening van de coëfficiënten a_s, b_s, c_s verloopt als bij dampen, er wordt gebruik gemaakt van de formules (4').

$$\mu_s = \frac{a_s}{m} = \frac{(M_u)_{in-fase comp.} - \hat{M} \sin \omega t}{J_m \ddot{\theta}}$$

$$\nu_s = \frac{b_s}{\frac{\rho g \gamma_0 l}{c_0}} = - \frac{c_0}{\rho g \gamma_0 l} \frac{(M_u)_{uit-fase component}}{\ddot{\theta}}$$

$$1 + \frac{b}{a} \nu_s = \frac{c_s}{\rho g \gamma_0} = \frac{\hat{M}}{\rho g \gamma_0 \hat{\theta}}$$

ω (sec^{-1})	$\hat{n}_2 \omega k_2$ (cm)	$\hat{n}_3 \omega r_{i3}$ (cm)	\hat{M} (Nm)	μ_s	V_s	$1 + \frac{b}{a} d_s$
1,05	-0,09	-0,03	14,7	0	0,19	0,83
1,25	-0,08	-0,02	15,1	8	0,15	0,85
1,57	-0,15	0	13,3	2	0,24	0,75
2,09	-0,10	+0,15	16,7	5,5	0,25	0,94
2,52	-0,05	+0,30	20,0	7	0,28	1,13
3,14	-0,19	+0,52	18,6	4,5	0,34	1,05
3,71	-0,12	+0,84	24,6	4	0,37	1,38

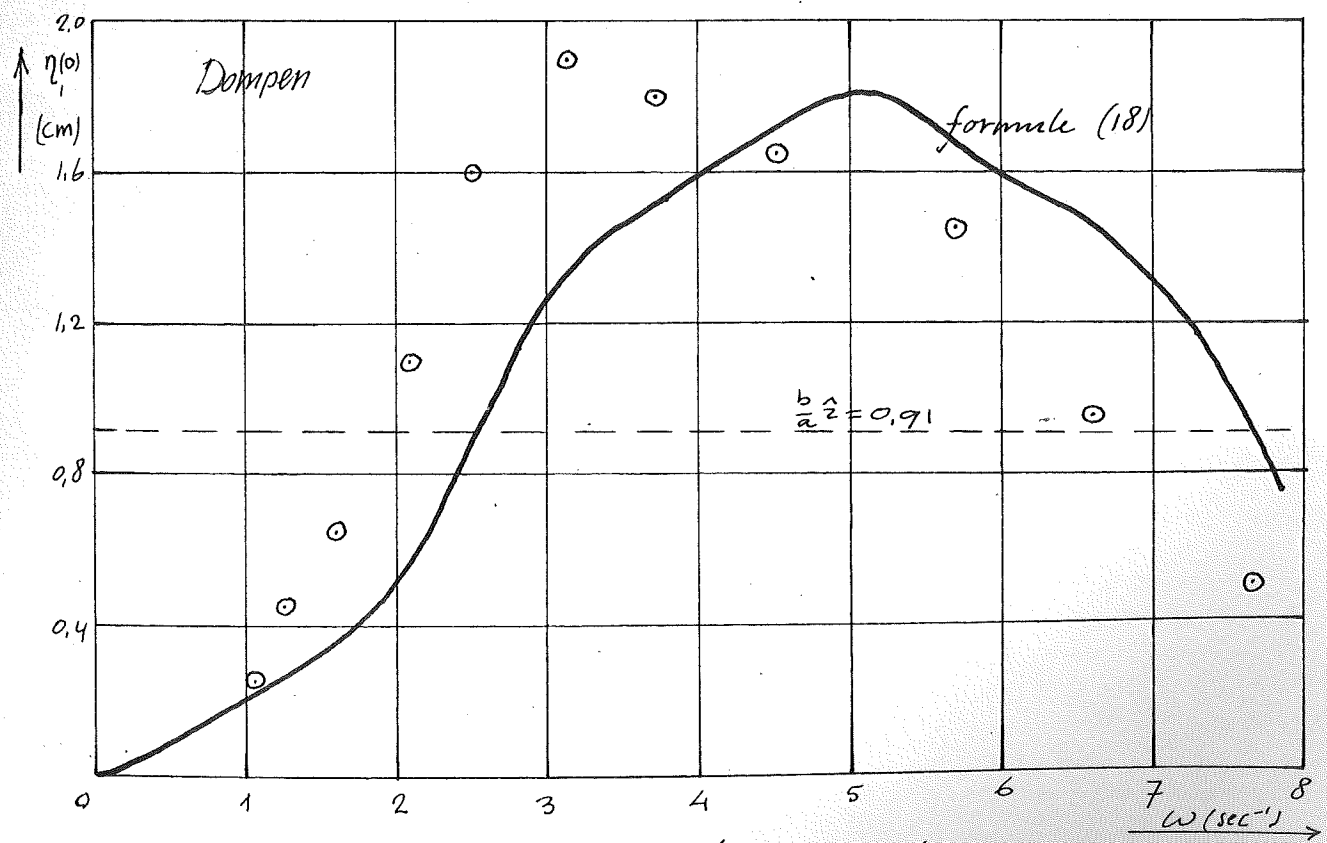
Ook hier blijkt met name de bepaling van μ_s onnauwkeurig te zijn. De gemiddelde waarde is hier:

$$(\mu_s)_{\text{gem.}} = \frac{0 + 2 + 5,5 + 7 + 4,5 + 4}{7} = 4,5$$

8. Grafieken.

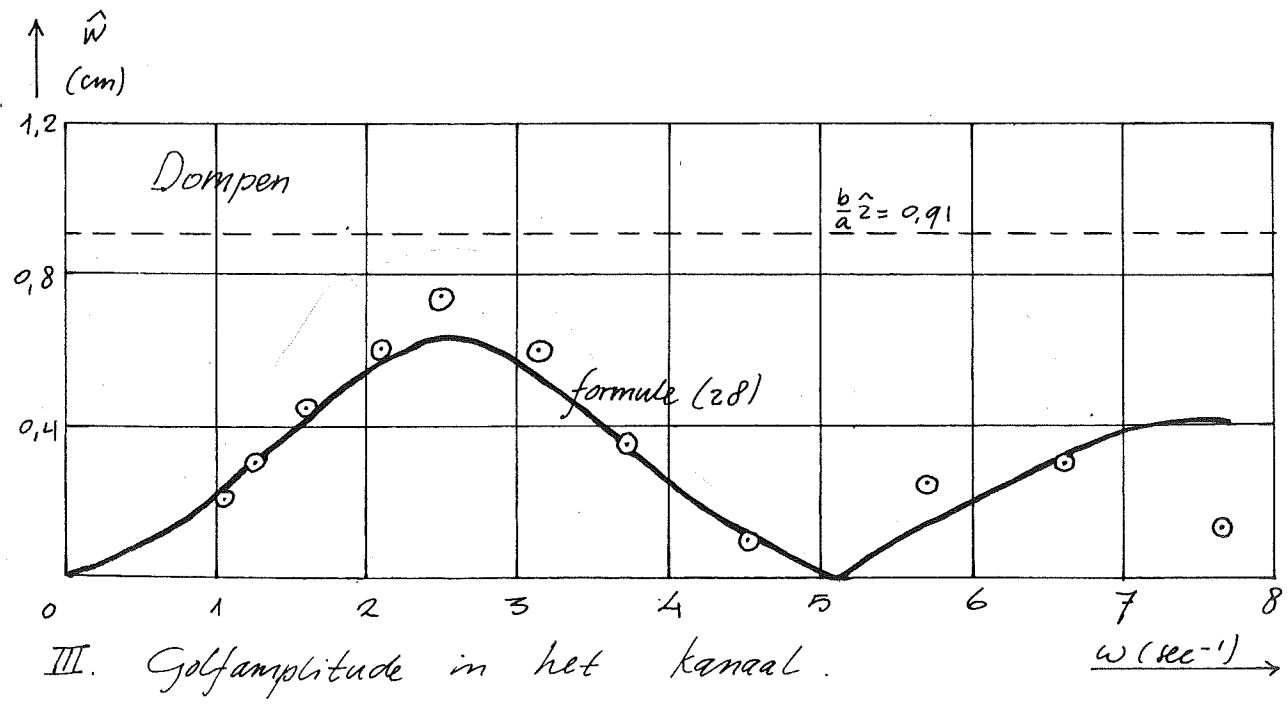
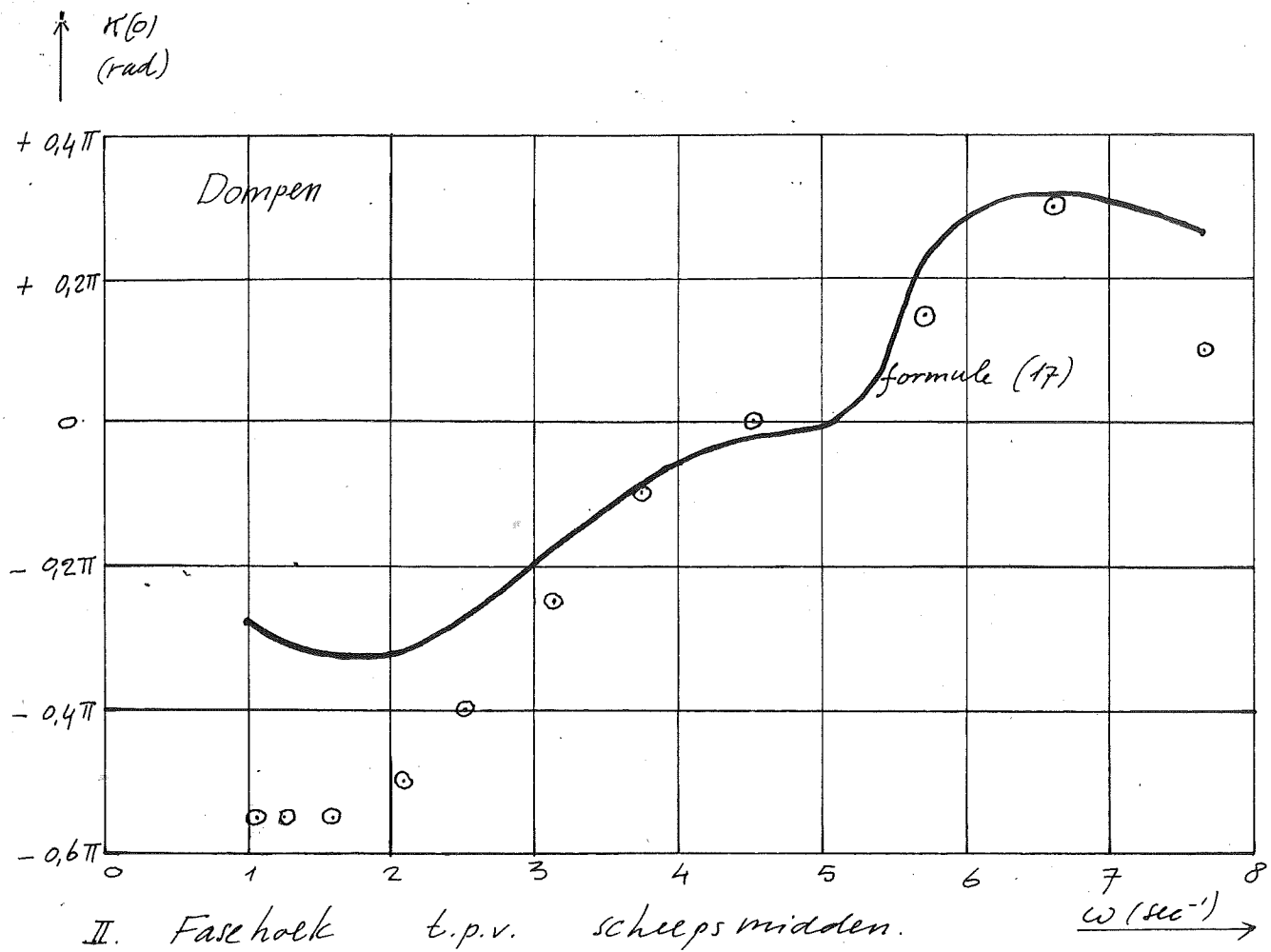
Voor het dompen werden de gemeten, of uit metingen bepaalde, waarden voor $\eta(\omega)$, $K(\omega)$, \hat{w} , μ_d , V_d en $1 + \frac{b}{a} \alpha_d$ met formules gecontroleerd. Deze berekening is uitgevoerd voor hoekfrequenties liggend tussen 0 en de eigenfrequentie van het schip. Bij niet-harmonische scheepsbewegingen blijft n.l. dit gebied van belang te zijn.

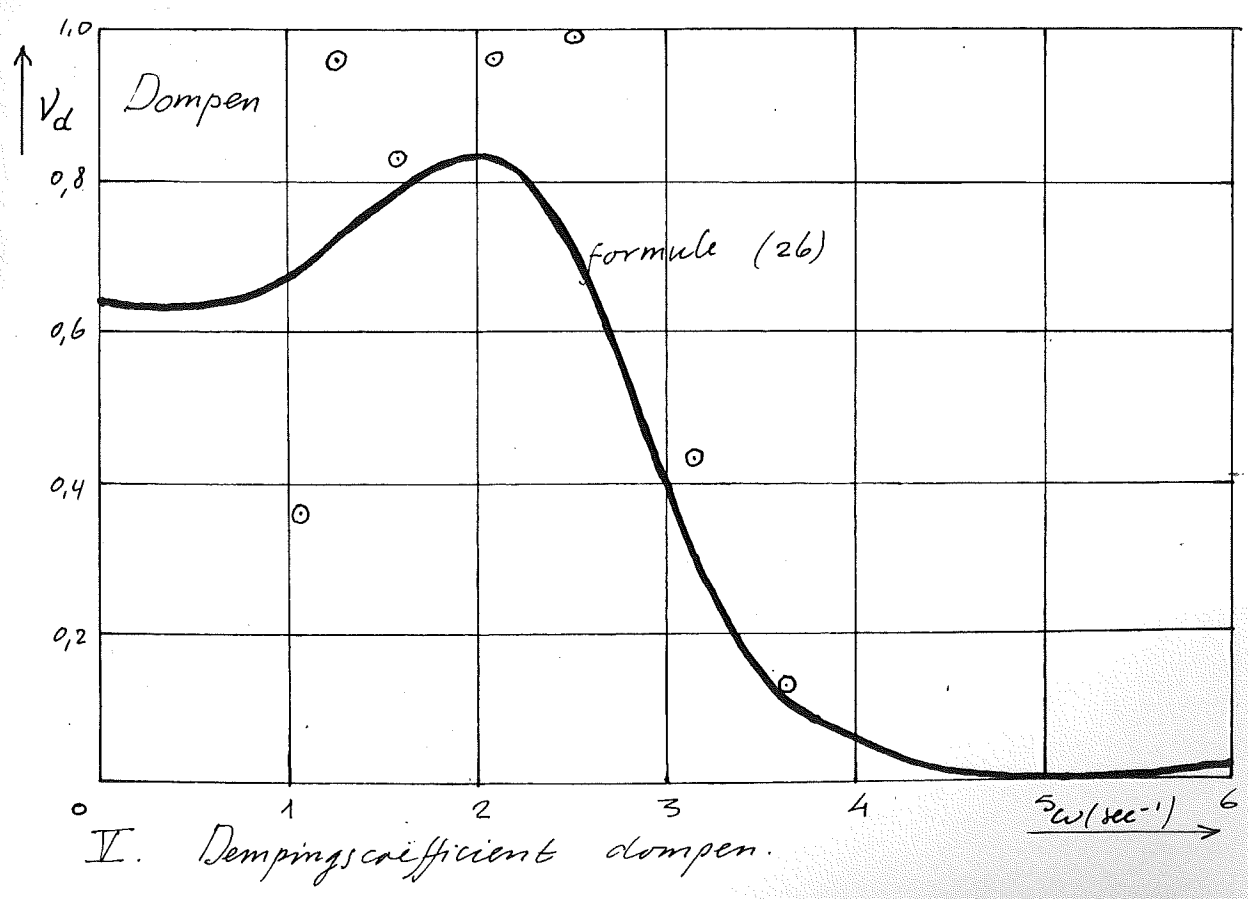
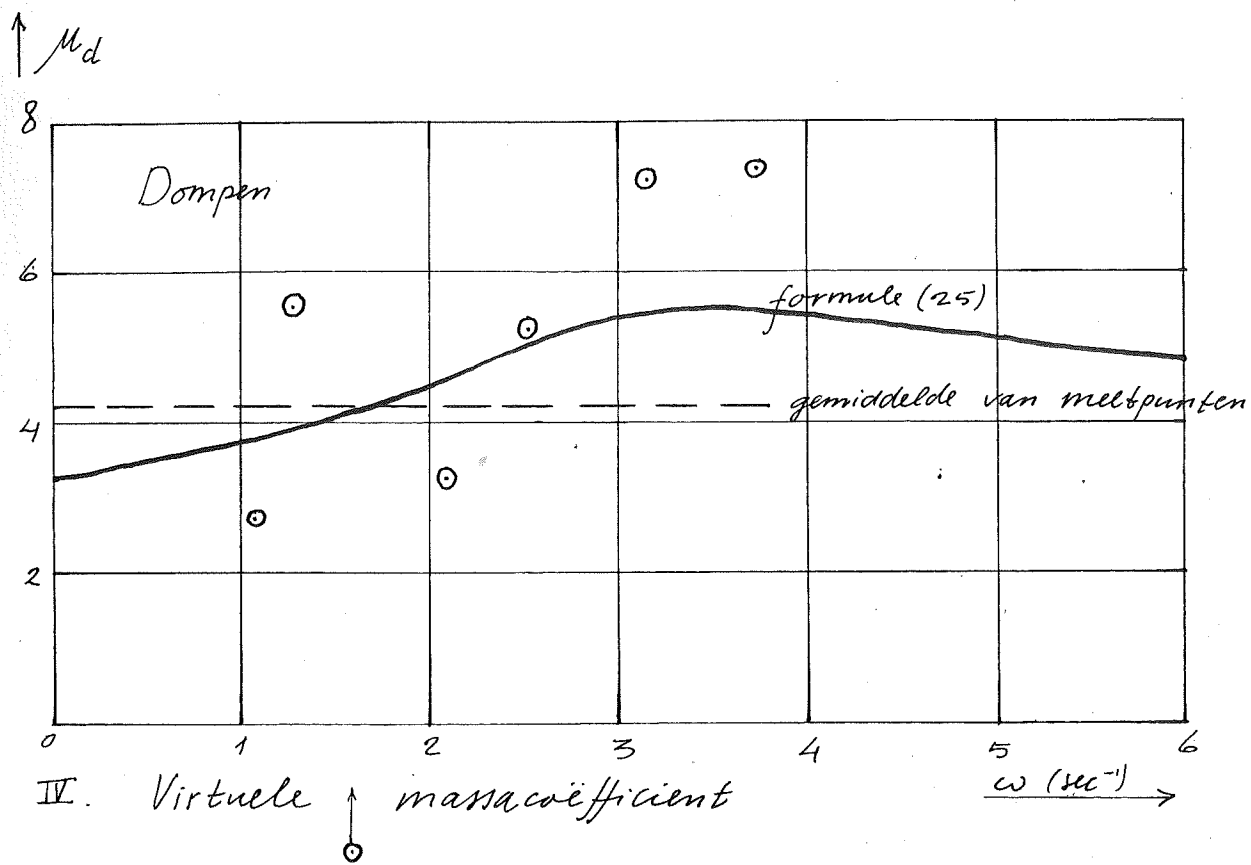
Voor het stampen zijn de waarden voor \hat{w} , μ_s , V_s en $1 + \frac{b}{a} \alpha_s$ met formula gecontroleerd. De resultaten zijn weergegeven in grafieken.

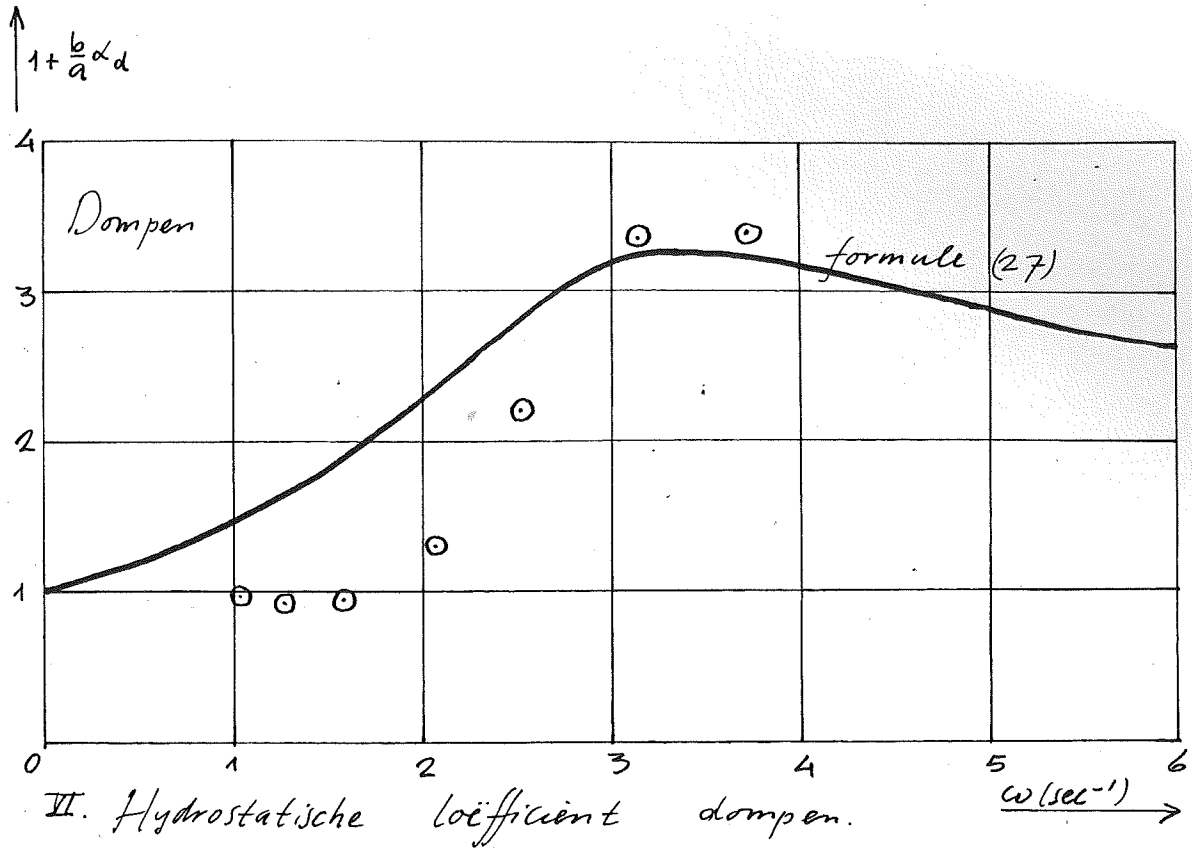


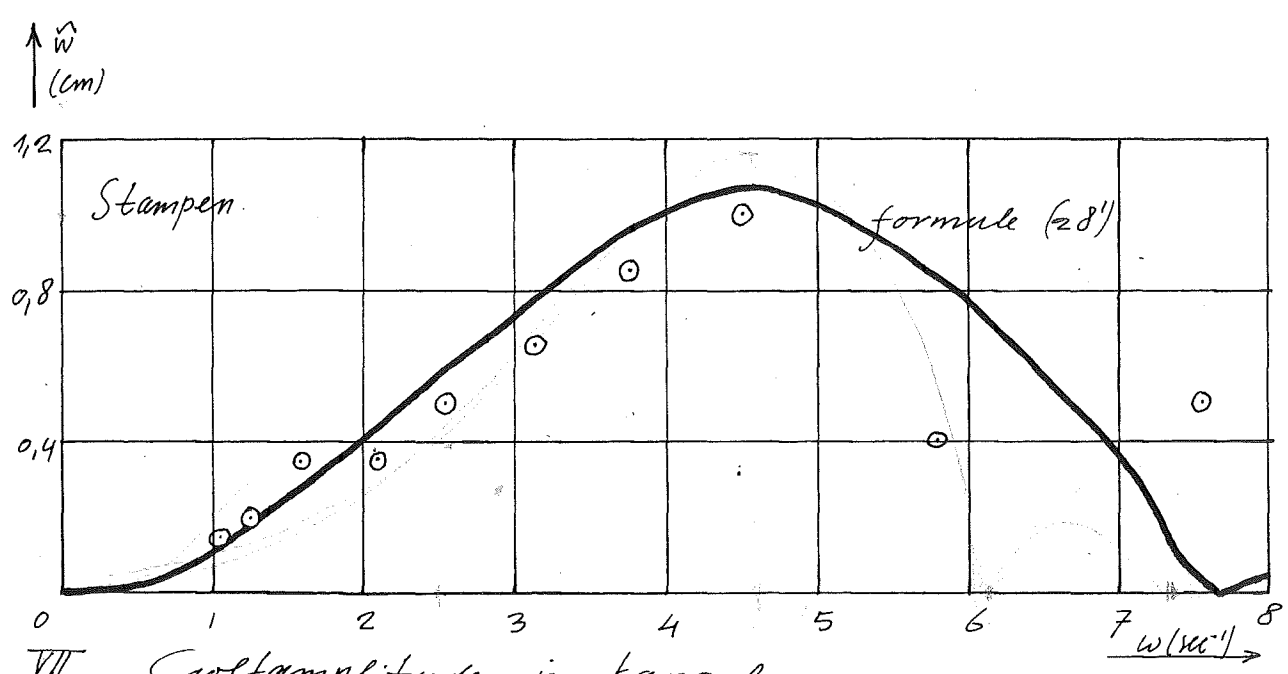
I. Golfamplitude t.p.v. scheeps midden

⊙ meetpunt.

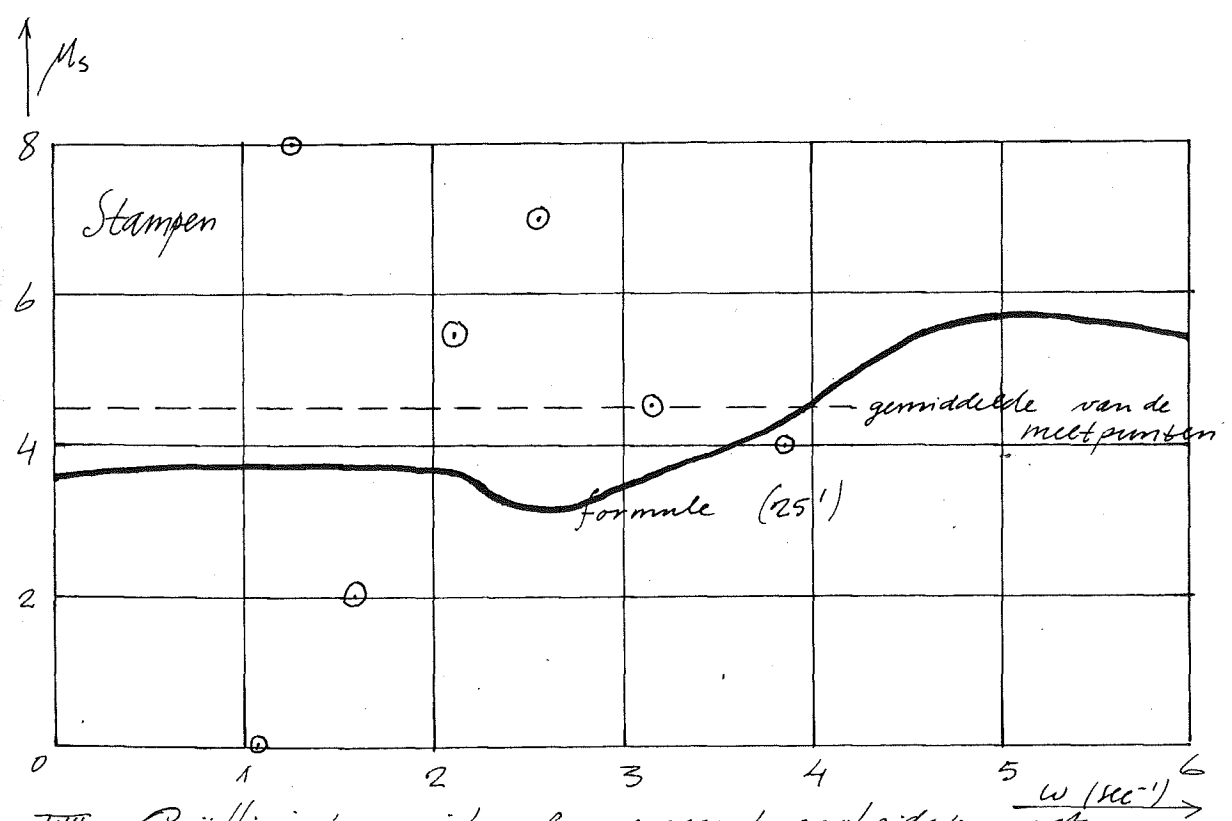




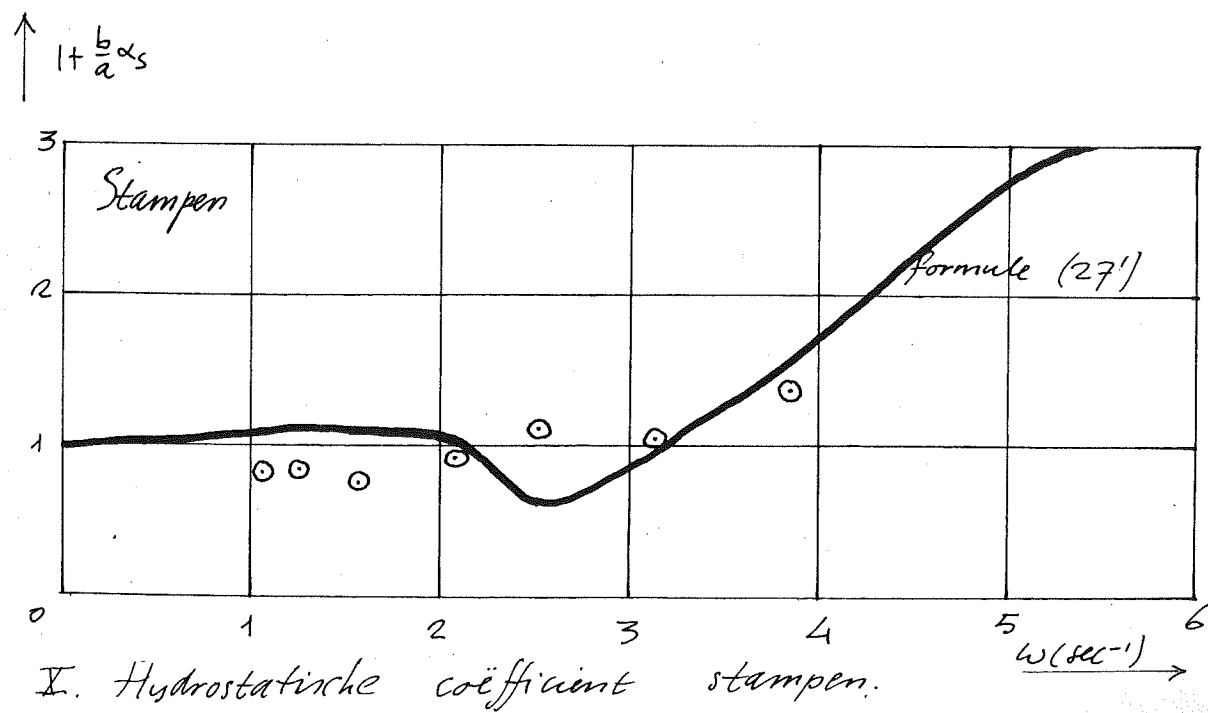
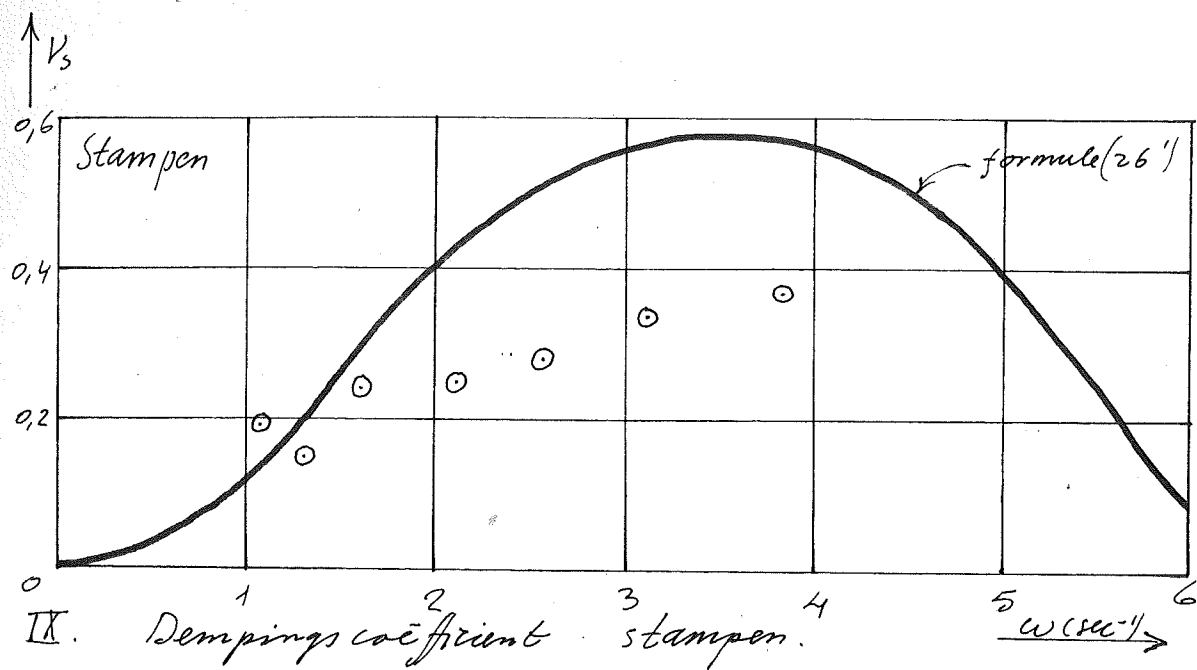




VII. Golfamplitude in kanaal



VIII. Coefficient virtuel mana traagheidsmoment.



9. Vergelijking tussen meting en theorie

In de theorie maar ook in de metingen kunnen afwijkingen ontstaan t.o.v. het geschematiseerde geval dompend of stampend schip in een oneindig lang kanaal.

In de theorie kunnen fouten oorzaken zijn:

1. Het niet geheel voldoen aan de veronderstellingen 1, 3, 4 op blz. 5

Vooraf voor de stroomsnelheid zullen afwijkingen in dwarsrichting ontstaan.

2. Het rekenen aan een sterk geschematiseerde scheepsvorm

3. Voor grotere hoekfrequenties kunnen niet-lineaire effecten, zoals kwadratische versnellings termen en viscositeit een rol spelen

4. Zowel bij dompen als stampen is als vierde randvoorwaarde genomen dat de golf fasen bij de stevens zonder knik over gaan in die van de lopende golf in het kanaal.

Dit gaat bij benadering op voor kleine
 hoekfrequenties, zodat bij toenemende ω
 steeds grotere afwijkingen zullen optreden.
 5. Voor de traagheidskracht K_v werd
 in de bewegingsvergelijking een benaderende
 veronderstelling gedaan die na berekening
 van K_v niet bleek op te gaan. Hetzelfde
 geldt voor het moment M_v bij het
 stampen.

In de metingen kunnen fouten ontstaan
 zijn doordat gemeten is in een goot van
 eindige lengte. Hoewel gebruik gemaakt
 is van zijn „strandjes” om de reflecties
 tegen de eindwanden van de goot tegen te
 gaan kan hier door toch het golfbeeld
 verstoord zijn. Het was niet steeds mogelijk
 de meting te verrichten voordat de teruggekaatste
 golf het schip bereikte. Door inspel ver-
 schijnselen kon pas na ± 1 periode begonnen
 worden met meten, bovendien is voor het
 meten van de krachten ook een gehele
 periode nodig. Gevolg hiervan is dat
 de metingen met hoeknelheden \approx ca. 2 sec^{-1}
 beïnvloed kunnen zijn door terugkaatsing.

De overeenkomst tussen gemeten en berekende waarden blijkt in sommige gevallen goed, in andere gevallen minder goed te zijn.

De verschillen in grafieken I en II zijn vrij groot; hiermee hangen de afwijkingen in grafiek III samen.

Omdat zowel bij dompen als stampen de dempingscoëfficiënt evenredig is met het kwadraat van de golfamplitude in het kanaal zijn de afwijkingen in de dempingscoëfficiënten groter dan die in de golfamplituden \bar{w} .

Het grote verschil tussen gemeten en berekende waarden voor V_s (grafiek IX) is hiermee geheel te verklaren: gaat men uit van de gemeten waarden voor \bar{w} dan blijken gemeten en berekende waarden dicht bij elkaar te liggen.

10. Niet-harmonische scheepsbewegingen

Het gedrag van het lineaire systeem, waarvan nu de coëfficiënten in de bewegingsvergelijkingen bekend zijn afhankelijk van de hoekfrequentie ω , onder invloed van een niet-harmonische kracht kan in principe worden berekend met een Fourier-transformatie.

Een meer directe methode wordt echter verkregen door, evenals bij de harmonische bewegingen, de hydrostatische en hydrodynamische krachten en momenten uit de waterbeweging te berekenen en deze in de bewegingsvergelijkingen op te nemen. Deze methode kan op eenvoudige wijze worden ingepast in een berekening met differenties van de waterbeweging, zoals dit in [1] gegeven wordt.

Met deze berekening kunnen de golfhoogten $\eta(x,t)$ en snelheden in x-richting $v_x(x,t)$ worden bepaald.

Op dezelfde wijze als in 5.3 en 5.4 bepalen we nu de hydrodynamische kracht en het hydrodynamische moment. Door controlemetingen is daar aangetoond dat deze berekenings-

wijze bruikbaar is. Alle vergelijkingen zijn nu gelineariseerd.

Waterbeweging naast schip:

continuïteitsverg.: $\frac{\partial v_x}{\partial x} + \frac{\partial v_z}{\partial z} = 0$

$$\frac{\partial v_z}{\partial z} = -\frac{\partial v_x}{\partial x}, \quad v_z = -\frac{\partial v_x}{\partial x} z + C_1(x,t)$$

Voor $z = h + \eta \approx h$ is $v_z = \frac{\partial \eta}{\partial t}$, waaruit:

$$C_1(x,t) = \frac{\partial v_x}{\partial x} h + \frac{\partial \eta}{\partial t}$$

$$v_z(x,z,t) = (h-z) \frac{\partial v_x}{\partial x} + \frac{\partial \eta}{\partial t}$$

bewegingsverg.: $\frac{1}{\rho} \frac{\partial p}{\partial z} = -\frac{\partial v_z}{\partial t}$

$$\frac{1}{\rho} \frac{\partial p}{\partial z} = -(h-z) \frac{\partial^2 v_x}{\partial x \partial t} - \frac{\partial^2 \eta}{\partial t^2}, \quad \frac{1}{\rho} p = \frac{(h-z)^2}{2} \frac{\partial^2 v_x}{\partial x \partial t} - \frac{\partial^2 \eta}{\partial t^2} z + C_2(x,t)$$

Voor $z = h + \eta \approx h$ is $p = 0$, dus

$$C_2(x,t) = \frac{\partial^2 \eta}{\partial t^2} h$$

de druk t.p.v. de bodem is:

$$p(x,0,t) = \rho \left[\frac{1}{2} h^2 \frac{\partial^2 v_x}{\partial x \partial t} + h \frac{\partial^2 \eta}{\partial t^2} \right] \quad (a)$$

Waterbeweging onder schip:

continuïteitsverg.: $\frac{\partial v_x}{\partial x} + \frac{\partial v_y}{\partial y} + \frac{\partial \dot{x}}{d} + \frac{\dot{z}}{d} = 0$

(stampen en dompen)

$$\frac{\partial v_y}{\partial y} = -\frac{\partial v_x}{\partial x} - \frac{\partial \dot{x} + \dot{z}}{d}$$

$$v_y = - \left(\frac{\partial v_x}{\partial x} + \frac{\partial \dot{x} + \ddot{z}}{d} \right) y \quad \left([v_y]_{y=0} = 0 \right)$$

bewegingsvergelijking: $\frac{1}{\rho} \frac{\partial p}{\partial y} = - \frac{\partial v_y}{\partial t}$

$$\frac{1}{\rho} \frac{\partial p}{\partial y} = \left(\frac{\partial^2 v_x}{\partial x \partial t} + \frac{\partial \dot{x} + \ddot{z}}{d} \right) y, \quad \frac{1}{\rho} p = \left(\frac{\partial^2 v_x}{\partial x \partial t} + \frac{\partial \dot{x} + \ddot{z}}{d} \right) \frac{y^2}{2} + C_3(x, t)$$

Voor $y=b$ wordt de druk gegeven door verg. (a):

$$\rho \left[\frac{1}{2} h^2 \frac{\partial^2 v_x}{\partial x \partial t} + h \frac{\partial^2 \eta}{\partial t^2} \right] = \rho \left[\left(\frac{\partial \dot{x} + \ddot{z}}{d} + \frac{\partial^2 v_x}{\partial x \partial t} \right) \frac{b^2}{2} + C_3(x, t) \right]$$

$$p = \rho \left[- \left(\frac{b^2 - y^2}{2} \right) \left(\frac{\partial \dot{x} + \ddot{z}}{d} + \frac{\partial^2 v_x}{\partial x \partial t} \right) + \frac{1}{2} h^2 \frac{\partial^2 v_x}{\partial x \partial t} + h \frac{\partial^2 \eta}{\partial t^2} \right]$$

De kracht K op een moot met lengte 1 van de scheepsbodem bedraagt:

$$K = \int_{-b}^b p \, dy$$

$$K = \rho \left[\left(b h^2 - \frac{2}{3} b^3 \right) \frac{\partial^2 v_x}{\partial x \partial t} - \frac{2}{3} b^3 \frac{\partial \dot{x} + \ddot{z}}{d} + 2 b h \frac{\partial^2 \eta}{\partial t^2} \right]$$

De totale hydrodynamische kracht bedraagt:

$$K_v = \int_{-l}^l K \, dx$$

$$K_v = \rho \int_{-l}^l \left[\left(b h^2 - \frac{2}{3} b^3 \right) \frac{\partial^2 v_x}{\partial x \partial t} - \frac{2}{3} b^3 \frac{\partial \dot{x} + \ddot{z}}{d} + 2 b h \frac{\partial^2 \eta}{\partial t^2} \right] dx$$

Omdat in dit geval het schip symmetrisch is t.o.v. het vlak $x=0$ levert de term met $\ddot{\theta}$ geen bijdrage, zodat:

$$K_v(t) = \rho \int_{-l}^l 2b \left[\left(\frac{h^2}{2} - \frac{b^2}{3} \right) \frac{\partial^2 v_x}{\partial x \partial t} - \frac{b^2}{3} \frac{\ddot{z}}{d} + h \frac{\partial^2 \eta}{\partial t^2} \right] dx \quad (b)$$

Het hydrodynamische moment M_v bedraagt

$$M_v = \int_{-l}^l kx dx$$

Om dezelfde reden als bij k_v levert hier de term met \ddot{z} geen bijdrage.

$$M_v(t) = \rho \int_{-l}^l 2bx \left[\left(\frac{h^2}{2} - \frac{b^2}{3} \right) \frac{\partial^2 v_x}{\partial x \partial t} - \frac{b^2}{3} \frac{\partial \dot{x}}{\partial t} + h \frac{\partial^2 \eta}{\partial t^2} \right] dx \quad (c)$$

De hydrostatische kracht k_s is:

$$k_s = \int_{-l}^l \rho g \cdot 2b(\eta - z) dx \quad (d)$$

Het hydrostatische moment M_s is:

$$M_s = \int_{-l}^l \rho g \cdot 2b(\eta - z)x dx \quad (e)$$

(Evenals bij k_v en M_v vallen termen met θ resp. z weg)

Met (b) t/m (e) worden de bewegingsverg.:

$$\left(m + \frac{2}{3} \rho \int_{-l}^l \frac{b^3}{x} dx \right) \ddot{z} + \rho g F z = \rho \int_{-l}^l 2b \left[g\eta + h \frac{\partial^2 \eta}{\partial t^2} + \left(\frac{h^2}{2} - \frac{b^2}{3} \right) \frac{\partial^2 v_x}{\partial x \partial t} \right] dx$$

$$\left(J_m + \frac{2}{3} \rho \int_{-l}^l x \frac{b^3}{x} dx \right) \ddot{\theta} + \rho g \gamma_0 \theta = \rho \int_{-l}^l 2bx \left[g\eta + h \frac{\partial^2 \eta}{\partial t^2} + \left(\frac{h^2}{2} - \frac{b^2}{3} \right) \frac{\partial^2 v_x}{\partial x \partial t} \right] dx \quad (f)$$

$$F = \int_{-l}^l 2b dx$$

$$\gamma_0 = \int_{-l}^l 2bx^2 dx$$

De stampverg. van (f) geldt als het draaipunt samenvalt met het zwaartepunt. Voor een niet-symmetrisch schip waarvan het draaipunt een afstand e boven het zwaartepunt ligt worden de vergelijkingen:

$$\left\{ \begin{aligned} & \left(m + \frac{2}{3} \rho \int_{-l}^l \frac{b^3}{a} dx \right) \ddot{z} + \rho g F z + \left(\frac{2}{3} \rho \int_{-l}^l x \frac{b^3}{a} dx \right) \ddot{\theta} + \left(\rho g \int_{-l}^l 2bx dx \right) \theta = \\ & = \rho \int_{-l}^l 2b \left[g\eta + h \frac{\partial^2 \eta}{\partial t^2} + \left(\frac{h^2}{2} - \frac{b^2}{3} \right) \frac{\partial^2 v_x}{\partial x \partial t} \right] dx \\ & \left(M + me^2 + \frac{2}{3} \rho \int_{-l}^l x^2 \frac{b^3}{a} dx \right) \ddot{\theta} + \left[\rho g \frac{y_0}{a} + m(g + \ddot{z})e \right] \theta + \\ & + \left(\frac{2}{3} \rho \int_{-l}^l x \frac{b^3}{a} dx \right) \ddot{z} + \left(\rho g \int_{-l}^l 2bx dx \right) z = \\ & = \rho \int_{-l}^l 2bx \left[g\eta + h \frac{\partial^2 \eta}{\partial t^2} + \left(\frac{h^2}{2} - \frac{b^2}{3} \right) \frac{\partial^2 v_x}{\partial x \partial t} \right] dx. \end{aligned} \right. \quad (f')$$

Hierin is $g + \ddot{z} \approx g$ omdat $\ddot{z} \ll g$.

Met de vergelijkingen (f) in differenties geschreven, opgenomen in het ALGOL-programma voor de berekening van de waterbeweging (zie [1] en blz. 100) is het stampen en dompen te berekenen.

Omdat er weinig tijd beschikbaar was voor het programmeren van deze berekening is gezocht naar een eenvoudiger, benaderende berekeningsmethode. Hiertoe wordt het schip, voor wat betreft de hydrodynamische krachten en momenten, weer vervangen gedacht door een schip met rechthoekige horizontale doorsnede. De hydrodynamische drücken zijn bij de optredende bewegingen belangrijk kleiner dan de hydrostatische.

Met de gecombineerde continuïteitsverg. (9) en (9') wordt $\frac{\partial^2 v_x}{\partial x \partial t}$ uit (f) geëlimineerd:

$$D_1 \frac{\partial v_x}{\partial x} + \frac{\partial \eta}{\partial t} + \frac{b}{a} (\dot{z} + \ddot{x}) = 0.$$

differentiëren naar t :

$$\frac{\partial^2 v_x}{\partial x \partial t} = - \frac{1}{D_1} \left[\frac{\partial^2 \eta}{\partial t^2} + \frac{b}{a} (\ddot{z} + \ddot{x}) \right]$$

De vergelijkingen (f) worden hiermee:

$$\begin{cases} m \left[1 + \frac{b}{h} \left(\frac{b}{3d} + \frac{\frac{h^2}{2} - \frac{b^2}{3}}{a D_1} \right) \right] \ddot{z} + \rho g F z = 2 \rho \cdot \int_{-l}^l \left(g \eta + \left(h - \frac{\frac{h^2}{2} - \frac{b^2}{3}}{D_1} \right) \frac{\partial^2 \eta}{\partial t^2} \right) dx \\ \left[J_m + \rho \gamma_0 b \left(\frac{b}{3d} + \frac{\frac{h^2}{2} - \frac{b^2}{3}}{a D_1} \right) \right] \ddot{\theta} + \rho g \gamma_0 \theta = 2 \rho \cdot \int_{-l}^l b x \left(g \eta + \left(h - \frac{\frac{h^2}{2} - \frac{b^2}{3}}{D_1} \right) \frac{\partial^2 \eta}{\partial t^2} \right) dx. \end{cases}$$

Als virtuele massa coëfficiënten verschijnen dezelfde waarden als uit (25) en (25') volgt voor $w=0$.

Als een translatiegolf het schip passeert groeien dompkraacht en stampmoment geleidelijk aan en nemen weer langzaam af. De scheepsbewegingen zijn daarom relatief langzaam t.o.v. de eigenfrequentie. We veronderstellen daarom dat de versnellingsterm met $\frac{\partial^2 \eta}{\partial t^2}$ te verwaarlozen is t.o.v. de hydrostatische term met $g\eta$. (Dit gaat niet op als $\eta \approx 0$, terwijl $\frac{\partial^2 \eta}{\partial t^2} \neq 0$).

Voor het hier gemeten en berekende geval (zie blz. 92) werd een eigenfrequentie voor dompen en stampen berekend:

$\omega_e \approx 6,5 \text{ sec}^{-1}$. De geschatte frequentie van de eerste harmonische van de dompkraacht bedraagt: $\omega \approx 0,5 \text{ sec}^{-1}$ en van het stampmoment: $\omega \approx 1,0 \text{ sec}^{-1}$.

De vereenvoudigde bewegingsvergelijkingen worden dus:

$$\begin{cases} \left[m + \rho F b \left(\frac{b}{3d} + \frac{\frac{b^2}{2} - \frac{b^2}{3}}{a D_1} \right) \right] \ddot{z} + \rho g F z = \rho g \int_{-l}^l 2b \eta dx \\ \left[J_m + \rho J_0 b \left(\frac{b}{3d} + \frac{\frac{b^2}{2} - \frac{b^2}{3}}{a D_1} \right) \right] \ddot{\theta} + \rho g J_0 \theta = \rho g \int_{-l}^l 2b x \eta dx \end{cases} \quad (9)$$

11. Meting en berekening van de dompen- en stampbeweging van een schip onder invloed van een translatie golf.

Proef.

In een goot wordt met een schuif een translatie golf opgewekt, deze wordt geregistreerd evenals de vertikale uitwijking en de helling van het schip als functie van de tijd. Het schip wordt op zijn plaats gehouden door een stang, vertikaal bevestigd in een wrijvingsarm lager, een zgn. ball bushing, die scharnierend in het midden van het schip aangebracht is. De as van het scharnier loopt in y-richting.

De hellingen van het schip worden gemeten met een gyroskoop, de vertikale uitwijkingen door een golfhoogtemeter, vastgemaakt aan bovengenoemde stang, in een potje met stilstaand water te hangen.

Door terugkaatsing tegen de eindschotten van de goot zijn de metingen slechts bruikbaar totdat terugkomende golven hen beïnvloeden, in dit geval tot 4,6 sec na het begin van de meting. Dit geldt voor de opgewekte golf. Het schip ligt in de as van het kanaal

Gegevens van de opstelling.

grootlengte = ± 1000 cm

" breedte = 40 cm

$b = 15$ cm

$c = 180$ cm/s

$h = 20,4$ cm

$c_0 = 152$ cm/s

$D = 23,6$ cm

$F = 5860$ cm²

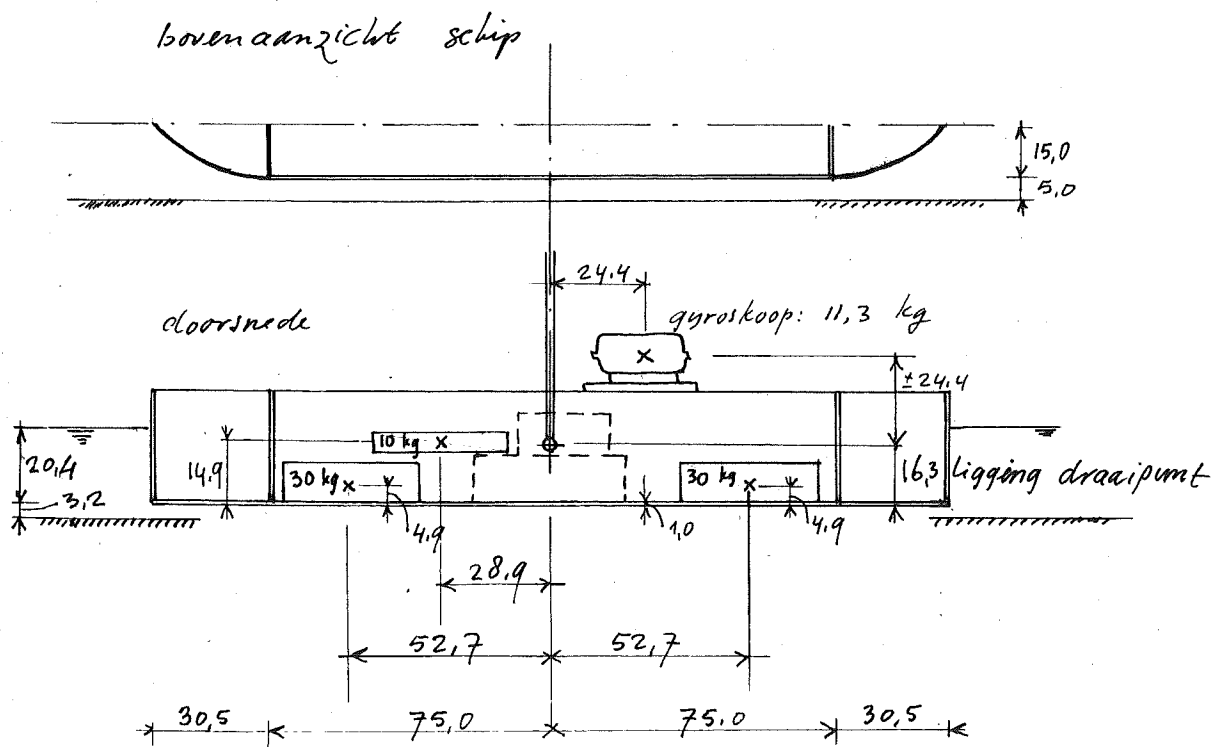
$a = 5$ cm

$J_0 = 18,68 \cdot 10^6$ cm⁴

afstand golfregistratie - hart schip = 460 cm

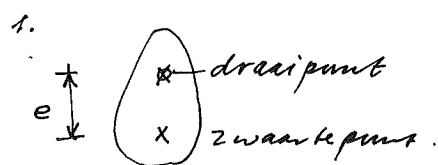
" " - schuit = 100 "

diepgang schip zonder stang 18,4 cm



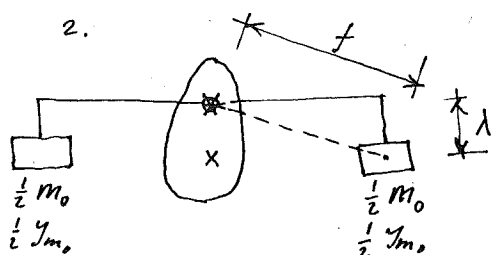
Bij deze ligging van de ballast bleek het schip in evenwicht te zijn.

Om de ligging van het zwaartepunt te bepalen werden twee slingerproeven uitgevoerd waarbij het schip in vrije lucht was opgehangen. Bij de tweede slingerproef werden twee gewichten waarvan grootte, eigen massa, draagheidsmoment en ligging bekend waren, bijgeplaatst. Uit de twee verkregen slinger-tijden kunnen oorspronkelijk massa draagheidsmoment en zwaartepunt ligging worden berekend:



massa m (bekend)
 polair massatraagh. mom \mathcal{I}_m (onbekend)
 zwpt. afstand e (onbekend)

$$\mathcal{I}_m \ddot{\theta} + mge\theta = 0 \Rightarrow \omega_1^2 = \frac{mge}{\mathcal{I}_m}, \quad \omega_1 \text{ gemeten}$$



λ, f, m_0 en \mathcal{I}_{m_0} bekend

$$(\mathcal{I}_m + m_0 f^2 + \mathcal{I}_{m_0}) \ddot{\theta} + (me + m_0 \lambda) g \theta = 0$$

$$\omega_2^2 = \frac{me + m_0 \lambda}{\mathcal{I}_{m_0} + \mathcal{I}_m + m_0 f^2} g, \quad \omega_2 \text{ gemeten}$$

uit de formules voor ω_1 en ω_2 volgt:

$$\begin{cases} \mathcal{I}_m = \frac{\omega_2^2 \mathcal{I}_{m_0} + (\omega_2^2 f^2 - g \lambda) m_0}{\omega_1^2 - \omega_2^2} \\ e = \frac{\omega_1^2 \mathcal{I}_m}{mg} \end{cases}$$

1^o slingerproef:

$$T_1 \text{ gem.} = 5,10 \text{ sec} \Rightarrow \omega_1 = 1,230 \text{ sec}^{-1}$$

$$\text{massa zonder stang: } 10^{-3} \cdot 18,4 \cdot 5860 = 107,7 \text{ kg}$$

i.p.v. $2 \times 30 \text{ kg}$ nu $2 \times 10 \text{ kg}$ op bodem:

$$m = \frac{40}{67,7} \text{ kg}$$

$$m_0 = 20 \text{ kg}$$

$$y_{m_0} = 2350 \text{ kg cm}^2$$

$$A = 8,1 \text{ cm}, f = 53,4 \text{ cm}$$

2^o slingerproef:

$$T_2 \text{ gem.} = 4,64 \text{ sec} \Rightarrow \omega_2 = 1,353 \text{ sec}^{-1}$$

$$\left\{ \begin{array}{l} y_{Jm} = \frac{2350 + (2843 - 4341)20}{0,8264 - 1} = 159.000 \text{ kg cm}^2 \\ l = \frac{1,230^2 \cdot 159000}{67,7 \cdot 981} = 3,6 \text{ cm} \end{array} \right.$$

Zwaarte punteliggings l_1 bij proefopstelling:

$$107,7 l_1 = 3,6 \cdot 67,7 + 10,6 \cdot 40$$

$$\underline{l_1 = 6,2 \text{ cm.}}$$

Totaal polair massatraagheidsmoment bij proefopstelling:

uit bovenstaande berekening: 159.000 kg cm^2

gewichten $2 \times 20 \text{ kg}$ op $53,0 \text{ cm}$.

$$\text{vanaf draaipunt: } 40 \cdot 53^2 = 112.300$$

eigen draagheidsmom. van

$$\text{deze gewichten: } 2 \cdot 2350 = 4.700$$

$$\underline{y_{Jm} = 276.000 \text{ kg cm}^2}$$

totale massa:

$$\underline{m = 10^{-3} \cdot 5860 \cdot 20,4 = 120 \text{ kg.}}$$

De gemeten aankomende golf, de damp- en stampbeweging zijn weergegeven in de grafieken II en III.

Berekening.

Coefficienten in de bewegingsvergelijkingen:

$$a_d = m + \rho F b \left(\frac{b}{3d} + \frac{\frac{h^2}{2} - \frac{b^2}{3}}{a D_1} \right) = 120 + 10^{-3} \cdot 5860 \cdot 15 \left(\frac{15}{9,6} + \frac{\frac{20,4^2}{2} - \frac{15^2}{3}}{5 \cdot 33,2} \right)$$

$$a_d = 329 \text{ kg}$$

$$c_d = \rho g F = 10^{-3} \cdot 981 \cdot 5860 = 5740 \text{ kg/sec}^2$$

$$a_s = \gamma_m + \rho \gamma_0 b \left(\frac{b}{3d} + \frac{\frac{h^2}{2} - \frac{b^2}{3}}{a D_1} \right) = 276000 + 10^{-3} \cdot 10,68 \cdot 10^6 \cdot 15 \left(\frac{15}{9,6} + \frac{\frac{20,4^2}{2} - \frac{15^2}{3}}{5 \cdot 33,2} \right)$$

$$a_s = 940.000 \text{ kg/cm}^2$$

$$c_s = \rho g \gamma_0 + \underline{m g e} = (10^{-3} \cdot 10,68 \cdot 10^6 + 10777 \cdot 6,2) \cdot 981$$

$$c_s = 19,0 \cdot 10^6 \text{ kgcm}^2/\text{sec}^2$$

Dit zijn de coëfficiënten van de verg. (9)

Met de vergelijkingen (9) is op genoemde wijze het stampen en dompen onder invloed van de opgemeten translatiegolf berekend. Zie grafiek XII. Eventueel achter het schip optredende zogstroming is buiten beschouwing gelaten.

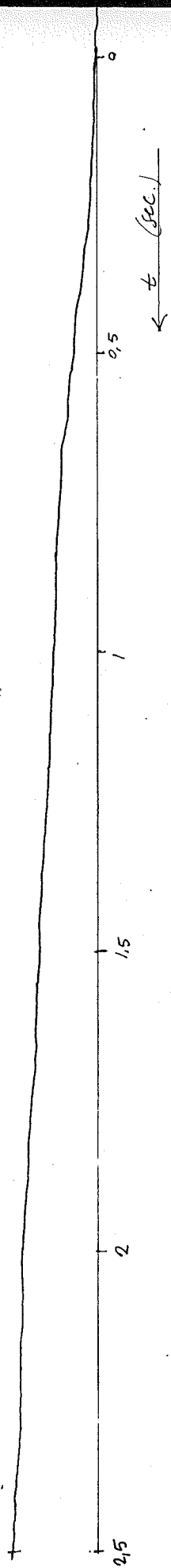
Ter illustratie is ook een berekening uitgevoerd, waarbij in formule (25') (voor α_s in het harmonische geval) de berekende waarde voor de eigen stampfrequentie ($= 6,64 \text{ sec}^{-1}$) is ingevuld.

De stabiliteit van de numerieke berekening is gewaarborgd door ervoor te zorgen dat

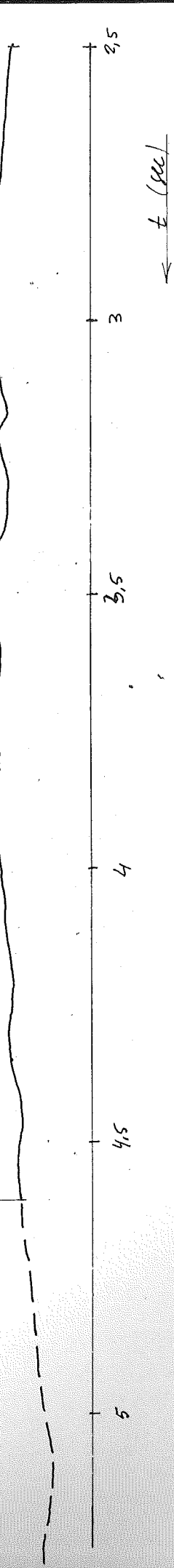
$$\frac{\text{afstandstap}}{\text{tijdstep}} = \frac{\Delta x}{\Delta t} > c_{\max}$$

$$c_{\max} = 180 \text{ cm/sec (H2O)}$$

$$\frac{\Delta x}{\Delta t} = \frac{5}{0,025} = 200 \text{ cm/sec.}$$

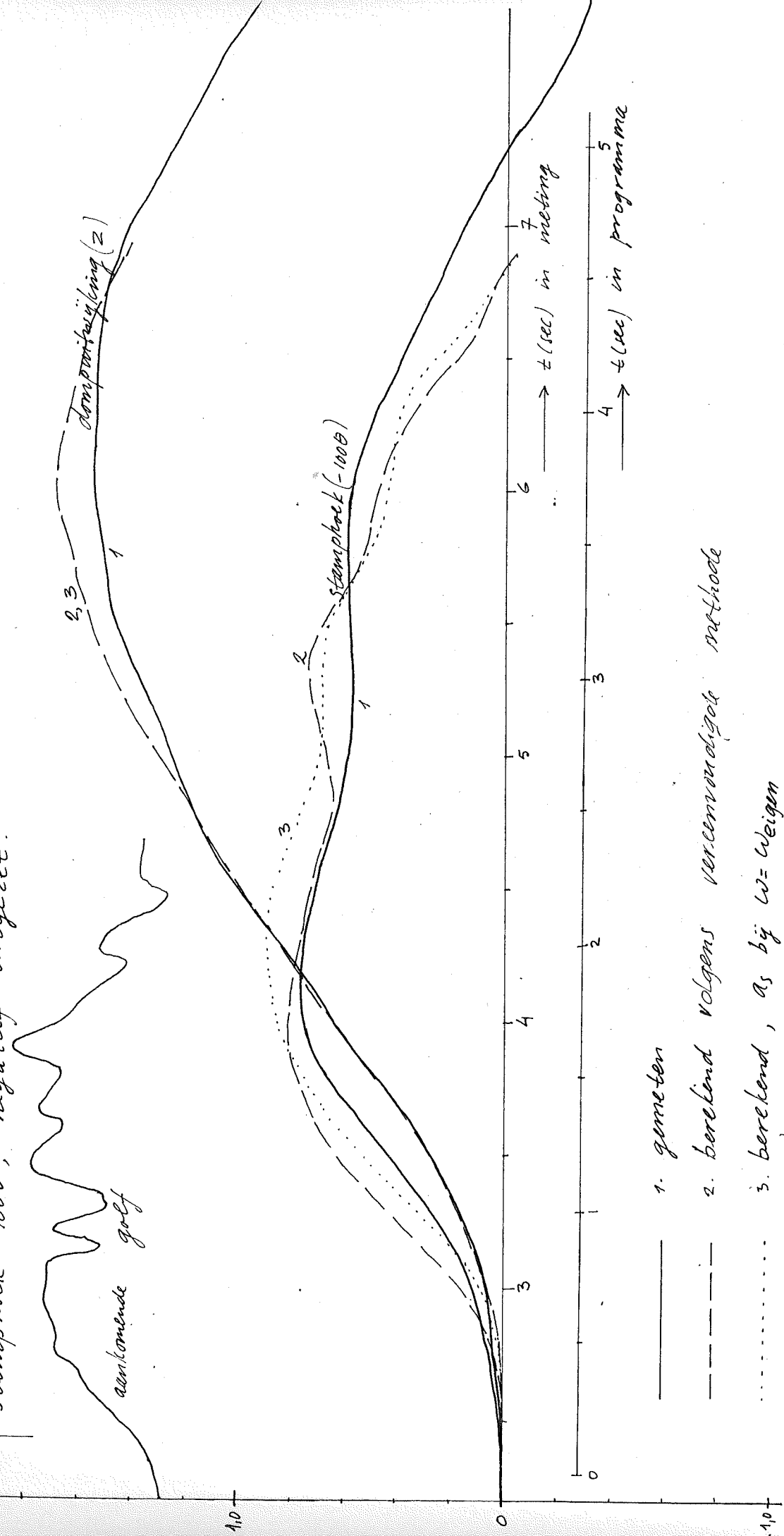


← invloed terugkasting



grafiek II. Opgeven ten translatiegolf (ware grootte) op 460 cm voor scheepsmidden.

↑ dampuitwijking z (cm); aankomende golf op 460 cm voor schip (cm)
 stamphoek 100°, negatief uitgezet.



- 1. gemeten
- 2. berekend volgens verconindigde methode
- 3. berekend, as bij w=weigen

Grafiek III. Berekende en gemeten stamp- en dampbeweging t.g.v. transietegolf 98

12. Conclusie.

Het dompen blijkt met bovengenoemde methode goed te berekenen te zijn. Het wordt nauwelijks beïnvloed door veranderingen van de coëfficiënten in de stampvergelijking.

De overeenkomst tussen meting en berekening bij het stampen is minder overtuigend.

Voor beide berekeningen geldt dat de berekende waarden voorlopig op de gemeten.

In het geval 3. (grafiek III) is ook de amplitude te groot. Misschien speelt de optredende wrijving in de scheepsbevestiging hierin een rol.

Omdat de overeenkomst nog niet helemaal beredigd lijkt het zin te hebben om een berekening uit te voeren, waarbij niet de term met $\frac{\partial^2 \eta}{\partial t^2}$ wordt verwaarloosd.

Een oorzaak van de afwijkingen kan ook zijn dat in de bewegingsverg. in x-richting in [1] (die in het programma is opgenomen) de hydrodynamische drukken weggelaten zijn. De fout hierdoor zal echter klein zijn omdat de dynamische drukken voor langzame bewegingen veel kleiner zijn dan de hydrostatische.

==a1,

```
'begin' 'real' 'array' m,n[0:392,0:2],bs[174:218],pr,kr,x,df[1:22],
d1,d2,d3[174:218],
rr[1:4,1:100,1:2];
'comment' er wordt geen onderscheid gemaakt tussen h en q
omdat dit onderscheid via de indices tot uiting komt
de oneven waarden van de tweede index leveren q, de
even waarden h;
'real' g,h,j,k,l,p,q,y,a,b,bk,d,h0,ds,bsm,c1,c2,
dt,xx,ss1,zz0,zz1,zz2,ss2,c5,c6,c7,c8,
tt0,tt1,tt2,c3,c4,a1,a2,a3,a4,a5,a6,a7,a8,a9,a10,
a11,a12,a13,a14,a15,a16,a17,a18,a19,a20;
'integer' i,u,v,r,m1,m3,z,m2,m4,
aa,bb;
cc,dd,ii;
'procedure' se3; 'code';
'comment' de procedure se3 kent de waarden van rooster n
toe aan rooster m;
'procedure' se13; 'code';
'comment' de procedure se13 brengt een aantal getallen
paren op een ponsband voor de x-y-schrijver zodat de
uitkomsten van de berekening in grafiekvorm kunnen
worden geleverd;
rr[1,100,2]:=3.5; rr[2,100,2]:=0;
rr[3,100,2]:=0;
rr[1,100,1]:=100; rr[2,100,1]:=100;
rr[4,100,2]:=0; rr[3,100,1]:=100; rr[4,100,1]:=100;

read(dt,ds,bk,d,h0,g,c1,c2,z,c5,c6);
c3:=4*dt*dt/c1; c4:=2-dt*dt*4*c2/c1;
c7:=4*dt*dt/c5; c8:=2-dt*dt*4*c6/c5;
'for' i:=1 'step' 1 'until' 22 'do'
read(x[i]);
'for' i:=1 'step' 1 'until' 22 'do'
read(df[i]);
nlcr(5);
eerst: read(h,j,k,l,p,m1,m3,y,m2,m4,a,b,bsm,aa,bb,cc,dd);
nlcr(1);
z:=z+1; print('meting');
vasko(1,0,z);
nlcr(2);
'if' aa 'equal' 1 'then'
print('      t      meter 2      meter 1      meter 3')
'else' print('      t      meter 1      meter 2      meter 3
meter 4'); nlcr(1);
'for' i:=a 'step' 1 'until' b 'do'
'begin' 'if' i 'less' k 'or' i 'greater' l 'then' read(bs[i])
'else' bs[i]:=bsm;
'end';
'if' aa 'equal' 1 'then'
'begin' 'for' i:=h-1 'step' 2 'until' j+1 'do'
'begin' d1[i]:=d;
d2[i]:=d;
d3[i]:=d;
'end';
'end';
```

```

'comment' waterhoogten op het tijdstip to;
'for' i:=p 'step' 2 'until' 0 'do'
read(m[i,0]);
'for' i:=p+2 'step' 2 'until' 392 'do'
m[i,0]:=h0;
'comment' waterhoogten op het tijdstip to+2dt;
'for' i:=2 'step' 2 'until' p+2 'do'
m[i,2]:=m[i,0]+
2*dt*sqrt(g*m[i,0])*(m[i-2,0]-m[i+2,0])
/(4*ds);
'for' i:=p+4 'step' 2 'until' 392 'do'
m[i,2]:=h0;
q:=0.5*(m[2,2]+m[0,0]);
'comment' hier wordt q[1,1] bepaald m.b.v. de formule
q=c.n.bk;
m[1,1]:=sqrt(g*q)*(q-h0)*bk;
'comment' m.b.v. de continuïteitsvoorwaarde, in differenties

```

```

geschreven, worden de q's op het tijdstip to+dt berekend;
'for' i:=2 'step' 2 'until' p+2 'do'
m[i+1,1]:=m[i-1,1]-(m[i,2]-m[i,0])*bk*ds/dt;
'for' i:=p+4 'step' 2 'until' 390 'do'
m[i+1,1]:=0;
u:=1; v:=393; r:=0; ii:=0;
tt0:=0; tt1:=0; zz0:=0; zz1:=0;

```

weer:

```

u:=u+2; v:=v-2; r:=r+2; nlor(1); ii:=ii+1;
vasko(1,3,dt*(r-2));
'comment' m.b.v. de bewegingsvergelijking, in differenties
geschreven, worden de q's op het tijdstip to+3dt berekend;

```

```

'begin' 'for' i:=u 'step' 2 'until' v 'do'
a1:=m[i+1,2]-m[i-1,2];
a2:=m[i,1];
a3:=m[i+1,2]-m[i+1,0]+m[i-1,2]-m[i-1,0];
a7:=m[i+1,2]+m[i-1,2];
'if' i 'less' h 'or' i 'greater' j 'then'
'begin' a12:=-a3/a7;
a11:=0.5*a7*bk*a1*g;
a18:=0;
'end'

```

```

'else' 'if' aa 'equal' 0 'then'
'begin' a8:=(bs[i+1]+4*bs[i]+bs[i-1])/3;
a10:=(bk-0.5*a8)*0.5*a7+0.5*a8*d;
a5:=bs[i+1]-bs[i-1];
a11:=g*a10*a1;
a18:=a2*a5*0.5*(a7-2*d)/(a10*a10);
a12:=-a3*(bk-0.5*a8)/(2*a10)+a18*dt/ds;
'end'

```

```

'else'
'begin' 'if' i 'equal' h 'then'
'begin' a4:=(d2[i+1]-d1[i+1]+d2[i-1]-d1[i-1]);
a6:=d2[i+1]-d2[i-1];
'end';

```

```

a5:=bs[i+1]-bs[i-1];
a8:=(bs[i+1]+4*bs[i]+bs[i-1])/3;
a9:=d2[i+1]+d2[i-1];
a10:=(bk-0.5*a8)*0.5*a7+0.25*a8*a9;
a19:=0.5*(a7-a9); a20:=bk-0.5*a8;
a11:=g*a10*a1;
a18:=(2*a2*a19*a5-a2*a8*a6)/(2*a10*a10);
a12:=-a20*a3/(2*a10)-a8*a4/(4*a10)+a18*dt/ds;

```

```

'end';
n[i,1]:=(a2*(1-a12)-(a11-a2*a18)*dt/ds)/(1+a12);
'end';

```

Comment: m.p.v. de continuïteit voor waarde worden de waterhoogten op het tijdstip to+4dt berekend;

```

'for' i:=1 'step' 2 'until' v-2 'do'
'begin' a13:=n[i+2,1]-n[i,1];
        a14:=m[i+1,2];
        'if' i 'less' h 'or' i 'greater' j 'then'
            'begin' a15:=1;
                    a16:=0;
                    a17:=bk;
            'end'
            'else' 'if' aa 'equal' 0 'then'
                'begin' a15:=0;
                        a16:=(bs[i+2]+4*bs[i+1]+bs[i])/3;
                        a17:=(bk-0.5*a16);
                'end'
            'else'
                'begin' a15:=d3[i+1]-d2[i+1];
                        a16:=(bs[i+2]+4*bs[i+1]+bs[i])/3;
                        a17:=(bk-0.5*a16);
                'end';
            n[i+1,2]:=(-a13*dt/ds+a14*a17-0.5*a16*a15)/a17;
'end';
'if' aa 'equal' 1 'then'
'begin' ss1:=0; ss2:=0;
        'for' i:=1 'step' 1 'until' 22 'do'
            'begin' kr[i]:=((n[2*i+h-1,2]+n[2*i+h-3,2])*0.5-h0)*
                    df[i]*0.981;
                    pr[i]:=kr[i]*x[i];
                    ss1:=ss1+pr[i]; ss2:=ss2+kr[i];
            'end';
            tt2:=c3*ss1+tt1*c4-tt0;
            ZZ2:=c7*ss2+ZZ1*c8-ZZ0;
            'for' i:=h-1 'step' 2 'until' j+1 'do'
                'begin' d1[i]:=d2[i]; d2[i]:=d3[i];
                        d3[i]:=d+ZZ2-((h+j)/2-i)*ds*0.001*tt2;
                'end';
            rr[4,ii,2]:=1.5; space(4); vasko(2,2,-0.1*tt0);
            rr[2,ii,2]:=-0.1*tt0+1.5; space(5);
            vasko(2,2,ZZ0); rr[3,ii,2]:=ZZ0+1.5;
            tt0:=tt1; tt1:=tt2; ZZ0:=ZZ1; ZZ1:=ZZ2;
            xx:=m[m1,0]-h0; space(5);
            vasko(2,2,xx); rr[1,ii,2]:=xx+1.5;
            'if' r-20*entier(r/20) 'equal' 0 'then'
'begin' 'if' r 'less' 126 'then'
        'for' i:=126 'step' 2 'until' 266 'do'
            'begin' vasko(1,2,(n[i,2]-h0));
            'end'
            'else' 'for' i:=r 'step' 2 'until' 392-r 'do'
                'begin' vasko(1,2,(n[i,2]-h0));
                'end';
            'end';
'end';
'end'
'else'

```

```

FOR m1, m2, m3, m4 DO
'begin' space(5);
'if' i-2*entier(i/2) 'equal' 0 'then'
xx:=m[i,0]-h0
'else' xx:=(m[i+1,0]+m[i-1,0])*0.5-h0;
vasko(2,2,xx);
'if' i 'equal' m1 'then'
rr[1,ii,2]:=xx+1 'else'
'if' i 'equal' m2 'then'
rr[2,ii,2]:=xx+1 'else'
'if' i 'equal' m3 'then'
rr[3,ii,2]:=xx+1 'else'
rr[4,ii,2]:=xx+1;
'end';
'for' i:=u 'step' 2 'until' v+2 'do'
n[i-1,0]:=m[i-1,2];
rr[1,ii,1]:=ii;
rr[2,ii,1]:=ii;
rr[3,ii,1]:=ii;
rr[4,ii,1]:=ii;
'if' r 'less' y 'then'
'begin' 'comment' er zijn vijf kolommen berekend, op de eerste,
de derde en de vijfde kolom de h's, op de tweede en vierde
kolom de q's. de procedure se3 zet de laatste drie
kolommen op de plaats van de eerste drie,
en nu is een volgend
tweetal kolommen te berekenen door terug te springen naar
'weer';
se3(n,m);
'go to' weer;
'end'
'else'
'begin' npag;
se13(4,100,rr,1);
npag;
'if' z 'less' 5 'then'
'begin' ntcn(5);
'go to' eerst;
'end'
'else' 'go to' einde;
'end';
einde:
'end';
e

```


==26,
U=36,
n=3,
compen en stampen, $a_3 = 940$

0.025, 5, 40, 3.2, 23.6, 981, 940, 19000, 0,
329, 5740,
-102, -94, -84.8, -75, -65, -55, -45, -35,
-25, -15, -5, 5, 15, 25, 35, 45, 55, 65, 75,
84.8, 94, 102,
38.3, 208.5, 284.7, 300, 300, 300, 300, 300,
300, 300, 300, 300, 300, 300, 300, 300, 300, 300,
284.7, 208.5, 38.3,
175, 217, 181, 211, 172, 104, 240,
229, 176, 32, 174, 219, 30, 1, 1, 1, 1,
0, 2.0, 13.9, 21.5, 26.3, 28.9, 29.8, 29.8, 28.9,
26.3, 21.5, 13.9, 2.0, 0, 0,

23.63, 23.67, 23.73, 23.72, 23.83, 23.88,
23.94, 24.05, 24.09, 24.18, 24.19, 24.26,
24.27, 24.28, 24.33, 24.31, 24.37, 24.41,
24.42, 24.50, 24.51, 24.54, 24.56, 24.59,
24.63, 24.64, 24.70, 24.73, 24.80, 24.82,
24.81, 24.86, 24.87, 24.88, 24.90, 24.92,
24.96, 25.04, 25.10, 25.17, 25.19, 25.28,
25.27, 25.30, 25.32, 25.30, 25.30, 25.27,
25.20, 25.16, 25.19, 25.26, 25.32, 25.30,
25.25, 25.34, 25.29, 25.30, 25.36, 25.32,
25.23, 25.18, 25.11, 25.10, 25.04, 25.02,
24.96, 24.93, 24.90, 24.87, 24.84, 24.82,
24.73, 24.68, 24.60, 24.52, 24.43, 24.31,
24.21, 24.14, 24.08, 24.04, 23.96, 23.88,
23.82, 23.80, 23.70,

$u = a_6$,

$u = 36$,

$r = 3$,

compen en stampen, $a_5 = 2290$

0.025, 5, 40, 3.2, 23.6, 981, 2290, 19000, 0,
 329, 5740,
 -102, -94, -84.8, -75, -65, -55, -45, -35,
 -25, -15, -5, 5, 15, 25, 35, 45, 55, 65, 75,
 84.8, 94, 102,
 38.3, 208.5, 204.7, 300, 300, 300, 300, 300,
 300, 300, 300, 300, 300, 300, 300, 300, 300, 300, 300,
 284.7, 208.5, 38.3,
 175, 217, 181, 211, 172, 104, 240,
 229, 176, 32, 174, 219, 30, 1, 1, 1, 1,
 0, 2.0, 13.9, 21.5, 26.3, 28.9, 29.8, 29.8, 28.9,
 26.3, 21.5, 13.9, 2.0, 0, 0,
 23.63, 23.67, 23.73, 23.72, 23.83, 23.88,
 23.94, 24.05, 24.09, 24.18, 24.19, 24.26,
 24.27, 24.28, 24.33, 24.31, 24.37, 24.41,
 24.42, 24.50, 24.51, 24.54, 24.56, 24.59,
 24.63, 24.64, 24.70, 24.73, 24.80, 24.82,
 24.81, 24.86, 24.87, 24.88, 24.90, 24.92,
 24.96, 25.04, 25.10, 25.17, 25.19, 25.28,
 25.27, 25.30, 25.32, 25.30, 25.30, 25.27,
 25.20, 25.16, 25.19, 25.26, 25.32, 25.30,
 25.25, 25.34, 25.29, 25.30, 25.36, 25.32,
 25.23, 25.18, 25.11, 25.10, 25.04, 25.02,
 24.96, 24.93, 24.90, 24.87, 24.84, 24.82,
 24.73, 24.68, 24.60, 24.52, 24.43, 24.31,
 24.21, 24.14, 24.08, 24.04, 23.96, 23.88,
 23.82, 23.80, 23.70,

14. Literatuur overzicht

- [1] Afstudeerontwerp 1966 - A.H. De Hartog
- [2] Rapport 113 - Lab. voor Scheepsbouwkunde
Een fasecomponent meetstelsel.
- [3] Report 111 - Lab. voor Scheepsbouwkunde
Oscillator techniques.
- [4] prof. ir. J. Gerritsma - Gedrag van een schip in
zeeegang - Ingenieur, 25 maart 1966.
- [5] W.E. Smith + W.E. Cummins - Force pulse testing
on ship models, Fifth Symposium on Naval Hydrodynamics.
- [6] ir. G. Vörsers - Grondslagen van het gedrag van
schepen in (zee) golven, rapport no. 151 N.S.P.
- [7] Collegedictaten korte en lange golven.
- [8] Stoker - Water waves.
- [9] J.V. Wehausen - Motion in undulating sea of a
body with fixed equilibrium position - Journal
of engineering mathematics - nr 1, (1967).